



МИНИСТЕРСТВО ГЕОЛОГИИ  
КАЗАХСКОЙ ССР  
КАЗАХСКИЙ НАУЧНО-  
ИССЛЕДОВАТЕЛЬСКИЙ ИНСТИТУТ  
МИНЕРАЛЬНОГО СЫРЬЯ

ГЕОЛОГИЯ, ТЕХНИКА РАЗВЕДКИ  
И ТЕХНОЛОГИЧЕСКОЕ ИЗУЧЕНИЕ  
МИНЕРАЛЬНОГО СЫРЬЯ  
КАЗАХСТАНА

(Сборник трудов молодых ученых Казахстана)

АЛМА-АТА — 1975

МИНИСТЕРСТВО ГЕОЛОГИИ КАЗССР  
Казахский научно-исследовательский институт  
минерального сырья

ГЕОЛОГИЯ, ТЕХНИКА РАЗВЕДКИ И ТЕХНОЛОГИЧЕСКОЕ  
ИЗУЧЕНИЕ МИНЕРАЛЬНОГО СЫРЬЯ КАЗАХСТАНА

(Сборник трудов молодых ученых Казахстана)

ОНГИ КазИМСа  
Алма-Ата 1975



## А Н Н О Т А Ц И Я

В настоящем сборнике освещаются основные теоретические и практические результаты работ, проведенных молодыми учеными Казахстана в области геологии, методики и техники разведки, обогащения, технологии и экономики минерального сырья.

### Р е д а к ц и о н н а я    к о л л е г и я:

Г.Р.Бекжанов (главный редактор), Н.Н.Веденников (зам.глав.редактора), О.Ф.Кроль, Г.И.Бурд, Р.Г.Жилинский, Б.Е.Скобочкин, Л.В.Фаворская, Д.П.Щербов, З.Д.Бияшева, Г.Х.Гильмутдинов  
(отв. за выпуск)

СОВРЕМЕННЫЕ ПРЕДСТАВЛЕНИЯ О РЕГИОНАЛЬНОМ МЕТАМОРФИЗМЕ  
В ПРИМЕНЕНИИ К ЛИНЕЙНЫМ ГЕОТЕКТОНОГЕНАМ

За последние два десятилетия достигнуты значительные успехи в экспериментальной и теоретической петрологии. На этой основе предприняты дальнейший пересмотр и детализация петрогенетических репеток, фаций метаморфизма, обосновано выделение фациальных серий. В последнее время оформилось также направление, связанное с выделением типов метаморфизма и метаморфических формаций. В основе большинства концепций - представление о различном геотермическом градиенте в разных структурах земной коры в зависимости от геотектонических условий.

Можно выделить три основных подхода к решению этих вопросов. С уклоном в сторону экспериментальных методов проводят свои исследования группы В.С.Соболева, А.А.Маракушева, Л.Л.Перчука; Различно оценивая роль метасоматоза, а также объемы метаморфических фаций, они кладут в основу выделения типов метаморфизма термодинамические или фациальные признаки.

В основном с геологическими позиций подходят к изучению метаморфических событий В.Я.Хорёва, Н.П.Семененко и Я.Н.Велевцев. Признавая цикличность и направленность развития земной коры, они характеризуют типы метаморфизма, исходя из геолого-тектонического режима той или иной геологической структуры.

Исследователи Института геологии и геохронологии докембрия В.А.Глебовицкий, Д.А.Великославинский, а также западные геологи Г.Винклер, Г.Цварт и другие рассматривают эволюцию метаморфизма на основе сочетания геологических факторов и данных экспериментальной и теоретической петрологии.

Непосредственно к выделению метаморфических циклов подошел в своей работе В.А.Глебовицкий (1971-1973). Главную причину эволюции метаморфизма он видит в эволюции теплового и динамического режимов

подвижных поясов.

Метаморфизм является важным элементом в общем ряду крастогенных процессов и обуславливает разуплотнение, дифференциацию и гранитизацию вещества земной коры. Поэтому анализ механизма цикличности и термодинамики его процессов необходим при изучении развития земной коры по принципу геотектоногена, так как именно на основе цикличности и направленности всех процессов построена работа колонны преобразования земной коры, формирующей геотектоноген (Г.Н.Щерба, 1970-1973). Решение этих вопросов тесно связано с проблемами эволюции тектогенеза, магматизма и рудообразования.

При изучении роли и места процессов метаморфизма в колонне преобразования земной коры весьма важным вопросом представляется типизация этих преобразований по стадиям развития геотектоногена. Важен в качестве признаков геотектонический и термодинамический режимы, морфологические и геохимические особенности, а также связь с магматизмом, можно рассмотреть типизацию метаморфизма по стадиям развития геотектоногена (таблица). Для ранней стадии в общем случае характерен однородный ареальный метаморфизм с вертикальной зональностью, обусловленный геотермическим градиентом в период общего погружения. В особых тектонических условиях (в зонах крупнейших глубинных разломов, на границах крупных геоблоков), при большом избыточном давлении может проявиться глаукофан-олаинцевый метаморфизм.

В среднюю стадию развивается зональный поясовой метаморфизм андалузитовой или (при повышенных давлениях) листеновой фациальной серии. Он протекает в условиях преимущественного сжатия в начале инверсионного этапа, при аномальных термодинамических условиях и наличии тепломассопотока, формирующих горизонтальную метаморфическую зональность (рис. I).

В областях максимального развития этого метаморфизма, на заключительных его этапах, при спаде общего давления широко проявляются процессы гранитизации, обуславливающие развитие гранитоидного магматизма. Поздняя стадия характеризуется наиболее широким развитием процессов гранитизации в зонах, уже подготовленных предшествующим метаморфизмом. Собственно метаморфические преобразования носят регressiveный или контактовый характер.

Отсюда следует, что общие современные представления о региональном метаморфизме в принципе соответствуют концепции развития земной коры по механизму геотектоногена, а именно: а) метаморфизм, как и земная кора в целом, развивается циклично и имеет закономерную на-

Таблица

## Сопоставление типов метаморфизма по стадиям развития геотектоногенеза

Авторы	Стадия геотектоногенеза			Поздняя
	Ранняя	Средняя		
В.А.Глебовицкий (1973)	Начальный (инициальный) метаморфизм	Ранний однородный метаморфизм	Зональный метаморфизм а) андалузит-силлиманитовый б) дистен-силлиманитовый	
А.А.Маракушев (1972)	Тип А (догранитный)		Тип Б-І (связан с плагиогранитами)	Тип Б-ІІ (связан с нормальными гранитами)
Б.Я.Хорева (1971)	Регионально-плутонический, подтип А (фемлического профиля)	Динамо-геотермический (погружения)	Регионально-плутонический, подтип Б (сиалического профиля)	Тип В (контактовый и локальный динамотермический)
А.Б.Бакиров, Н.Л.Доброполов (1972)	Тип Ш. Глаукобан-сланцевый	Типы I и II. Начальный и зеленосланцевый	Тип IV - андалузит-силлиманитовый и тип V - дистен-силлиманитовый	

## Геологический режим типов метаморфизма

Тектонический режим	В зонах крупнейших глубинных разломов на границе геоблоков, в условиях изометрического тектонического давления	Условия растяжения, за- ложение трога, прогибание	Переменные условия скатия-растяжения при преобладании скатия; инверсия, линейное складкообразование; общее латеральное сокращение всей системы	Преимущественные условия растяжения; дифференциальные блоковые движения
Термодинамический режим (фации метаморфизма по Н.Л.Доброполову и др., 1970)	Лавсонит-глаукофановая ( $C_4$ ) $T = 300-500^{\circ}\text{C}$ $P = 6-12$ кбар	Цеолитовая ( $B_5$ ), зеленосланцевая ( $B_4$ ) $T = 200-500^{\circ}\text{C}$ $P = 1-8$ кбар	a) Зеленосланцевая + андалузит - (силлиманит) - мусковитовых сланцев + силлиманит - биотитовых гнейсов ( $B_4+B_3+B_2$ ) б) Зеленосланцевая + дистен-мусковитовых сланцев + силлиманит-биотитовых гнейсов ( $B_4+C_3+B_2$ ) $T = 350-700^{\circ}\text{C}$ $P = 2-7$ кбар (для а) $P = 6-9$ кбар (для б)	Фации kontaktового метаморфизма и низкотемпературный диапорез
Морфологический тип	Поясовой с большим горизонтальным градиентом зональности	Ареальный и ареально-поясовой с вертикальной зональностью	Поясовой с горизонтальной зональностью	Ареальный
Геохимические особенности	Сидеро-халькофильная минерализация	Смена Na-метасоматоза K-метасоматозом; халькофильная минерализация	K-метасоматоз; литофильная минерализация	
Магматизм	Ультраосновной и базальтоидный	Ультраметаморфизм, переходящий в интрузивный гранитный магматизм	Интрузивный гранитоидный магматизм с щелочным уклоном	
Примеры	Максютовский комплекс (Ижин Урал)Канско-Ачинская зона (граница Среднего и Ижного Тянь-Шаня)	Зеленокаменные синклиниории Урала, Сибирь Северного Тянь-Шаня	а) плато Абакума (Япония), Курчум-Кальджирский антиклиниорий, Кеминская зона Северного Тянь-Шаня; б) серия Барроу (Шотландия), Музольский комплекс Центрального Памира, мигматитовые куполы Урала	

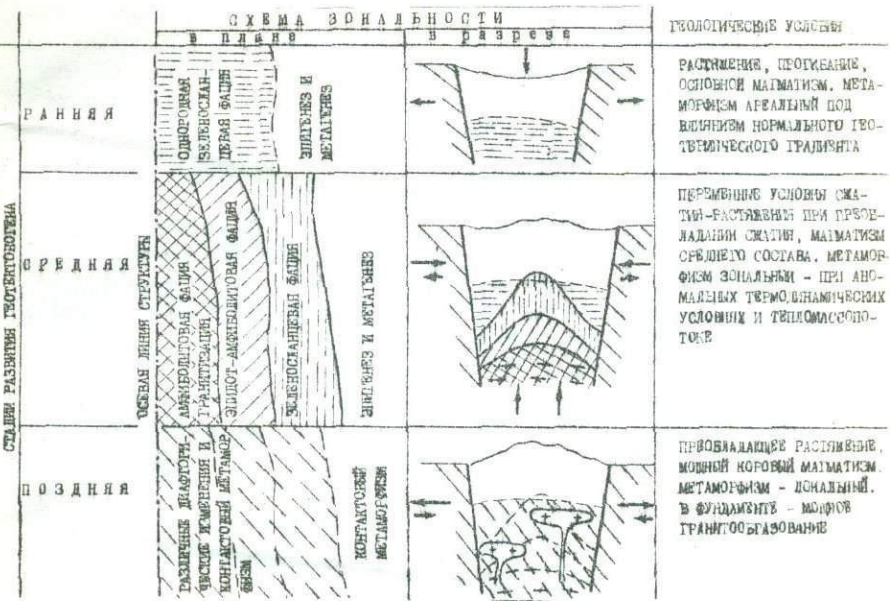


Рис. I. Схема развития метаморфической зональности  
в цикле геотектоногена

с

правленность; б) циклы метаморфизма сопоставимы по продолжительности и обусловлены тектономагматическими или циклами развития геотектоногенов; в) эволюция метаморфизма в цикле протекает закономерно и зависит от геотектонического и термодинамического режимов в участке земной коры, где этот цикл проявлен; г) гранитоидный магматизм обусловлен процессами регионального метаморфизма и связан с завершающими этапами последнего. С этих позиций делается попытка рассмотреть некоторые вопросы эволюции регионального метаморфизма в двух линейных геотектоногенах Казахстана - Северотяньшанском и Алтайском.

Анализ литературных данных и полевых наблюдений, проведенных автором при непосредственном участии научного руководителя Г.Н. Широй, показывает закономерное циклическое развитие метаморфических событий в этих регионах, обусловленное формированием их по принципу геотектоногена.

Для Северотяньшаньского геотектоногена эволюция развития метаморфизма представляется в следующем виде. Дорибейский фундамент сложен породами актюевской свиты, метаморфизованной в фауне дистеновых гнейсов и юминской (онарыской) свитой силиманит-биотит-гнейсовой (амфиболитовой) фации (А.В.Бакиров, Н.Л.Добречев, 1972). Однако наличие в разрезах юминской свиты гранатовых амфиболитов и линза мраморов, аналогичных актюевским, близость вещественного состава и однотипное структурно-тектоническое положение сравниваемых толщ дают основание предположить, что это единая гнейсовая толща добайкальского фундамента. Метаморфизм ее нижних частей характеризовался повышенными давлениями по сравнению с верхними, которые подверглись мощным и неоднократным процессам гранитизации и диафтореза. Куперлисайская свита (или сланцевая толща), также относимая к дорибейскому фундаменту, подверглась метаморфизму высокотемпературной субфации зеленосланцевой фации с переходом в фауну мусковитовых сланцев (эпидот-амфиболитовую).

Метаморфические комплексы фундамента относятся к ареальным типам с вертикальной метаморфической зональностью, обусловленной полициклическостью процессов метаморфизма, причем прогрессивный метаморфизм каждого последующего цикла наложился в виде диафтореза на нижележащие толщи (что было уже отмечено А.В.Бакировым, 1973). Ареальный характер, отсутствие горизонтальной зональности и специфический термодинамический режим (дистен-гнейсовая фауне) позволяют рассматривать эти комплексы как продукты многоактного метаморфизма, характерного для древних, дорибейских циклов развития земной коры и выделять их в качестве фундамента байкало-альпийского Северотяньшаньского геотектоногена.

Метаморфизм байкальского тектоно-магматического цикла на современном эрозионном срезе не выходит за рамки фаун зеленых сланцев.

Для ранней стадии каледонского цикла характерен ареальный однородный метаморфизм низкотемпературной субфации зеленосланцевой фации и региональный метагенез. В среднюю стадию по отдельным зонам отмечается повышение метаморфизма до высокотемпературной субфации зеленосланцевой фации низких давлений. В метаморфитах фундамента в это же время — мощный этап гранитизации, обусловивший становление каледонских гранитоидов.

В Курчум-Кальдирском антиклиниории, расположенному на юго-восточном фланге Алтайского герцинского геотектоногена, выделяются два типа метаморфизма.

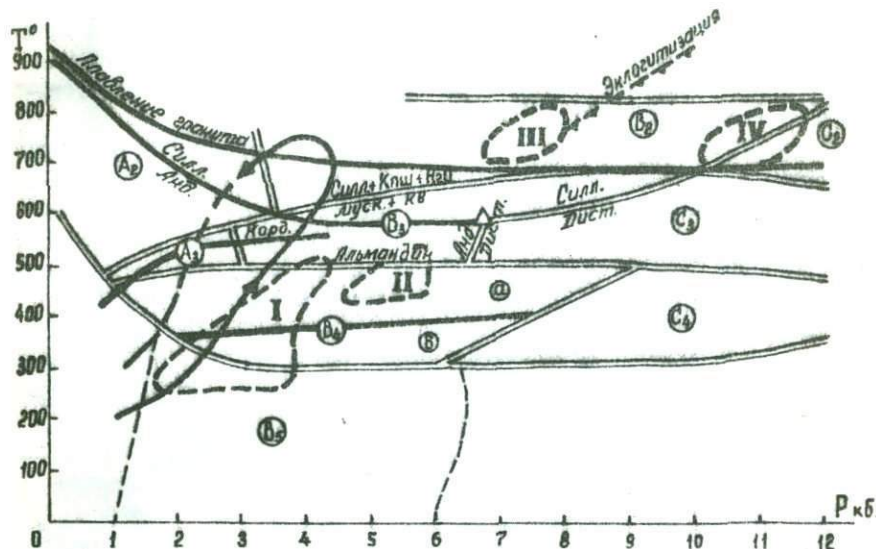


Рис. 2. Схема фаций метаморфизма (по Н.Л.Добрецову и др., 1970).  
 А<sub>2</sub> - амфибол-роговиковая фація; А<sub>3</sub> - мусковит-роговиковая; В<sub>2</sub> - амфиболитовая; В<sub>3</sub> - эпидот-амфиболитовая; В<sub>4а</sub> - зеленосланцевая высокотемпературная субфація; В<sub>4б</sub> - зеленосланцевая, низкотемпературная субфація; В<sub>5</sub> - региональный эпигенез и метагенез. ↗ - условия метаморфизма Курчум-Кальджирского антиклинария. Северотяньшаньский геотектоноген: I - ТР - область метаморфизма каледонского и байкальского циклов; II - ТР - область метаморфизма куперлисайской свиты добайкальского фундамента; III - ТР - область метаморфизма кеминской (онарыкской) свиты добайкальского фундамента; IV - ТР - область метаморфизма актюзской свиты добайкальского фундамента.

В раннюю стадию герцинского цикла ранее метаморфизованные породы каледонского фундамента и нижне-, средне- и верхнедевонские отложения претерпели однородный ареальный метаморфизм низкотемпературной субфации зеленосланцевой фации.

В начале средней стадии (нижний карбон) на вышеупомянутые породы наложился зональный метаморфический пояс, субсогласный с общей структурой антиклиниория. В нем выделяются: зеленосланцевая фация с широко развитой высокотемпературной биотит-хлоритовой субфацией и эпидот-амфиболитовая (мусковит-сланцевая) фация. Испечивание мусковита содержащих парагенезисов, широкое развитие биотит-кордиеритовых и амфиболитовых гнейсов с микроклином и андезином, а также проявление анатектических процессов определяет амфиболитовую фацию метаморфизма. В области наиболее глубокого метаморфизма (в ядерной части зональности) появляются пироксен- и силиманитсодержащие парагенезисы.

Максимальные температуры и давление в этой зоне оцениваются около 700-740°C и 4-4,5 кбар (рис.2). Собственно литостатическое давление (при мощности вышележащих толщ около 8-10 км) составляло примерно 2 кбар. Избыточное давление, необходимое при такой глубинности процессов, возникло в рассматриваемой призме пород антиклиниория под влиянием двух противодействующих факторов: с одной стороны - разуплотнение этих пород под влиянием тепломассопотока при метаморфизме средней стадии, с другой - незначительная (в силу тектонических причин) скорость их всплыивания в данный период. Сброс давления, обусловивший широкое развитие процессов гранитизации, начался уже при интенсивном всплытии в конце средней стадии (средний карбон) как релаксация нарушение изостатического равновесия разуплотненных и сиализированных пород антиклиниория по сравнению с его бортовыми частями.

Таким образом, в Курчум-Бельджирском антиклиниории на ранней стадии развит ареальный однородный метаморфизм, обусловленный геотермическим градиентом при погружении толщ; в среднюю же стадию накладывается зональный метаморфизм андалузитовой фациальной серии в силу аномальных термодинамических условий и тектонического режима, а также наличия тепломассопотока.

О ВЫХОДАХ ДОКЕМБРИЙСКОГО ФУНДАМЕНТА  
В ЗАИЛІЙСКОМ АЛАТАУ

Вопрос о наличии докембрийского фундамента в Заилийском Алатау в последние годы стал дискуссионным. Ранее считалось, что блоки высокометаморфизированных и гранитизированных пород, развитые в осевой части хребта, имеют докембрийский возраст. В настоящее же время ряд исследователей (В.Н.Охотников, В.Е.Рыцк, И.А.Абдрахманов и др.) считают эти породы аналогами неметаморфизированных кембро-ордовикских вулканогенно-терригенных отложений, развитых в пределах рассматриваемого региона. Формирование глубоко метаморфизированных сланцев и гнейсов представляется данными авторами как одноактный процесс преобразования нижнепалеозойских осадков либо в результате глубинной метасоматической переработки в связи с формированием автохтонных гранитоидов, либо контактным воздействием крупных гранитных интрузий.

Однако нигде в пределах Заилийского Алатау в настоящее время достоверно не установлено постепенных переходов между глубоко метаморфизованными и гранитизированными породами и толщами нижнего палеозоя, т.е. отсутствуют факты, свидетельствующие в пользу принадлежности обоих типов пород к единому зональному метаморфическому комплексу. Наоборот, галька гнейсов и кристаллических сланцев отмечается в конгломератах кембрия и ордовика. На восточном и западном флангах Заилийского Алатау отмечены контакты нижнепалеозойских толщ с метаморфитами фундамента через линии малоамплитудных тектонических нарушений, надвигание гнейсов на нижнепалеозойские отложения и наличие крупных ксенолитов метаморфитов в каледонских батолитах в непосредственной близости от интрузивных контактов с ороговикованными кембро-ордовикскими осадками (рисунок).

Имеются многочисленные свидетельства глубокого и неоднократного регионального метаморфизма рассматриваемых блоков. Процессы гранитообразования проявляются с началом регressiveной стадии



Рис. Схема геологического строения и фации метаморфизма Семиречьинского геотектонического пояса.  
Частично по данным Н.М. Чубарова, У.Л. Кутаповского, И.Л. Закаряна, В.И. Громова, Н.В. Огни-  
никову, А.Б. Балырова, Н.А. Суслова, В.Г. Семеноглазова и др.).

**Г у л я к о г е н е р и ю - с ф а л е ч и м и** породы. Герцинский цикл развития геотектонизма: 1 - поздняя стадия (C<sub>3</sub>-P), 2 - средняя стадия (C<sub>2</sub>-C<sub>1</sub>), 3 - ранняя стадия (C<sub>1</sub>), Киммерийский цикл развития геотектонизма: 4 - поздняя стадия (D<sub>2</sub>-R<sub>3</sub>), 5 - средняя стадия (S<sub>2</sub>-S<sub>1</sub>), 6 - ранняя стадия (E<sub>1</sub>-O<sub>1</sub>), 7 - диффузивный цикл развития геотектонизма, 8 - доббильзальский фундамент.

**Н и т р у а н и м а** породы. Доббильзальский фундамент: 9 - габброродиолиты в гнейсах; 10 - гнейсо-гравити. Киммерийский цикл: 11 - габброродиолиты в гнейсах ранней стадии (G), 12 - гнейситы, гранулиты и пикритограниты средней стадии (O<sub>2</sub>-T-S), 13 - граниты поздней стадии (D). Герцинский цикл: 14 - габброродиолиты в гнейсах ранней стадии (C<sub>1</sub>), 15 - гранитограниты средней и поздней стадии (C<sub>2</sub>-C<sub>3</sub>), 16 - мелкогранитные граниты и пикриты поздней стадии (P<sub>1</sub>). Позднегерцинский (южогерци-  
нский) подпоясок: 17 - прокатные габброродиолиты (P<sub>2</sub>?), 18 - прокатные гранитограниты (P<sub>2</sub>?).  
Фации регионального метаморфизма. Субфации залегающейся фации: 19 - высокотемпературные субфа-  
ции залегающейся фации, 20 - высокотемпературные; 21 - эндоконтактититы и залегающиеся  
фации, меркапелититы; 22 - меркапелититы фации; 23 - фации меркапелититов гнейсов; 24 - олигоконт-

метаморфизма. Цикличность гранитизации вытекает из цикличности метаморфических явлений.

Анализ термодинамических условий формирования метаморфитов показывает, что в данном случае мы имеем дело с ареальным типом метаморфизма высоких температур и давлений (вплоть до дистен-гнейсовой фации), характерным для фундаментов древних платформ.

Процессы гранитизации приурочены исключительно к высокометаморфизованным породам. В целом наблюдается смена во времени натровых продуктов существенно калиевыми. Состав и количество магматитов свидетельствуют в пользу их анатектического происхождения.

На современном уровне эрозионного среза выделяются, по крайней мере, три четко различных этапа гранитообразования. К первому следует отнести формирование так называемых "послойных" мигматитов, состав которых колеблется от кварцевых диоритов до плагиогранитов. Попытка оторвать породы в данном случае отражает не первичную слоистость, а метаморфическую дифференциацию и линейную деформацию неоднородностей всякого вида (К. Мерерт, 1971), т.е. гранитизация протекала на фоне напряженного пластического течения, определившего морфологию мигматитов. С этим процессом связано формирование гнейсовых гетерогенных локально перемещенных плагиогранитов, насыщенных скапилитами и останцами субстрата.

Следующий этап гранитизации проявлен на современном уровне значительно слабее и приурочен к продуктам первого этапа. Мигматиты имеют артеритозный характер, лейкогранитовый состав и образуют в большинстве случаев секущие взаимоотношения с плагиогранитными венитами. Наблюдаются переходы от зон мигматизации к алохтонным plutонам гранодиорит-гранитов каледонского цикла.

Область питания герцинских гранитоидов в пределах региона не вскрыта. Поздняя гранитизация фиксируется в виде площадной калишпатизации, накладывающейся на предшествующие гранитоиды и вмещающие их метаморфиты.

Геологические факты свидетельствуют о смещении областей гранитизации в процессе формирования структуры вниз по разрезу земной коры. Необходимо отметить, что за один цикл может возникать не более 20% анатектического материала в силу ограниченного количества воды (Н. Тюре, 1972), следовательно, там, где в метаморфитах венитовых мобилизаторов - 30-40% и более, можно говорить о наложении нескольких циклов гранитизации.

Таким образом, формирование значительных масс гранитоидов может происходить в породах определенного уровня подготовки, недостижимого в пределах одного тектономагматического цикла.

Нижнепалеозойские вулканогенно-терригенные толщи претерпели лишь слабый метаморфизм низкотемпературной субфации зеленосланцевой фации, переходный к региональному метатекстону; деформации повсеместно носят хрупкий характер, пластическое течение вещества отсутствует даже в участках наиболее напряженной складчатости.

Высокометаморфизованные породы обнаруживаются в виде разобщенных тектонических блоков, четко приуроченных к осевой линии Заилийского Алатау. Характернейшей чертой этих образований является развитие структур пластического течения, ориентировка которых резко различна в соседних блоках, что явилось следствием разворота осколков древнего фундамента в последующие тектономагматические циклы. Массивы гнейсовидных гранитоидов, сформировавшиеся в результате гранитизации метаморфитов, имеют гетерогенное строение; породы различного состава развиты в виде полос шириной от 10-15 до 500 м, при этом ориентировка полос и гнейсовидности пород согласна директивным структурам гнейсомагматитовых толщ. В гранитоидах присутствует значительное количество ксенолитов амфиболовых сланцев. Совпадение направлений сланцеватости метаморфитов и гнейсовидности гранитоидов характерно только для сильно уплощенных ксенолитов, в остальных случаях последние ориентированы к директивным структурам под различными углами, то есть испытали вращение в процессе пластического течения пород, находившихся в состоянии расплава или квазирасплава. Таким образом, совпадение "теневой стратификации" локально перемещенных плагонов и директивных структур метаморфитов рамы – следствие пластических деформаций в условиях единого плана тангенциальных напряжений, несопоставимых со структурным планом каледонских осадков ранней стадии.

Внедрение каледонских магм сопровождалось формированием в нижнепалеозойских породах ореолов роговиков амфибол-роговиковой и мусковит-роговиковой фаций контактового метаморфизма; в то же время контакты с гранитизированными метаморфитами носят глубинный изофацальный характер (отсутствие зон вакалки, ороговикования и гидротермальной проработки). Столь резкие различия контактовых явлений свидетельствуют о присутствии на современном уровне звропионного среза пород различных структурных этапов.

Абсолютный возраст метаморфических пород аналогичного облика соседних регионов – 1350 (И.А. Ефимов, 1968) и 840 млн. лет (А.Б. Ба-

киров, 1972), отражают различные этапы древнего метаморфизма и гранитизации. Наложение диафторических изменений еще больше смещает цифры абсолютного возраста в сторону омоложения.

Все вышеупомянутые факты рассматриваются нами с позиций циклического ступенчатого развития земной коры по принципу геотектоногена (Г.Н.Шерба, 1970). Преимущество такого подхода заключается в интерпретации геологических явлений не в поверхностном их выражении, а как следствий совокупности процессов, происходящих в колонне преобразования земной коры, направленных в целом к увеличению ее мощности, степени дифференциации и силикатизации. Цикличность метаморфизма и гранитообразования с этих позиций рассматривается на фоне направленной, необратимой эволюции земной коры, т.е. предшествующие процессы подготавливают последующие и определяют масштабы их проявления и качественно иной уровень.

Литературные данные и материалы, полученные авторами в результате работ по этому региону, проводимых при непосредственном участии научного руководителя Г.Н.Шерба, позволяют относить блоки глубокометаморфизованных и гранитизированных пород, развитые в осевой части Заилийского Алатау, и зеленосланцевые вулканогенно-терригенные толщи к различным структурным стажам и считать первые комплексами добайкальского фундамента, а вторые – отложениями ранней стадии каледонского цикла развития Северотяньшаньского байкало-альпийского геотектоногена.

К.Арыстанов

## ГЕОЛОГО-ПЕТРОЛОГИЧЕСКИЕ ОСОБЕННОСТИ ВЕРХНЕОРДОВИКСКИХ ГРАНИТОИДОВ И НЕКОТОРЫЕ ВОПРОСЫ МЕТАЛЛОГЕНИИ КАСТЕКСКОГО РУДНОГО РАЙОНА

Верхнеордовикские гранитоиды развиты в западной и центральной частях Кастанекского хребта в ассоциации с амфиболит-сланцевой формацией, где они слагают крупный Бериктасский батолит. Переходы гранитоидов во вмещающие амфиболиты совершенно постепенные. Именно взаимоотношения верхнеордовикских гранитоидов с метаморфическими породами пред-

ставляют наибольший интерес для понимания их генетической природы. Породы верхнеордовикского комплекса образуют непрерывный и последовательный ряд от габброидов до гранодиоритов и плагиогранитов. Петрохимические исследования подтверждают большое многообразие петрографических типов пород и их неоднородность по составу. Все петрографические типы пород укладываются в единую вариационную кривую, что свидетельствует об их генетическом родстве.

Во всех верхнеордовикских гранитоидных породах наблюдаются переходы от калишпатизированных габбро, эсекситов, шонинитов через сиенодиориты до сиенитов, сиеногранодиоритов, калишпатизированных плагиогранитов-гранитов. Петрохимические, геологоструктурные и геохимические особенности этих пород позволяют рассматривать их как автохтонно-метасоматические образования, сформированные при глубинной гранитизации амфиболит-сланцевой толщи в условиях эпидот-амфиболитовой фаации метаморфизма на глубине около 8–10 км. Гранитизация амфиболит-сланцевой толщи происходила, по-видимому, в начале орогенного воздымания каледонских структур в их основании. Она протекала в несколько этапов: на ранней стадии имела место мигматизация амфиболит-сланцевой толщи, затем – натриевый метасоматоз, а завершающая стадия – интенсивный калиевый метасоматоз. Калишпатизация наложена на амфиболовые сланцы.

Наше понимание генетической природы верхнеордовикских гранитоидов позволяет пересмотреть и их металлогенические особенности.

Большинство полиметаллических объектов, в том числе месторождения Кастан, Кырджол и другие, сконцентрированы в амфиболит-сланцевой толще. Небольшая их часть (Чинасылсай, Урмансай и др.) размещена в кембрордовикской базальт-карбонат-терригенной формации. Причем Чинасылсайское рудное поле по своей геологической позиции, структуре и возрасту рудовмещающей толщи в какой-то степени близко к Текелийскому, что позволяет предположить первично стратиформную природу свинцово-цинковых руд чинасылсайского типа (Кадырбеков, Абдрахманов, 1971). Мы считаем, что кастанский тип оруденения можно рассматривать как метаморфизованный и вторично мобилизованный аналог чинасылсайского. Генетическое родство оруденения кастанского и чинасылсайского типов подтверждается содержанием элементов-примесей, отсутствием герmania и мышьяка в галенитах этих месторождений и одинаковым изотопным составом свинца (Юнусов, 1969).

В результате комплексных петролого-геохимических и геологоструктурных исследований под научным руководством К.А.Абдрахманова (1968–1973 гг.) установлен каледонский возраст большинства полиметалличе-

ских объектов Кастанского хребта. Связь полиметаллических руд с гранитоидами, по нашим данным, пространственная, а не генетическая. Повышенные содержания цветных металлов (против яларка) в породообразующих и акцессорных минералах образований позднеордовикового комплекса обусловлены первичными литогеохимическими особенностями геологической среды. Полиметаллическая специализация гранитоидов является вторичной и имеет унаследованную природу.

В металлогеническом отношении аляскиты и субщелочные граниты верхнедевонского комплекса описываемого района отчетливо выделяются особенностями акцессорной минералогии и геохимии, большим видовым разнообразием и высокими фонами редкometально-редкоземельных элементов-примесей. Очевидно, что эти породы являются первично геохимически специализированными в отношении редких металлов и редких земель. Следовательно, это оруденение района генетически связано с аляскитами и субщелочными гранитами верхнего девона. Дальнейшее изучение алигатальных, эндо- и экзоконтактовых участков plutонов аляскитовых гранитов может привести к выявлению новых редкometальных зон и объектов.

По нашему мнению, представляют интерес многочисленные рудопроявления Кастан-Кенджатасской зоны, где в линейных зонах окварцевания, гранитизированные сланцы по основным породам несут редкometальную минерализацию. Следует отметить, что позднеордовиковые габброиды-платиграниты описываемого района выделяются относительно высоким фоновым содержанием благородных металлов. Мы считаем, что изученный район заслуживает специального изучения и выявление здесь перспективных рудопроявлений вполне вероятно.

М.С. Рафаилович

#### РУДОПРОЯВЛЕНИЯ ЗОЛОТА КАСТЕКСКОГО ХРЕБТА (ЗЛИЙСКИЙ АЛАТАУ)

В настоящее время Кастанский хребет рассматривается как альпийский горст. Широко проявленный и разнообразный магматизм района обус-

ловил специфичную комплексно – полиметаллическую металлогенацию хребта. Наиболее изучены и разведены проявления полиметаллов и редких металлов. Большая заслуга в этом принадлежит В.П.Смородину, Г.К.Слесареву, И.А.Устименко, Т.Е.Масловой, В.П.Коняеву, И.И.Миронову, А.Е.Шлыгину, Л.У.Кадырбекову, В.В.Овчинникову, Б.И.Юнусову и др. Накопленный к настоящему времени материал позволяет на основании анализа парагенетических ассоциаций минералов и структурно-морфологических особенностей золотого оруденения выделить в районе пять золоторудных формаций.

Мильная кварц–карбонатная полисульфидная формация отмечается на Мироновском месторождении, сложенном моноклинально падающей толщей протерозоя (амфиболиты, сланцы). С востока к рудному полю примыкает интрузия сиенит–диоритов Киргабулгинского массива, с которой генетически связано оруденение. Гидротермальные изменения вмещающих пород выражались в серicitизации, карбонатизации и окремнении. Рудные тела приурочены к серии субширотных трещин с крутым падением на север, представлены кварц–карбонат–турмалиновыми жилами с сульфидной минерализацией. Основные рудообразующие минералы – халькопирит, галенит, сфалерит, арсенопирит, пирит, магнетит и висмутин. Минералы–концентраты золота – это арсенопирит, пирит и халькопирит. Отношение золота к серебру уменьшается с глубиной, составляя на дневной поверхности единицы, на средних горизонтах десятки, на глубоких горизонтах – сотни единиц.

Скарновая формация отмечается на рудопроявлении участка Узун–Булак. Площадь рудопроявления сложена отложениями флишоидной толщи среднего ордовика и каменноугольными эфузивами. Магматические породы представлены массивом верхнеордовикских гранитов и многочисленными дайками андезитов, спессартитов, диоритов, мелкозернистых гранит–аплитов. Скарновые тела развиты в высокой части флишоидной толщи по известковистым алевролитам и прослойям известняков, находящихся среди песчаников, кремнистых пород. Состав скарнов – гранат–пироксеновый, протяженность их – до 100 м. Минерализация наложена на прослой метафоситов в ороговиковых песчаниках. В зоне гипергенеза в скарнах широко распространены вторичные минералы железа, которые (С.С.Смирнов, 1965) подразделяются на лимониты замещения и лимониты заполнения. Первые (аналитик Л.Х.Малышева) представлены гидрогематитом, гематитом и гетитом с натечно–скорлуповатой, ячеистой, полосчатой и губчато–пористой текстурами и плотными агрегатами с зонально–колломорфным строением. Лимониты заполнения наблюдаются в виде плот-

ных и охристых разностей. Плотные имеют вид оторочек вокруг пустот выщелачивания и выделений гематита и гидрогематита. Охристая разность выстилает пустоты выщелачивания и трещинки; реже встречаются лимонитизированные сыпучки. По времени образования лимониты этого типа являются более поздними.

Довольно широким распространением в зоне окисления пользуются вторичные висмутовые минералы. Они подразделяются на две разновидности. Первая - тонкоагрегативная зеленовато-серая, желтовато-серая, типа бисмутита. Кроме основного компонента, в ней спектральным анализом установлены следующие элементы, %: серебро - I; медь - 0,03; молибден - 0,0004; свинец - 0,5; никель - 0,005; мышьяк - 0,01; сурьма - 0,005. Вторая разновидность - черно-бурый висмутовый минерал, образующий изометрические листоватые (слюдоподобные) выделения размером от долей мм до 1-2 мм. Минерал непрозрачный, легко расщепляется на мелкие пластинки по направлениям совершенной спайности. Отмечаются реликты гипогенного ртутинита. По плоскостям спайности отчетливо наблюдаются пленки самородного металла. Спектральным анализом установлены следующие химические элементы, %: золото - 0,1; серебро - 0,03; медь - 0,003; свинец - I; мышьяк - 0,01; сурьма - 0,03. Минерал в естественном состоянии рентгеноаморфен.

Самородный металл макро- и микроскопически устанавливается в тесной ассоциации с гидроокислами и окислами железа и вторичными висмутовыми минералами. Металл в них отмечается в трещинах, полостях и кавернах, образуя жилковидные, проволочные, дендритовидные, комковатые, пластинчатые выделения, в отраженном свете он золотисто-желтого цвета. Спектральным анализом в нем установлено, %: серебро - 0,1; висмут - 0,01; свинец - 0,1. Никротвердость его равна  $73 \text{ кг}/\text{мм}^2$ . Парagenезис, структурно-текстурные связи со вторичными минералами висмута и железа, высокая пробность свидетельствуют о гипогенном происхождении металла.

Формация метасоматических залежей представлена на рудопроявлениях полиметаллов Чинасылсай. Оруденение локализовано в сапатайской свите верхнего кембрия, сложенной песчаниками, алевролитами, тuffоконгломератами; приурочено к зоне разлома, проходящей вдоль серии даек широксен-плагиоклазовых порфиритов и биотит-плагиоклазовых порфиров. Гидротермальные изменения вмещающих пород соответствуют березитовой формации. Для рудных тел характерна пластообразная форма как с соглас-



ным, так и секущим залеганием. Практическое значение имеют сфалерит-галенитовые руды, среди которых выделяются три структурно-морфологических типа: метасоматического замещения, зон брекчирования и жильный. Для них характерны постепенные переходы. Главные рудные минералы — галенит, сфалерит, халькопирит и пирит. Жильные минералы представлены анкеритом, сидеритом, кальцитом и кварцем. Основными минералами, концентрирующимися изученный металл являются сульфиды свинца и железа (И.Н.Пеньков, В.П.Коняев, 1968). Для золота характерны округлые зерна, червеобразные прожилки по трещинкам и стыкам зерен.

Формация зон сульфидной минерализации является преобладающей в районе. Она отмечается в разнообразных по составу и возрасту породах: в отложениях флишоидной толщи среднего ордовика, в разнозернистых гранитах, широкластических образованиях переменного состава и крупногалечниковых конгломератах девона. Зоны контролируются разрывными нарушениями различных направлений. Протяженность их от 50 до 200–300 м и мощность 0,1–10 м. Зоны трещиноватые, лимонитизированные, с частой вкрапленностью пирита, реже галенита. Пиритизация, как правило, "сквозная", повсеместная. Пирит отмечается в виде кристаллов кубического и пентаго-додекаэдрического габитусов, достигает 10–15% от объема породы. Сульфид железа в зоне гипергенеза обычно псевдоморфно замещен лимонитом. В ряде случаев зоны с поверхности нацело сложены гидроокислами железа, имеют кавернозно-дырчатую текстуру. В гранитах девона они сопровождаются калишпатизацией и березитизацией вмещающих пород. Отмечается прямая корреляционная связь между концентрациями золота и интенсивностью пиритизации. Элементы-спутники — висмут, серебро, сурьма, молибден, мышьяк, медь. Золото-серебряное отношение варьирует в пределах I:I – I:40.

Формация вторичных кварцитов имеет подчиненное значение, проявлено на участках Сарысай, Талдысай, Каракунуз. Тела золотоносных кварцитов имеют малые размеры, отмечается, как правило, в эфузивах девона. Состав вмещающих эфузивов переменный — от карбовых порфиров (участок Талдысай) до туфов андезитового, андезит-базальтового составов (участок Каракунуз). Кварциты пиритизованы. Распределение золота неравномерное, струйчатое. Элементы-спутники — висмут, медь, свинец, серебро и сурьма. Вторичные кварциты одного из участков содержат высокие концентрации свинца.

Таким образом, в районе западного окончания Заилийского Алатау установлено пять золоторудных формаций: жильная кварц-карбонатная полисульфидная, скарновая, метасоматических залежей, зон сульфидной минерализации и вторичных кварцитов. Полученные результаты позволяют конкретизировать поисковые работы в данном районе.

Р.Г.Жилинский

### ТЕКТОНО-МАГМАТИЧЕСКОЕ РАЗВИТИЕ УЛЬБА-БУХТАРМИНСКОГО РАЙОНА (РУДНЫЙ АЛТАЙ)

Крупномасштабные геолого-геофизические исследования, проведённые в последние годы, позволили восстановить историю тектоно-магматического развития описываемой территории Зайсанской геосинклинальной системы начиная с фаменского времени позднего девона. Основные крупные блоковые структуры Рудноалтайской зоны (Алейский и Выструшинский блоки, а также зона Иртышского глубинного разлома) дробились и развивались дифференцированно. В Алейской подзоне, вдоль ее границы с Выструшинской, в раннефаменское время происходит мощное излияние средних эфузивов с крайне ограниченным количеством пирокластического материала (нижнепихтовская подсвита). Ее мощность достигает 1700 м. В среднефаменское время происходит дробление ранее единой Алейской подзоны на отдельные части, которые рассматриваются как ее структурно-формационные блоки. Деление происходит по разрывам субширотного направления, отходящим под острым углом от Иртышского глубинного разлома. В нашем районе к ним относятся Тарханский, Феклистовско-Никольский и Кременюшинский блоки. Первые из них разделены Смолянским, а два последних - Диагональным разломами. В это время на описываемой площади Алейской подзоны формируются пирокластические образования, в основном, умеренно кислого и кислого составов (среднепихтовская подсвита). Состав и тип разреза подсвиты в каждом из выделяемых блоков различны, а ее мощность около 1800 м. Центры вулканизма приурочены к разломам северо-западного простирания, где развиты субвулканические интрузивы,

жерловые и прижерловые фации вулканитов. Завершается вулканизм в среднем фамене накоплением осадочных образований на всей изученной площади подзоны. В позднефаменское время в Алейской подзоне района происходило накопление вулканитов среднего и умеренно кислого составов и дальнейшее разделение блоков среднефаменского времени на более мелкие части. При этом субвулканы и жерловые фации вулканитов располагались вдоль разломов, ограничивающих вновь сформированные блоки (рис. I). Мощность образований этого времени (верхнепижтовская подсвита) в выделенных блоках колеблется от 1000 до 2500 м. В зоне Иртышского глубинного разлома к фаменскому времени относятся порфировые интрузии Сакаевско-Долинского блока, подразделенные нами на две возрастные группы.

Имеющиеся материалы показывают, что в турнейское время в районе происходила трансгрессия моря; в раннетурнейское – море проникает в Алейскую подзону со стороны Быструшинского прогиба, а в позднетурнейское – со стороны зоны Иртышского глубинного разлома. В раннем турне, в опущенных западных частях Таловского и Никольского блоков вблизи Кондратьевского разлома, накапливались прибрежно-морские отложения (тарханская свита). Ее мощность не превышает 400 м. На остальной площади Алейской подзоны и Иртышского глубинного разлома осадки этого периода, по нашим данным, отсутствуют. Изучение фаций верхнего турне показало, что Прииртышский морской бассейн в это время был обособлен от Быструшинского. Мощность отложений верхнетурнейского подъяруса (бухтарминская свита) в западной и южной частях Алейской подзоны (Тарханский, Феклистовский блоки) достигает 1300 м. К востоку их мощность уменьшается до 750 м, а на границе с Никольским блоком известны рифовые образования этого времени. В зоне Иртышского разлома разрез бухтарминской свиты неполный и измеряется сотнями метров. В ранневизейское время морские осадки накапливаются в опущенной части Феклистовского блока (ульбинская свита) и имеют мощность более 1500 м.

Верхнетурнейская трансгрессия в Зайсанской геосинклинали описана В.П. Некорощевым (1958, 1966) под названием чаткальской фазы складчатости. Нами на описываемой площади не установлено складчатых деформаций в позднем девоне – раннем и позднем турне. По-видимому, под чаткальской фазой следует понимать вертикальное перемещение отдельных блоков относительно друг друга, происходившее неоднократно. По крайней мере, мы выделяем три таких импульса, сопоставимые с подфазами бретонской фазы складчатости в Западной Европе (по Г.Штилле).

Дальнейшая история развития отмечена в районе мощными складчатыми движениями и активизацией магматических процессов (рис. 2). Во всем

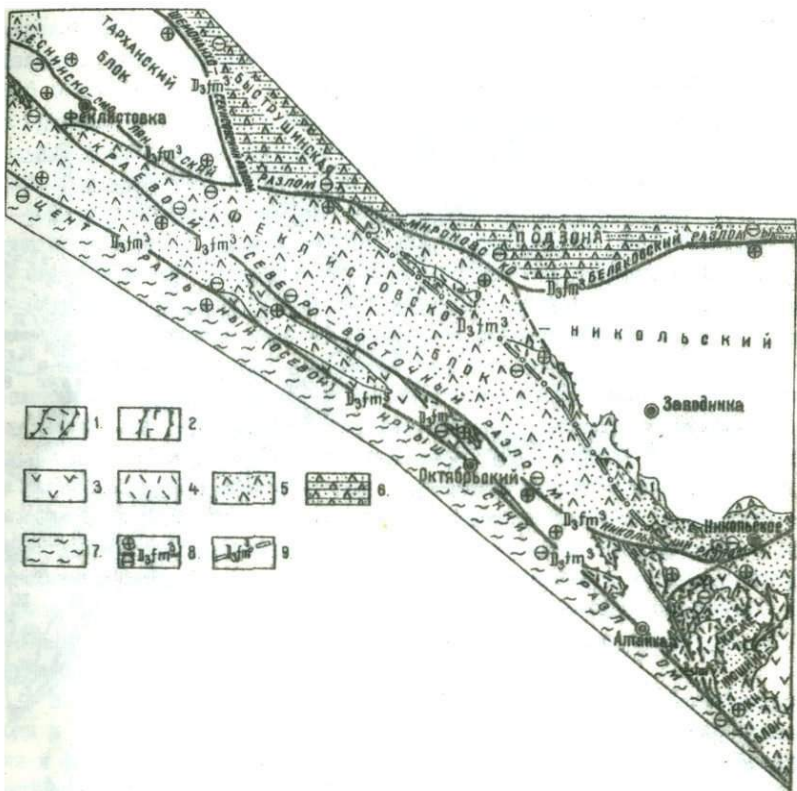


Рис. I. Схема распределения образований позднего фамена: центры вулканических аппаратов 1 - кислого, 2 - основного составов; лавы 3 - основного, 4 - кислого составов; 5 - мелкообломочные туфы среднего состава и туфопесчаники; отложения 6 - прибрежно-морские вулканогенно-осадочные, 7 - морские глинистые; разломы 8 - прослеженные, 9 - предполагаемые

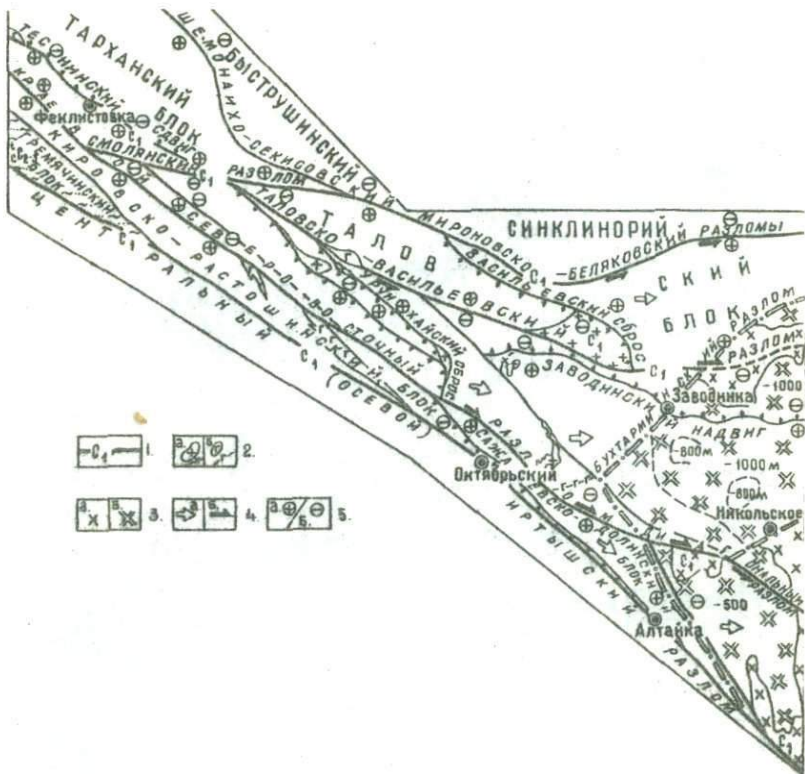


Рис. 2. Схема развития района в саурскую (поздневизейскую) фауну складчатости:

I - разломы и время их проявления; 2а - малые интрузивные тела кислого, 2б - основного и среднего составов; гранодиориты змеиногорского комплекса: За - по геологическим, Зб - по геофизическим данным; направление перемещений блоков 4а - общее, 4б - по зонам разломов; 5 - относительное перемещение блоков по разломам

исследователями признается, что главная складчатость на Рудном Алтае произошла после отложения ульбинской свиты (раннее визе), но до малоульбинской свиты (позднее визе). Эту складчатость принято называть саурской (А.К. Каупов, 1964) по аналогии с тектонической фазой того же названия, установленной впервые В.П. Некорожевым в хребте Саур в 1946 году. По данным Г.Д. Ажгирея, П.Ф. Иванкина и других геологов, зона Иртышского глубинного разлома в это время развивалась как региональный правый сдвиг, который сопровождался активизацией движений вдоль разломов северо-западного простирания в Рудноалтайской структурно-формационной зоне, а также образованием по ним серии сбрососдвигов. Наши исследования показывают, что в зоне Иртышского глубинного разлома на территории Ульба-Бухтарминского района в это время выдвигалась из глубин клиновидная горстовая структура Сажаевско-Долинского блока, сложенная наиболее древними на изученной площади образованиями. Смежный с ним по зоне Кировско-Растошинский блок испытывает в это время интенсивный боковой стресс, в результате которого слагающие его породы сминаются в линейные складки, оси которых смещаются в горизонтальной плоскости по разломам, ограничивающим этот блок. К северо-западу от Кировско-Растошинского (в зоне глубинного разлома) погружался Гречесчинский блок, где в дальнейшем происходило накопление позднепалеозойских осадочных отложений. Магматизм в Иртышской зоне проявился по завершении складчатых процессов (нижнекаменноугольные интрузии габбро-диабазов, малые интрузивные тела габро-плагиогранитной формации), которые внедрялись по разломам, ограничивающим блоковые структуры, и приспособливались к положительным складчатым формам.

В Алейской подзоне района Рудноалтайской структурно-формационной зоны в это время развивались сдвиговые, надвиговые и сбросовые движения и формировались пологие брахиформные складки. Никольский и Кременюшинский блоки (на востоке) испытывают движение в восточном направлении по Васильевскому разлому, образуя здесь область максимального растяжения, в которую внедрялись гранодиоритовые интрузии эмайногорского комплекса. На остальной площади подзоны (на западе и севере) сдвиговые движения блоков обусловили формирование в их внутренних частях Урунхайского, Васильевского сбросов и Заводинского надвига. Плоскости первых заличиваются гранодиоритовыми и порфировыми интрузиями, а разломы, по которым происходили сдвиговые движения — малыми интрузивными телами габро-плагиогранитной формации. Таким образом, саурский тектогенез создал структурную основу, в которую происходило

внедрение интрузивных образований раннего карбона.

По последним данным осадконакопление в позднем галеозое происходило только в Гремячинском блоке Иртышской зоны (гремячинская свита). Окончание палеозойской эры (пермский период) знаменуется бурным проявлением интрузивного магматизма как на изученной площади, так и в смежных районах. К югу от Ульба-Бухтарминского района в Калба-Нарымской зоне Калбинского синклиниория происходило внедрение гранитных интрузий, проникающих в осевую часть Иртышского глубинного разлома, но далее на северо-восток от нее не распространившихся. На севере района в границах Выструшинского синклиниория Рудного Алтая внедрялись пермские интрузии, отличные по петрохимическим и геохимическим особенностям от калбинских. К этому же времени следует отнести надвиг со стороны зоны Иртышского глубинного разлома на структуры Рудного Алтая и образование гранито-гнейсов в осевой части Иртышской зоны смятия.

Проведенные исследования тектono-магматического развития Ульба-Бухтарминского района позволяют уточнить закономерности размещения полезных ископаемых на его площади и выявить новые черты металлогении изученной территории.

Н.В.Юдовская, С.А.Солтан, А.Г.Юдовский

#### НЕКОТОРЫЕ ОСОБЕННОСТИ ГЕОЛОГИЧЕСКОГО СТРОЕНИЯ СНЕГИРЕВСКОГО МЕСТОРОЖДЕНИЯ ЗЫРЯНОВСКОГО РАЙОНА РУДНОГО АЛТАЯ

Изученное месторождение является составной частью Греховского рудного поля Зыряновского рудного района. Геологическая информация, полученная при проведении поисково-разведочных и эксплуатационных работ последних лет, и проведенные нами исследования позволили уточнить особенности структуры месторождения и локализации оруденения.

В структурном отношении Снегиревское месторождение располагает-

ся в области юго-восточного замыкания Ревнинской горст-антиклинальной структуры (С.А.Солтан, 1970), где, в целом, она характеризуется близширотным простираем слоев пород с крутым погружением их в южном направлении (ЮВ-Ю). Эта структура осложнена складками более высоких порядков и разрывными нарушениями. Рудовмещающие породы месторождения представлены вулканогенно-осадочными образованиями ревнинской и маслянкой свит ( $D_2e$ ). Характерным, как и для всего Эзяко-вского района, является широкое развитие интрузий порфиров. Последние в общем плане подчинены структуре месторождения, но в деталях преобладают секущие по отношению к слоистости и согласные со сланцеватостью контакты, сопровождаемые ореолами порфиризации. Примечательной особенностью геологического строения является наличие даек порфиров, количество которых увеличивается с глубиной. В центральной части площади месторождения вулканогенно-осадочные образования слагают узко сжатую Снегиревскую горст-антиклиналь. Ее ось ориентирована в ССЗ направлении, шарнир круто ( $75-80^\circ$ ) погружается к югу, западное крыло запрокинуто, падение слоев в крыльях восточное (СВ-ЮВ), либо вертикальное. Антиклиналь ограничена Восточно-Снегиревским и Западно-Снегиревским разломами взбросо-сдвигового характера, сопровождающимися зонами интенсивного рассланцевания и дробления. К востоку Снегиревская горст-антиклиналь сменяется синклиналью. В западной части первой, ограниченной Западно-Снегиревским разломом, породы имеют северо-восточное простижение с крутым падением слоев на юго-восток ( $75-85^\circ$ ). Эта часть площади месторождения наиболее слабо изучена геологоразведочными работами.

Оруденение сконцентрировано в рудной зоне, отвечающей области контакта ревнинской и маслянкой свит и одновременно - "подоиев" порфиров. В зоне интенсивно проявлены процессы рассланцевания и околоврудные гидротермальные изменения: серicitизация, окварцевание и хлоритизация. Форма рудных тел определяется особенностями локальных структур и физико-литологическими свойствами вмещающих пород. Большинство рудных тел представляет собой минерализованные зоны дробления и сланцеватости, секущие слоисто-складчатые образования. Форма их жилообразная, оруденение вкрапленно- прожилковое. Преобладающий способ рудоотложения - выполнение трещин при подчиненной роли метасоматоза. Наиболее благоприятным для рудоотложения является сочетание разрывных структур с флексураобразными изгибами, осложняющими Снегиревскую горст-антиклиналь. В подобных случаях создание "полузакрытых" структур способствует прояв-

лению интенсивного процесса метасоматического замещения и обуславливает высокую степень концентрации рудной минерализации (богатые прокильково-вкрапленные и сплошные руды), форма тел трубообразная (рудное тело №I, южные фланги рудных тел №№14, 4 и др.). Склонение рудных тел южное.

Нашиими наблюдениями в подземных выработках установлено, что основное оруденение сосредоточено в структурах, наложенных на складчатые образования, и является более поздним, чем дайки порфиритов ларинского (?) комплекса ( $C_1 v_3$ ). Имеются многочисленные случаи пересечения рудными телами даек этого комплекса, а гидротермальные изменения и оруденение накладываются на них. В то же время дайки порфиритов секут интрузивные порфиры. Таким образом, оруденение является наиболее молодым геологическим образованием на изученном месторождении. Имеющиеся материалы позволяют сделать вывод, что во времени перед рудных дислокаций зона контакта ревюшинской и маслянской свит представляла собой гетерогенную среду с резкой разнокомпетентностью составляющих ее геологических образований. В значительной степени это обусловлено наличием порфировых интрузий и даек порфиритов. В процессе дислокаций зона неизбежно реагировала образованием полостей отслаивания и крупными деформациями, служившими рудоподводящими структурами. Рудоконтролирующая роль принадлежала локальным дисъюктивным и складчатым структурам.

Мы считаем, что не исчерпана возможность обнаружения рудных тел (и именно тел трубообразной формы) на изученных горизонтах месторождения и глубже их. Определенный интерес, по нашему мнению, представляет западная часть месторождения, структурно отвечающая тектоническому блоку, ограниченному Западно-Снегиревским и Подгорловским (восточная ветвь) разломами.

Е.М.Юрченков

ДИФФЕРЕНЦИРОВАННЫЕ НАМОРСКИЕ ИНТРУЗИВЫ ГАББРОИДОВ  
ИРТЫШСКОЙ ЗОНЫ СМЯТИЯ – ВОЗМОЖНЫЕ НОСИТЕЛИ СКОПЛЕНИЙ  
МЕДНО-НИКЕЛЕВЫХ СУЛЬФИДНЫХ РУД

Работы поисково-съемочного характера, проводившиеся ранее на

Алтая, не были ориентированы на данный вид минерального сырья. интрузивы основного-ультраосновного состава лишь картировались, и только в некоторых случаях отмечалась дифференциация пород. Последнее в некоторой степени оправдано исключительно слабой обнаженностью массивов такого состава, локализацией рудных тел на глубине, отсутствиемальной аппаратурой для обнаружения оруденения при исследованиях на уровне крупномасштабных геологических работ.

В качестве потенциальных носителей интересующего нас оруденения выделены дифференцированные массивы габброидов: Таловский и Суровский. Наибольший поисковый интерес представляет западная эндоконтактовая зона Таловского массива, который представляет в плане неправильный овал. По морфологии интрузивное тело – акмолит с выложенным западным крылом (нижний контакт имеет падение 15–20°). Массив дифференцирован. Наблюдается следующий ряд пород: габбро-диориты (95% от общего объема) – пироксениты и габбро-диабазы (5%). В зоне эндоконтакта развиты небольшие тела пироксенитов, расценивающиеся как выжимки с нижних горизонтов. Они местами несут видимую минерализацию пирротина, пентландита и халькопирита. По данным спектрального анализа рудоносные интервалы в пироксенитах содержат: меди 0,01–0,05 до 0,1%, никеля 0,1–0,15 до 0,4%.

В геофизических полях зона эндоконтакта Таловского интрузива выражена пониженным магнитным полем. К этой же зоне приурочены аномалии вызванной поляризации (ВП) и метода переходных процессов (МП), совпадающие с телами пироксенитов, обогащенных сульфидами. Интенсивность аномалий достигает 8–10%. По предварительным данным, полученным методом ВЭЗ-ВП (вертикальным электроздонированием – вызванной поляризации), в западной приподнятой части интрузива находится проводящее тело, погружающееся под углом 10–15° к востоку. Сопоставляя имеющиеся геолого-геофизические данные, мы можем предположить наличие здесь крупных скоплений медно-никелевых руд.

При оценке Суровского массива габброидов, являющегося продолжением Таловской интрузии, можно предположить, что и здесь в приподнятых частях возможны горизонты, имеющие пологое залегание и несущие, аналогично Таловским, медно-никелевое оруденение.

К ВОПРОСУ ПОИСКОВ ЭНДОГЕННЫХ МЕСТОРОЖДЕНИЙ  
В АРГАНАТИНСКОМ ПОДЪЯТИИ ЦЕНТРАЛЬНОГО КАЗАХСТАНА

Геологическое строение Арганатинского поднятия характеризуется насыщенностью герцинскими гранитоидными интрузиями в метаморфических вулканогенных и осадочных образованиях нижнего протерозоя. Оруденение редких и благородных металлов тесно связано с девонским магматизмом. В пространственном распределении эфузивных и интрузивных фаций последнего имеет место горизонтальная зональность. В описываемом районе к западу от краевого вулканического пояса, по мере приближения к Улутауской зоне, отмечается постепенное сокращение в разрезе комагматов эфузивного ряда. На Арганатинском подъятии фиксируется в основном интрузивная фация при ничтожной роли эфузивных производных.

В северной части Улутауской складчатой системы известно несколько крупных гранитоидных массивов. Один из них - Арганатинский - расположен в восточной части описываемого поднятия и представляет собой, по данным гравимагнитных работ, слабоэродированный асимметричный лакколит размером 37x17 км в плане. Нижняя его граница фиксируется на глубине 2300-3800 м. Вмещающими породами являются образования аралбайской серии, представленной внизу разреза первично-осадочными и кислыми вулканогенными породами пониженной плотности ( $2,64-2,66 \text{ г}/\text{см}^3$ ) и магнитной восприимчивости ( $6-165 \cdot 10^{-6} \text{ СГС}$ ). В верхней части разреза свиты преобладают более плотные ( $2,84-2,92 \text{ г}/\text{см}^3$ ) и более магнитные (до  $1400-5500 \cdot 10^{-6} \text{ СГС}$ ) вулканогенные породы основного состава. При интерпретации геофизических аномалий устанавливается четкое зональное строение Арганатинского plutона. В центральной части локальными отрицательными аномалиями силы тяжести фиксируются гранитные интрузии. По периферии положительным гравитационным полем выделяются диориты и гранодиориты. В магнитном поле первые выделяются положи-

тельными аномалиями, вторые – ближе к центру фиксируются отрицательными аномалиями. Породы диорит–гранодиоритового ряда формировались по отношению к гранитам в ранний этап. При этом для интрузий среднего состава характерны признаки ассоциированности и контаминации.

По результатам геофизических методов выясняется закономерность пространственного размещения эндогенных рудопроявлений относительно Арганатинского plutона, выраженная в горизонтальной зональности. Последняя характеризуется последовательной сменой от центра plutона к периферии зон минерализации редких, благородных и цветных металлов. Рудопроявления и вторичные ореолы рассеянных элементов-спутников золота во внешней зоне plutона приурочиваются к диоритам и гранодиоритам. Подобная связь минерализации с интрузиями такого состава средних и малых глубин образования, как важная особенность металлогении района устанавливается также во многих других провинциях Казахстана (Нарсеев, Садовский, Садовская, 1973).

В описываемом районе в размещении эндогенной минерализации золота наблюдается вертикальная и горизонтальная зональность. Она встречается во внутренней зоне plutона среди редкометальных проявлений и во внешней – среди полиметаллических. Такая закономерность распределения золотого оруденения устанавливается в связи с зональностью размещения петрографических типов интрузивных пород Арганатинского plutона.

По результатам комплексных крупномасштабных геолого-геофизических работ установлено, что изученные рудопроявления тесно связываются с малыми интрузиями среднего состава степнякского типа магматизма, формировавшимися в результате гибридизма интрузий гранодиоритов в толщах зеленокаменных пород нижнего протерозоя. Подобная петрология "степняков" и их связь с данным оруденением устанавливается во многих районах Казахстана в диапазоне времени от ордовика до перми (Абулкарибова, Анкинович, Каюзов, 1971; Нарсеев, Глоба, 1973).

В качестве примера рассмотрим рудорождение в южной части Арганатинского plutона, где рудные тела расположены в малой интрузии кварцевых диоритов и представлены кварцевыми жилами и метасоматическими жильными зонами, приуроченными к системе трещин субмеридионального простирания с углами падения 30–50° на запад. Главные минеральные ассоциации – рудная – пирит, халькопирит, галенит, золото – инерудная (жильная) – кварц, серцит. Околорудные изменения представлены березитизацией, пропилитизацией и окварцеванием пород.

Установлена линейная корреляционная связь золото-свинец-молибден–серебро-медь ( $r = 0,53-0,95$ ). К рудопроявлению тяготеют вторич-

ные ореолы рассеяния молибдена, серебра и свинца, элементов—спутников золота. Зона оруднения оконтурилась ореолами рассеяния золота. Рудо-явление четко отмечается аномалиями вызванной поляризации (ВП) интенсивностью 4–% на фоне %. Последние фиксируют участки пиритизации пород, которая сопровождает золотую минерализацию. Тело кварцевых диоритов на дневной поверхности окаймляется вторичными ореолами рассеяния никеля, хрома и кобальта, которые отражают повышенную основность вмещающих пород.

Собственно интрузия кварцевых диоритов в толще плотных и магнитных зеленокаменных пород отмечается локальными понижениями гравитационного и магнитного полей. По данным количественной интерпретации гравимагнитных аномалий тело кварцевых диоритов имеет сложную штокоподобную форму, прослеживается до глубины 600–700 м и является эндоконтактовой фацией гранодиоритовой интрузии, которая в 3 км северо-восточнее выходит на современный эрозионный срез.

Данные количественной интерпретации аномалий силы тяжести показывают, что зеленокаменная толща, развитая в районе рудо-явления, является членом единой протерозойской моноклинальной структуры, осложненной интенсивными тектоническими подвижками. Не выходящие на дневную поверхность малые тела золотоносных кварцевых диоритов более уверенно выделяются высокоточной гравиразведкой. При прямых поисках глубокозалегающих золоторудных объектов высокую эффективность показывают глубинная геохимическая съемка по первичным и вторичным ореолам и электроразведка методом ВП. Магниторазведка дает дополнительную информацию о составе пород верхней части геологического разреза.

Эти выводы позволяют целенаправленно проводить поисково-разведочные, геолого-геофизические и геохимические работы в Арганатинском поднятии Центрального Казахстана.

ОСНОВНЫЕ ЗАКОНОМЕРНОСТИ РАЗМЕЩЕНИЯ СУРЬЯННОЙ  
И ЗОЛОТОЙ МИНЕРАЛИЗАЦИИ В ЖАНАН-ЧИНРАУСКОЙ ЗОНЕ  
(ВОСТОЧНЫЙ КАЗАХСТАН)

Описываемая рудная зона приурочена к Жанан-Чинрауской грабен-синклинали, ограниченной с северо-востока Жананским, а с юго-запада - Чинрауским разломами глубокого заложения. Между ними развита густая сеть более мелких нарушений, простирающихся, в основном, в северо-западном направлении, часто пересекающихся между собой. Падение их крутое ( $60\text{--}80^\circ$ ), преимущественно на северо-восток. Грабен-синклиналь сложена дислоцированными и в различной степени метаморфизованными осадочными и вулканогенно-осадочными породами буконьской свиты ( $C_1n\text{--}C_2$ ) и осадочно-вулканогенными образованиями майтюбинской серии (?)  $C_3$ .

Отложения буконьской свиты представлены грубым переслаиванием песчаников, гравелитов, алевролитов с редкими прослойками конгломератов (нижняя пачка) и тонким флишидным переслаиванием углисто-глинистых сланцев, углистых алевролитов, алевролитов, аргиллитов и песчаников. Породы майтюбинской серии представлены лавами андезитового, андезит-дацитового и дацитового состава с прослойками и линзами туфов и туфитов вишневого и темно-сиреневого цветов.

Геологическими исследованиями последних лет (Ю.И.Верещков, 1968-1972 гг., А.М.Мысник, 1968-1971 гг.) в пределах Жанан-Чинрауской зоны выделено два типа минерализации: сурьмяный (в зонах дробления в телах субвулканических андезит-дацитов и дацитов) и золото-сульфидный (в осадочных отложениях буконьской свиты верхнего намора-среднего карбона).

Золото-сурьмяная минерализация в субвулканических андезит-дацитах и дацитах развита только в пределах зон катаклаза и брекчирования пород. Сами тела дацитов обычно подвержены штокверковому окварцеванию. Рудные интервалы густо насыщены кварц-антимонитовыми прожилками или представляют собой орудненную брекчу, в которой обломки дацитов сменены антимонитом. Особенностью данного типа минерализации явля-

ется строгая локализация его в пределах тел дацитов. При выходе зон дробления во вмещающие осадочные породы оруденение в них не встречается. В отдельных прожилках кварц-карбонатного состава и в самих окварцованных дацитах очень редко отмечается вкрапленность золотоносного пирита и арсенопирита.

Золото-сульфидный тип минерализации широко распространен в отложениях буконьской свиты и связан с пачкой тонкого переслаивания углисто-глинистых сланцев, алевролитов, аргиллитов и песчаников. Рудные тела сложены углистыми аргиллитами, полимиктовыми песчаниками, реже конгломератами и туфами на глинистом и углисто-глинистом цементе с богатой вкрапленностью пирита и арсенопирита; залегают они согласно с вмещающими породами. Оруденение связано как с интенсивно окварцованными и рассланцованными, так и с неизмененными, низкой степени регионального метаморфизма породами (преимущественно алевролиты). В редких случаях в последних по плоскостям рассланцовки отмечаются мелкие чешуйки вторичного золота. Оруденение в зонах распределено крайне неравномерно.

Основными структурными элементами, влияющими на размещение рудных полей, являются разломы северо-западного простириания и участки пересечения их субширотными нарушениями, где развиты линейновытянутые штокообразные тела андезит-дацитов и дацитов, переходящие иногда в лавовые потоки.

Основные рудопроявления в Жанан-Чинрауской грабен-синклинали привлечены к ее центральной части и юго-западному борту. Вдоль структуры на юго-восток интенсивность минерализации постепенно ослабевает. Все известные рудные поля расположены в местах напряженной тектонической обстановки, где наиболее близко подходят друг к другу зоны Жананского и Чинрауского разломов. На юго-востоке они расходятся, и Жананская зона затухает в районе Каскабулакской мульды. Здесь тип минерализации сменяется на медно-никелевый, связанный с недифференцированными интрузиями габбро-диоритового состава.

Второй причиной ослабления оруденения в юго-восточном направлении, вероятно, является фациальная смена пород. В разрезе начинают преобладать грубозернистые полимиктовые, вулканомиктовые песчаники и появляются кремнистые породы (сланцы, яшмокварциты) с пелитоморфными известняками в виде прослоев и линз. Встречающиеся кварцево-жильные поля являются безрудными.

Таким образом, сурьмяный тип минерализации описываемой зоны привлечены только к зонам дробления в субвулканических образованиях, огра-

ичен ими и нигде не выходит во вмещающие осадочные породы. Золотоурьмянкий тип минерализации не имеет такого четкого структурного контроля и развит преимущественно в песчано-сланцевых отложениях, как интенсивно измененных, так и неизмененных.

М.М.Казанцев

## О СВЯЗИ ФОРМЫ ХРОМИТОВЫХ ТЕЛ С ИХ ПОЛОЖЕНИЕМ В ГИПЕРБАЗИТОВЫХ ИНТРУЗИАХ КАЗАХСТАНА

С учетом научного значения и чисто практической целесообразности зучения морфологии хромитовых тел в гипербазитах Казахстана нами был собран и систематизирован материал по морфологии рудных тел известных хромитопроявлений Казахстана, являющихся одним из основных хроминоносных районов нашей страны. Хромитовое оруденение связано со значительным распространением на его территории гипербазитовых интрузивов, которые располагаются в виде многочисленных линейновытянутых поясов зон различной длины и ориентировки. В геологоструктурном отношении ни в большинстве случаев тяготеют к антиклинальным и реже синклинальным структурам, размещаясь на их крыльях и в сводовых частях, где отдельные массивы гипербазитов, по данным гравиметрических исследований Бекжанов, 1971), располагаются в зонах региональных глубинных разломов. Сложены гипербазитовые интрузивы серпентинизированными разностями перidotитов (гарцбургиты, дуниты, реже лерцолиты, верлиты); в подчиненных количествах имеют распространение пироксениты, трактолиты и абройиды (габбро, габбро-диабазы, диабазы). Возраст гипербазитовых интрузивов различный – от докембрия до среднекаменноугольного.

Наиболее крупные по масштабам месторождения хромитов в Казахстане приурочены к Кемпирсайско-Даульскому поясу гипербазитов, мелкие удопроявления известны в гипербазитовых интрузиях Сакмаро-Кокпентинского, Чу-Балхашского, Шидерты-Экибастузского, Тектурмасского, Чарского и других поясов. Все известные хромитопроявления залегают среди подунитовых и алогарцбургитовых серпентинитов, в последнем случае –

в оторочке аподунитовых серпентинитов мощностью до 1,5–2 м. Контакты хромитовых тел с вмещающими их породами, как правило, резкие, четкие. Наиболее высокие хромитовые концентрации связаны с интрузиями гипербазитов, несущих повышенную магнезиальность ( $M:F = 8:12$ ) и относящихся к хромитоносной дунит–гардбургитовой формации.

Изучение морфологии хромитовых тел в гипербазитовых интрузивах Казахстана показало, что рудные тела хромитопроявлений имеют самые разнообразные формы и образовались в различных структурно-геологических условиях. Согласно классификации форм рудных тел, предложенной А. Г. Ветхиним (1941) и дополненной новейшими данными И. И. Бек (1970), эти формы можно свести к следующим основным видам и разновидностям.

1. Тела, развитые примерно одинаково по всем трем взаимно перпендикулярным направлениям (гнезда и ширины округлых форм). Их размеры в диаметре колеблются от десятков сантиметров до первых метров. Примером могут служить рудные тела хромитопроявлений Чарского (Андреевское I, Батуриńskое, Перятинское 2, Туловойское 2 месторождения) и Чу–Балхашского (рудопроявления Кипчакбайское и Карагальское 2) гипербазитовых поясов.

2. Тела, вытянутые в двух взаимно перпендикулярных направлениях, но короткие в третьем измерении (по мощности), жилообразные, линзообразные и уплощенные ширикообразные. Имеют размеры от первых метров до первых десятков и сотен метров по простианию и до нескольких десятков метров по мощности. Примерами жилообразных тел могут служить месторождения Аксу и Кызылское 2, расположенные соответственно в Саямаро-Кокпектинском и Чарском гипербазитовых поясах. Тела линзообразной формы наиболее часто встречаются в Чарском (месторождения Сук–Булакское, Букорское 2, Перятинское I), Чу–Балхашском (Пистанское месторождение), Шидерты–Экибастузском (рудопроявления Бурунчеку, Карапулчеку), Кемпирсайско–Даульском (месторождения Комсомольское, Геофизическое III и VI) и других гипербазитовых поясах. Уплощенные ширикообразные формы имеют I видные тела месторождений Восход, Июньское, Спорное в Кемпирсайском массиве.

3. Тела, сильно вытянутые только в одном направлении и короткие в двух других – при большем или меньшем равенстве измерений в коротких направлениях (столбообразные и трубообразные) – имеющие размеры по простианию от первых десятков метров до первых километров, а в поперечнике – от первых метров до нескольких десятков метров. Примерами таких являются рудные тела месторождений Миллионное, Алмаз–Жемчужное и Первомайское в Кемпирсайском массиве.

Тела, относящиеся к первой группе, развиты на различных горизонтах интрузивов, но чаще всего тяготеют к их верхним частям (Батамшинская группа месторождений в Кемпирсайском массиве; Суук-Булакская и Буюкская группы месторождений в Чарском поясе; группа рудопроявлений Карагулечек в Шидерты-Экибастузском поясе и др.). Тела, относящиеся к второй группе, также встречаются на различных горизонтах интрузивов, но тяготеют преимущественно к средним их зонам (месторождения Комсомольское, Геофизическое III и VI в Кемпирсайском массиве). Тела, относящиеся к третьей группе, наиболее характерны для более глубоких горизонтов интрузивов и имеют отчетливую инъецированную природу (Милиционное, Алмаз-Жемчужное, Первомайское месторождения в Кемпирсайском массиве).

Рудные тела, относящиеся к первой группе, локализованы в небольших узлах тектонических нарушений без определенной строгой ориентировки последних. Тела второй группы локализованы на участках развития многочисленных, но более определенно ориентированных нарушений, а тела третьей группы — в тектонически ослабленных зонах на пересечениях немногочисленных по направлению нарушений.

Изучение морфологии хромитопроявлений показало, что в большинстве случаев все рассмотренные выше разновидности форм хромитовых тел в значительной степени усложнены изгибами, раздувами, пережимами, апофизами и тектоническими дислокациями. По характеру движений пострудные тектонические нарушения представлены сбросами и сбросоодвигами.

В.И.Кузнецов, Л.П.Ковбаш, К.А.Пелевина

## О ЖЕЛЕЗИСТЫХ КВАРЦИТАХ БЕТТАК-ДАЛЫ В ЮМНОМ КАЗАХСТАНЕ

В процессе исследований изучался район горы Домбралытау в Южном Казахстане, где железистые кварциты известны на площади 30x10 км. Здесь в 1961 году на участке "Магнитный", расположенном в пределах юго-восточной части изученной площади, была оконтурена магнитоаномаль-

ная зона северо-западного простирания с напряженностью 2500–4000 гам. Одиночными неглубокими скважинами в эпицентрах аномальной зоны были вскрыты кварц–эпидот–хлоритовые, кварц–серцит–хлоритовые и биотит–кварц–альбитовые сланцы. Природа аномальной зоны истолковывалась по-разному. Предполагалось, что скважины прошли между крутозалегающими рудными телами.

С целью установления морфологии, залегания и размеров рудоносных зон, а также для выяснения минерального состава и технологических свойств железистых кварцитов нами была обследована обнаженная площадь длиной по простиранию в 15 км, расположенная северо-западнее участка "Магнитный". На исследованной площади преобладают разнообразного состава метаморфические сланцы протерозоя, прослеживающиеся в экзоконтакте Кендирылкского массива гранитоидов девонского возраста (Маркова, 1961). На северо-востоке площади они переходят красноцветными песчаниками девона. Метаморфические сланцы от зеленовато-серого до светло- и темно-бурового цвета, листоватые, нередко с хорошо выраженной полосчатостью, вероятно, унаследованной от слоистости исходных кварцевых песчаников, имеют существенно кварцевый состав с переменным количеством альбита, биотита, мусковита, хлорита и циркона. Из наложенных процессов наиболее интенсивно и довольно равномерно проявлена хлоритизация.

Железистые кварциты залегают среди сланцев в виде сближенных в пространстве пласто- и линзообразных тел с крутыми углами падения ( $70$ – $85^{\circ}$ ) и обычно обнажаются на дневной поверхности в положительных участках рельефа с относительным превышением до 15–20 м. Оруденение в кварцитах по простиранию и вкрест слоистости весьма неравномерно – от убогого до богатого. Иногда оконтуриваются кругонаклоненные столбообразные обособления руд. Наибольшим распространением пользуются полосчатые руды с чередованием рудных минералов и кварца. Реже встречаются неяснополосчатые и массивные (сплошные) руды.

Рудные минералы представлены мартитом, который пользуется наибольшим преобладанием (до 60%) и характеризуется простыми изометрическими формами зерен, гематитом, а также гидроокислами железа. Размеры их в поперечнике от 0,2–0,5 до 1 мм и редко более. Гематит присутствует в количестве от 1 до 15–20%. Четко выделяется гипогенный и гипергенный. Гематит первой генерации пластинчатый и тонкодисперсный, обуславливает полосчатость руд и имеет размеры зерен 0,02–0,04 мм. Вторая генерация представлена пластинками и тонкими табличками с размерами зерен до 0,3 мм в поперечнике. Магнетит встречается в виде оста-

точных зерен в мартите и очень редко образует их агрегатные скопления с размерами зерен от 0,4 до 1,0 мм. Под микроскопом в сплошных мартитизированных рудах зерна магнетита не имеют четких обособлений. Содержание магнетита в рудах колеблется от 1-2 до 25-30, редко достигает 40%. Гидроокислы железа, представленные гетитом и гидрогетитом, наблюдаются лишь в виде небольших расплывчатых обособлений.

Из нерудных минералов в кварцитах явно преобладает кварц, представленный двумя разновидностями. К первой относятся изометричные, чуть вытянутые по сланцеватости зерна кварца с размерами 0,5-1,0 мм, слагающие основную массу пород. Вторая разновидность характерна для контактов с рудными прослойками, где наблюдается перекристаллизация кварца, сопровождающаяся новообразованием более крупных (0,1-0,3 мм) призматических зерен его вокруг магнетита. Кроме того, довольно часто обособляется жильный кварц. Плотность различных разновидностей руд от 2,44 до  $3,32 \text{ г/см}^3$ , магнитная восприимчивость, за крайне редким исключением, опускается до  $350 \cdot 10^{-6}$  СГС и обычно колеблется в пределах  $800-1000 \cdot 10^{-6}$  СГС, а по единичным образцам сплошных руд получены значения, достигающие  $16200 \cdot 10^{-6}$  СГС.

Для установления принципиальной возможности обогащения железистых кварцитов в отделе обогащения КазИМСа Б.А.Каримовым испытывались три частные пробы, обработанные по общепринятой методике. Химическими анализами (%) в них соответственно определено: железа общего - 27,3, 28,3 и 25,0; окиси марганца 0,029, 0,026 и 0,027; фосфора 0,09, 0,11 и 0,11; серы 0,06, 0,13 и 0,03.

Сухой магнитной сепарацией установлено, что с увеличением напряженности магнитного поля извлечение железа в магнитную фракцию возрастает, но содержание его в концентрате уменьшается. Объясняется это тем, что в магнитную фракцию переходит часть нерудных железосодержащих минералов, а также сростки рудных и нерудных минералов. Улучшения результатов сухой магнитной сепарации следует ожидать при меньших значениях напряженности магнитного поля. Однако это несколько снизит процент извлечения полезного компонента.

Проведенные нами работы, в совокупности с более ранними, пока не дают возможности сделать однозначную оценку промышленной значимости бетпаудалинских железистых кварцитов. Тем не менее их минеральный состав и результаты технологических исследований позволяют рассчитывать на возможность получения высококачественных концентратов (при мокрой магнитной сепарации). Поэтому оценочные работы в данном районе следует продолжить.

Анализ опубликованных и рукописных геологических материалов по

железистым кварцитам Южного Казахстана и более северных районов позволяет говорить о том, что от изученной нами площади, находящейся в пределах Чуйского геоантиклинального поднятия, железистые кварциты прослеживаются прерывистой полосой до Карсактайских железорудных месторождений и далее на север в Приишмье, где в последние годы выявлено несколько перспективных месторождений и рудопроявлений (Аштасты, Мирное и др.). На сегодня в этой полосе, протяженностью до 1000 км, выявлены и с различной детальностью изучены многочисленные месторождения и рудопроявления. Необходимо систематически и планомерно изучать не только бетпаидалинский район, но и все указанные полосы с одновременным проведением более углубленных исследований обогатимости руд. Наибольший интерес должны представлять участки железистых кварцитов, подверженные высокотемпературному прогреву, главным образом в экзоконтактах интрузивов. На таких участках исходные гематитовые кварциты преобразованы в существенно магнетитовые. Пока это явление зафиксировано лишь на южном (описанный нами участок) и северном (Аштастинское месторождение) окончаниях упомянутой полосы железистых кварцитов. Но, судя по данным магнитометрических съемок, перекрывших разрозненные площади железистых кварцитов, возможно выявление и нескольких других подобных участков. Поэтому есть все основания надеяться, что за счет легко обогатимых железистых кварцитов существенно магнетитового состава в ближайшие годы будет значительно расширена железорудная база черной металлургии Казахстана.

А.Г.Ванчугов

### О ПРИРОДЕ СЛАБОИНТЕНСИВНЫХ МАГНИТНЫХ АНОМАЛИЙ НА НЕКОТОРЫХ ЖЕЛЕЗОРУДНЫХ МЕСТОРОЖДЕНИЯХ ВОСТОЧНОГО КАЗАХСТАНА

Как известно, при поисках месторождений железа с помощью магниторазведки основным критерием оценки перспективности аномалий являются их энергетические характеристики. Намагничиваясь под влиянием внешнего магнитного поля, магнитные руды создают собственное поле, которое

в общем случае обусловлено двумя видами намагниченности: индуктивной  $J_i$ , вызванной действием современного геомагнитного поля, и остаточной  $J_p$ , приобретенной в предшествующее геологическое время. Связь между напряженностью аномального поля и магнитными свойствами может быть приближенно выражена формулой  $Z = 2\pi(J_i + J_p)$ . Индуктивная и остаточная намагниченности – величины векторные, но направления их векторов практически не совпадают. Причем если вектор  $J_i$  ориентирован в направлении современного намагничивающего поля, то направление вектора  $J_p$  может быть самым различным, существенно зависящим от регенерации и изменения руд наложенным процессами гидротермального метаморфизма, метасоматоза, динамометаморфизма при складкообразовании и т.п. Если вектор остаточной намагниченности направлен противоположно индуцированному и по величине превосходит последний, то наблюдаемое магнитное поле будет обратного знака (как например на Ангаро-Илимских железорудных месторождениях). Поэтому слабая интенсивность магнитного поля не всегда может быть признаком "безрудности" аномалий. Это подтверждается результатами проведенных нами исследований на некоторых железорудных месторождениях Восточного Казахстана.

На Чесноковском месторождении магнетитовых кварцитов (Восточно-Казахстанская область) напряженность аномалий обычно колеблется в пределах 1000–3000 гамм. По данным количественной интерпретации, магнитное поле объясняется безрудными возмущающими объектами с расчетной магнитной восприимчивостью  $3000-10000 \cdot 10^{-6}$  СГС. Фактически же объекты представлены в основном сильномагнитными разностями магнетитовых кварцитов, восприимчивость которых изменяется в пределах  $30000-80000 \cdot 10^{-6}$  СГС. Такое несоответствие объясняется компенсацией индуцированного намагничения остаточным. Одновременно с этим разнополярность остаточной намагниченности оказывает влияние и на соотношение ширины аномалий с мощностью рудных тел. Например, судя по максимальным градиентам, на северном фланге аномалии над пятым рудным телом имеет ширину 5 м, а вскрытая видимая мощность руд фактически в пять раз больше – 25 м, что, по-видимому, обусловлено суммарным аномальным эффектом от противоположно намагниченных объектов.

Описанные явления могут быть вызваны: переменным залеганием рудных тел (от восточного до вертикального и обратного западного), наличием послерудных разломов и неравномерным метаморфизмом руд.

На Таловском месторождении магнетитовых кварцитов (Восточно-Казахстанская область) разнополярность остаточной намагниченности рудных

тел обуславливает смену знака магнитных аномалий по простирианию. Так на северо-западном фланге месторождения руды отмечаются интенсивной положительной аномалией ( $16000$  гамм), постепенно затухающей и переходящей на его юго-восточном фланге в отрицательную, с напряженностью около  $-3000$  гамм. Остаточная намагниченность руд юго-восточного фланга месторождения имеет как северо-западное, так и северо-восточное склонение (данные замеров по ориентированным образцам руд). Причем для первого из них характерно отрицательное наклонение ( $-5 \pm -42^\circ$ ) и высокие значения  $J_n$ , достигающие  $252000 \cdot 10^{-6}$  СГС, для второго — положительное наклонение ( $+I \pm +44^\circ$ ) и величина намагниченности, не пре- восходящая  $61000 \cdot 10^{-6}$  СГС. Но поскольку выявленная здесь аномалия имеет отрицательный знак, рудные тела в целом, видимо, имеют обратную намагниченность.

Обратное направление вектора остаточной намагниченности данного месторождения, как и вышеописанного Чесноковского, скорее всего обусловлено перемагничиванием отдельных участков рудных тел под влиянием наложенных процессов метасоматоза и динамометаморфизма при складкообразовании. На это указывает слабый метаморфизм руд и пологое (до  $40-50^\circ$ ) падение к востоку рудных тел на северо-западном фланге и более интенсивный метаморфизм руд и кругое обратное падение их на юго-востоке.

Если на рассмотренных месторождениях железистых кварцитов Восточно-Казахстанской области наблюдается смена полярности намагниченности и знака аномалий чаще по простирианию рудной зоны, то на Карлыбулакском месторождении скарново-магнетитовых руд (Семипалатинская область) смена полярности аномалий происходит в основном вслед простириания скарново-рудных зон. Изучение магнитных свойств показало, что у руд, отмечающихся положительной аномалией, векторы остаточной намагниченности направлены обычно в нижнее полупространство и в верхнее<sup>\*</sup> — у руд, фиксирующихся отрицательной аномалией. Нормально намагниченные руды имеют величину остаточной намагниченности  $800-92000 \cdot 10^{-6}$  СГС при наклонении  $+II \pm +23^\circ$ , обратно намагниченные — соответственно равны  $4900-72000 \cdot 10^{-6}$  СГС и  $-5I \pm -83^\circ$ . Вероятно, руды на месторождении первоначально были намагниченны нормально. Но претерпев интенсивный прогрев и перекристаллизацию вдоль контактов с послерудными дайковыми телами, отдельные рудные участки перемагничились под влиянием полей, создаваемых менее измененными рудными телами, и приобрели обратную намагниченность. В то же время магнитная восприимчивость тех и других руд отличается незначительно и имеет интервал изменения ( $20000-$

$30000 \cdot 10^{-6}$  СИС).

Общей особенностью большинства месторождений и рудопроявлений Восточного Казахстана является то, что их руды часто представляют собой синхронные среднедевонскому вулканизму образования типа железистых кварцитов, во многих случаях сильно регенерированных и измененных гидротермальным метаморфизмом, метасоматозом и динамометаморфизмом при складкообразовании. Все это создало определенные трудности в изучении их геологического строения, интерпретации физических полей и расшифровке перспектив. Но, вместе с тем, хорошая обнаженность рудных тел некоторых месторождений позволяет выполнять здесь разнообразные углубленные геофизические исследования, высокой эффективности которых в других железорудных районах добиться трудно.

Учет этих фактических данных расширяет площади поисковых работ на железо в Восточном Казахстане и позволяет объективнее оценить перспективы каждого изучаемого железорудного объекта.

О.А.Сокольников

### СВЯЗЬ РУДОЛОКАЛИЗУЮЩИХ СИСТЕМ И ПОСТРУДНОЙ ТЕКТОНИКИ НА МЕСТОРОЖДЕНИИ КАРАГАЙЛЫ-АКТАС

Карагайлы-Актасское рудное поле расположено в Северной структурно-фацальной зоне Тянь-Шаня (Юный Казахстан). Рудовмещающими породами являются мраморизованные известняки и доломиты, прорванные дайкой альбитизированных гранитов со следами тектонических перемещений на контактах. Рудные тела представлены кварц-полевошпатово-слюдяными жилами и прожилками с кассiterитовой и вольфрамитовой минерализацией. Рудное поле приурочено к узкому (2-3 км) грабенообразному блоку, ограниченному крутыми субширотными разломами раннекаледонского заложения. Разрывные нарушения меньшего масштаба (Юный разлом) определили границы локально опущенных блоков, соответствующих грабенам более высоких порядков. Эти нарушения в настоящее время представлены зонами интенсивного смятия, где породы рассланцованны, раздроблены и подверглись гра-

фитизации, окжелезнению, окварцеванию. Падение зон ( $60\text{--}70^\circ$ ) — на юг.

В результате перемещений по Южному разлому на рудном поле были заложены две системы оперяющих нарушений. Первая ориентирована в северо-западном направлении ( $285\text{--}310^\circ$ ) с падением на юго-запад под углами  $50\text{--}90^\circ$ , вторая — в северо-восточном направлении ( $60\text{--}70^\circ$ ) с падением на юго-восток под углами  $50\text{--}70^\circ$ . По классификации Ф.И. Вольфсона нарушения первой системы следует отнести к трещинам отрыва, второй — к трещинам скола.

К северо-западной системе относится Центральный разлом, явившийся основной дайколовокализующей, впоследствии рудораспределяющей (по В.И. Смирнову) структурой. Северо-восточная система разломов является естественной границей месторождения Карагайлы-Актас и рудопроявлений "Новый" и "Восточный".

Длительная геологическая история разноориентированных систем разрывных нарушений вызвала их неоднократное подновление, сопровождающее внедрением даек кислого состава и перемещениями по ним отдельных блоков пород. Последнее, в свою очередь, приводило к образованию трещинных систем оперяющего характера по отношению к сместителям — Центральному и субпараллельному ему (участок "Восточный") разломам. На одном из ранних этапов развития эта трещинная сеть явилась локализатором рудоносных растворов и определила основные морфоструктурные особенности месторождения. Последующие тектонические подвижки привели к перемещению отдельных участков рудных тел и месторождения относительно друг друга и образованию пострудных оперяющих нарушений, в значительной степени завуалировавших трещинную сеть рудного этапа.

Отсутствие на месторождении четко выраженной минералогической зональности предопределило изучение характера пострудной трещиноватости как основы для выявления положения смещенных частей месторождения относительно друг друга по вертикали. Границами последних явились разломы северо-восточного простираия. Наблюдения над зеркалами скольжения тектонитов Центрального разлома позволили однозначно классифицировать взаимное перемещение пород висячего и лежачего боков, определить близкий к вертикальному сдвиг пород лежачего бока разлома по отношению к висячему вниз и в юго-восточном направлении. К подобным же выводам приводят наблюдения над характером выклинивания борозд, оставленных галькой известняков в тектонитах Центрального разлома.

Угловое несогласие между положением сместителя и плоскостью перемещения пород (зеркала скольжения) невелико (около  $5^\circ$  в горизонтальной и вертикальной плоскостях). Построение диаграммы распределение

ния пострудных трещин на месторождении позволило выделить локальные максимумы трещиноватости. Последняя наиболее широко развита в диапазоне, определяемом азимутами линий падения  $208\text{--}230^\circ$  и углами падения  $58\text{--}78^\circ$ . Данная величина по моделям тектонических перемещений Ф.И. Вольфсона (1953) и с учетом указанной выше ориентировки смесителя (Центрального разлома) соответствует области развития трещин отрыва. Это подтверждается текстурными особенностями трещин, указанной ориентировкой: их приоткрытостью, неровной зернистой поверхностью и отсутствием следов перемещений.

Построение диаграммы распределения рудных жил на месторождении также позволило выделить локальные максимумы рудолокализующей трещиноватости (азимуты линий падения  $210\text{--}230^\circ$ , углы падения  $52\text{--}75^\circ$ ), которые практически полностью соответствуют ориентировке пострудной трещиноватости.

Совпадение ориентировки двух сдвинутых относительно друг друга во времени оперюющих трещинных систем при наличии долгоживущего смесителя предопределяет единство причин их образования. Это позволяет классифицировать тектонические перемещения этапа рудообразования как сбрососдвиг по Центральному разлому в юго-восточном направлении. В этом случае максимум рудолокализующей трещиноватости соответствует области распространения оперюющих трещин отрыва. Последнее подтверждается результатами наблюдения над гранями рудолокализующей трещины (жилы № 341), определившими направление растягивающего усилия по азимуту  $220^\circ$  при угле вводдения  $10^\circ$ .

Проведенный анализ позволил однозначно подойти к решению ряда вопросов, связанных с геологией и разведкой месторождения Карагайлы-Актас.

О.А.Сокольников, В.А.Бирюлин

## ИЗМЕНЧИВОСТЬ ОРУДЕНЕНИЯ НА КАРАГАЙЛЫ-АКТАССКОМ МЕСТОРОЖДЕНИИ

Месторождение Карагайлы-Актас расположено в Северной структурно-формационной зоне (Тянь-Шаньский подвижный пояс). Рудовмещающими породами являются мраморизованные известняки и доломиты среднего-верхнего кембрия, а также прорывающая их в западной части месторождения дайка альбитизированных гранитов. Оруденение представлено развитыми в известняках и гранитах кварц-полевошпат-топаз-слюдяными жилами и прожилками с кассiterитом и вольфрамитом. Здесь же развиты два пространственно строго локализованных типа оруденения: рудные тела первого представлены жильными зонами штокверкового типа в альбитизированных гранитах дайки, тяготеющими к ее висячemu боку (Западный участок), второго - жилами в мраморизованных известняках (Восточный участок).

Различная степень изученности месторождений указывает на необходимость анализа изменчивости на ее различных структурных геолого-промышленных уровнях (по терминологии А.Б.Каждана). В качестве таковых принимались уровни разведочного горизонта и рудного тела (уровни продуктивной зоны и продуктивной залежи). Различие в морфоструктурных типах руд предопределяет проведение анализа раздельно по Восточному и Западному участкам.

Величина шага наблюдений для построения вариаграммы по простиранию разведочного горизонта принималась равной наименьшему расстоянию между разведочными выработками на горизонте (20 м). Аналогичная величина для построения вариаграммы вкрест простирания горизонта определялась преобладающим размером сечки опробования (1 м).

Практически все вариаграммы, полученные по Западному участку месторождения, следует отнести к второму типу (по классификации Ж.Матерона). Они характеризуют изменчивость содержания полезного компонента как "непрерывную в среднем".

Вариаграммы изменчивости оруденения вкrest простирания Восточного участка относятся к четвертому типу вышеуказанной классификации. Изменчивость оруденения по простиранию этого участка (из-за недостаточности разведочных пересечений) определена как случайная путем сопоставления ряда параллельных вариаграмм, ориентированных вкrest простирания рудолокализующих структур участка.

При анализе изменчивости оруденения на уровне рудных тел авторы выделяют два аспекта: 1) изменчивость рудных тел по положению в пространстве; 2) изменчивость содержаний полезных компонентов в рудном теле. Анализ первого из них базировался на выявлении литологического и структурного контроля оруденения (взаиморасположение рудоконтролирующих структур и механических свойств пород). Морфологические отличия в строении рудных тел, заключенных в дайке альбитизированных гранитов и в мраморизованных известняках обусловлены физико-механическими свойствами горных пород: крепостью, вязкостью, пористостью, степенью удельного сопротивления на разрыв и срез и т.д. Наиболее благоприятными породами месторождения для образования довольно выдержанной трещинной сети оказались известняки, тогда как в гранитах руды локализуются в мелких, невыдержаных, сближенных трещинах.

При анализе изменчивости содержаний полезных компонентов в рудных телах выделяются два момента: 1) изменчивость в зависимости от ориентировки рудовмещающих элементов; 2) характер изменчивости в попречных сечениях этих элементов и по их простиранию. Определение изменчивости производится раздельно для рудных зон и жил.

Изменение содержаний олова и трехокиси вольфрама не обнаруживает какой-либо значительной корреляционной связи с ориентировкой жил и прожилков. Изучение изменчивости содержания по простиранию рудных зон Западного участка месторождения из-за малого количества сивозных пересечений заключалось в сопоставлении вариаграмм, полученных по направлению мощности зон. Вариаграммы изменчивости содержания вкrest простирания рудных зон следует отнести к промежуточному между третьим и четвертым типами с явным преобладанием последнего. Вариаграммы третьего типа, не проходящие через начало координат, отражают резкую локальную изменчивость признака и соответствуют пространственным переменным, не обладающим непрерывностью даже в среднем (эффект самородков). На глубинных горизонтах месторождения развита чисто случайная изменчивость.

О характере изменчивости содержаний полезных компонентов в попречных сечениях рудных жил Восточного участка судить трудно в связи с их малой мощностью. Вариаграммы, полученные по простиранию разведенных

рудных жил свидетельствуют о чисто случайном характере изменчивости оруденения.

Таким образом, чисто случайная изменчивость оруденения в рудных телах месторождения Карагайлы-Актас на уровне разведочного горизонта приобретает достаточно отчетливо выраженную закономерную составляющую. Это позволило выбрать рациональную методику расчета плотности разведочной сети для стадий предварительной и детальной разведки месторождения.

В.А.Глаголев, Ю.А.Назаров

(ПЛАСТООБРАЗНАЯ ЗОНА ДРОБЛЕНИЯ В ПЕСЧАНИКАХ ТАСКУДУКСКОЙ СВИТЫ В РАЙОНЕ МЕСТОРОЖДЕНИЙ ДЖЕЗКАЗГАН И ДЖЕЗДЫ (ЦЕНТРАЛЬНЫЙ КАЗАХСТАН))

Во время полевых работ 1973 года в таскудукской свите нижнего карбона, слагающей северо-восточный борт Кумолинской синклинали, обнаружены тонкие линзы черно-бурых песчаников, оказавшиеся при микроскопическом изучении пластообразными зонами дробления. Установлено три пластообразные линзы ( $0,2 \times 50$  м), находящихся на одном стратиграфическом уровне и залегающих согласно с вмещающими породами.

Пластообразные зоны резко отличаются от всех других структур таскудукской и джезказганской свит раздробленностью и относительной выдержанностью. Они тяготеют к близко расположенным тектоническим разломам меридионального направления, осложняющим северо-восточный перегиб борта синклинали. На прямолинейных участках бортов подобных структур не обнаружено. Черно-бурые и вмещающие их серовато-бурые песчаники сложены одинаковым среднезернистым кластическим материалом полимиктового состава. Зерна кварца и полевого шпата регенерированы и корродированы карбонатным и железистым веществом цемента и, позднее, рудным минералом группы псиломелана. В черно-бурых песчаниках цемент и зерна плагиоклаза почти полностью замещены рудным минералом. Первоначальный состав цемента пока не установлен. В серовато-бурых песчаниках рудных минералов в цементе

значительно меньше, они только в некоторых местах замещают первичный регенерационно-поровый карбонатно-железисто-кремнистый цемент, незначительно корродируя обломочные зерна. Проникновения рудного вещества по трещинам в обломочные зерна не отмечается. Спектральный анализ черно-бурых песчаников показал повышенное в 10-20 раз, по сравнению с другими песчаниками таскудукской свиты, содержание марганца, бария и меди. Локальный спектральный анализ рудных минералов в полированном шлифе также установил присутствие в них меди (до десятых долей процента). Аналогичная закономерность установлена Б.У.Урумбаевым для марганцевых руд месторождения Джезды. В песчаниках других горизонтов таскудукской и джезказганской свит такой связи между содержаниями марганца, бария и меди не установлено.

В зоне соприкосновения черно- и серовато-бурых песчаников трещины, раскалывающие породу, параллельны их контакту. По мере удаления от последнего, в пределах 10 мм, ориентировка трещин становится все более беспорядочной. Обе разновидности песчаников несут следы воздействия стресса в виде структур деформации в зернах кварца и полевого шпата. Составлена диаграмма ориентировок трещин пластинок деформации в кварце и поверхности напластования. Направление структур деформации в зернах черно- и серовато-бурового песчаников идентично. Анализируя эти структуры, можно высказать предположение о направленности вектора тектонического напряжения, по-видимому, совпадающего с направлением трещиноватости (Г.Д.Ажгирей, 1966; J.M.Christe, C.B.Raleigh, 1959). Трещины в черно-буровом песчанике можно классифицировать как трещины отрыва.

Четкая взаимосвязь ориентировок деформационных пластинок в кварце и трещин, разбивающих породу, говорит о том, что процесс дробления шел в породе, прошедшей стадию диагенеза: в пластическом осаде образование структур деформации в зернах кристаллов или согласованное растрескивание их невозможно. Это позволяет нам сделать вывод об эндогенном ее образовании. Однако однозначно определить причину образования такой зоны дробления пока не представляется возможным. Воз действие тектонических процессов несомненно, они послужили лишь необходимым, но отнюдь не достаточным условием проявления дробления в столь четко ограниченном слое.

Факт возможности образования подобных зон дробления представляет значительный интерес, если учесть широкое развитие в Центральном Казахстане стратиформных месторождений и рудопроявлений, в образовании которых, по К.И.Сатнаеву (1936-1961), послойные нарушения игра-

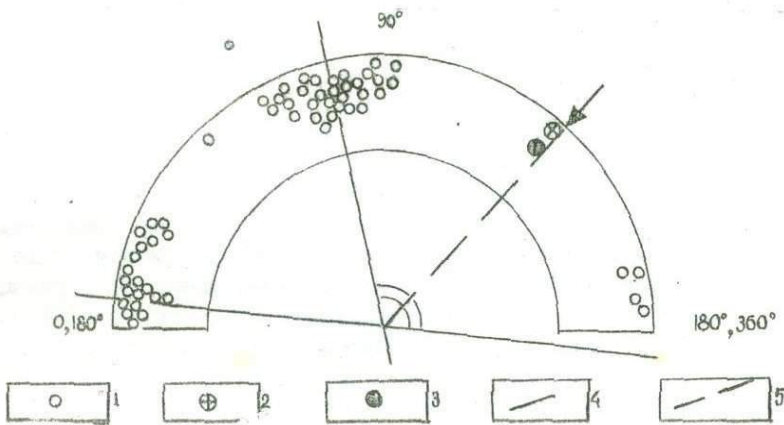


Рисунок. Ориентировка поверхностей трансляций в плоскости случайно ориентированного среза:  
 1 - ориентировка поверхностей трансляций; 2 - ориентировка линий контакта бурых и буровато-серых песчаников; 3 - общая ориентировка трещин в зернах кварца; 4 - усредненная ориентировка поверхностей трансляций; 5 - вектор тектонического напряжения

ли значительную роль. На большое рудоконтролирующее значение внутри межпластовых зон нарушений для Джезказганского месторождения указывали С.Ш.Сейфуллин и Н.Н.Нуралин (1964).

В.А.Бирюлин

### ОПРЕДЕЛЕНИЕ ИЗМЕНЧИВОСТИ ОРУДЕНЕНИЯ НА МЕСТОРОЖДЕНИИ ГРЕХОВСКОЕ II

Полиметаллическое оруденение месторождения Греховское II на Рудном Алтае имеет прожилково-вкрашенный характер. Геологические границы рудных тел отсутствуют, а промышленные контуры оруденения устанавливаются по данным опробования. Рудные тела имеют пластовые и линзообразные формы (по данным буровых скважин), а вскрытие их подземными горными выработками позволило выявить весьма прихотливую, с многочисленными заливами и апофизами, конфигурацию.

Для анализа соответствия принятой разведочной сети морфоструктурным особенностям рудных тел месторождения выбрано наиболее характерное по своим осредненным параметрам рудное тело А, имеющее форму сильно вытянутой ветвящейся линзы. На ранних стадиях работ разведка осуществлялась буровыми скважинами по сети 100x100 м с последующим сгущением (особенно на верхних горизонтах) до 50x50 м. Месторождение относили к второй группе по сложности разведки. Впоследствии, с развитием горных работ, это положение было пересмотрено и оно было отнесено к третьей группе.

Горные работы проводились по сети 30-40 x 50 м (при высоте этажа 45 м). На первом горизонте пройдены квершилаги через 100 м, орты из рудных штреков проходились через 30-40 м. На втором горизонте был пройден капитальный квершилаг, а из него по рудным телам велись рудные штреки, орты из которых проходились через 30 м.

Анализ распределения свинца, цинка и меди на планах опробования горизонтов горных выработок и разрезах проводился по классам содержаний, выделенным по вариационным кривым.

Внутри рудных тел четко выделяются участки, своими очертаниями отвечающие форме линз, чечевиц и линейновытянутых зон с повышенным содержанием полезных компонентов. Встречаются прослои пустых пород.

Распределение свинцового оруденения сложное. Части раздувы рудных тел. В плане их размеры по простирианию не превышают 70–80 м. Наблюдается четкая перемежаемость руд (в среднем 30,8 м) с различными содержаниями свинца. Ровнее распределен цинк. Размеры обогащенных зон (длина по простирианию) достигают 110–115 м (в среднем 89 м). Богатые медью участки в пределах рудных зон встречаются редко. Их размеры не превышают 10–20 м (в среднем 14,3).

По вертикали анализ распределения содержаний производился по разрезам. При достаточно густой сети выработок участки богатых руд имеют гораздо большие размеры, чем по простирианию (170–175 м). Средние их размеры по падению: для свинца – 102, для цинка – 39, для меди – 50 м. Проведенный анализ позволяет говорить о том, что в вертикальном измерении размеры зон превышают их размеры по простирианию и что степень изменчивости тел по простирианию выше, чем по падению.

Одним из методов изучения изменчивости признака являются методы геостатистики (Ж.Матерон, 1968). Анализировались вариаграммы, построенные по сечениям рудного тела А. Они отстраивались по данным опробования сквозного пересечения: на оси абсцисс откладывается шаг наблюдений  $d$  в метрах, на оси ординат фиксированные значения дисперсии логарифмов содержаний  $\sigma^2$  (их разность для каждого шага наблюдений). Обычно вариаграмма представляется возрастающей функцией шага наблюдений  $d$ .

Вариаграммы по горизонтам принадлежат к линейному типу с незначительной тенденцией к случайному, построенные по падению – к ярко выраженному линейному типу. Вариаграммы по горизонтали и вертикали отличаются также и углами наклона. Горизонтальные графики синтезировались один на поллографическом бланке.

Проведенные исследования позволяют еще раз убедиться в том, что в изменчивости линейного запаса рудного тела А явно имеется анизотропия: степень изменчивости по простирианию в 2 раза выше, чем по падению тела. Это находится в полном соответствии с результатами анализа распределения полезных компонентов по горизонтам горных работ и разрезам. Выявленная анизотропия в схеме изменчивости рудного тела связана с удлинением богатых (бедных) "окон" по падению. Значит, в рудном теле рудообразующие минералы компонуются в кругопогружающиеся рудные столбы небольших размеров, которые в плане, примыкая друг к другу,

находясь параллельно, кулисообразно заходя друг за друга, образуют линейновытянутую рудную зону, имеющую крайне неровные очертания.

Проведенный анализ позволяет рекомендовать изменение формы разведочной сети, принятой на месторождении (сеть с соотношением сторон 2:1, из которых большая расположена по падению тела на всех стадиях изучения месторождения). Это позволит резко снизить имеющиеся расхождения в увязке рудных тел по данным буровой и горной разведки.

В.М.Чернов

### О ВЗАИМООТНОШЕНИИ КВАРЦЕВОЖИЛЬНОГО И ШТОКВЕРКОВОГО МОЛИБДЕНОВОГО ОРУДЕНЕНИЯ В ВОСТОЧНО-КОУНРАДСКОМ ГРАНИТНОМ МАССИВЕ

Восточно-Коунрадский гранитный массив имеет изометричную форму, расположен в Северо-Западном Прибалхашье, сложен мелко- и среднезернистыми гранитами предположительно пермского возраста, прорезан дайками гранит-порфиров, диоритовых порфиритов и жилами аплитов. В массиве широко развиты кварцевые жилы с молибденитом, вольфрамитом и висмутином, а также многочисленные мелкие кварц-молибденитовые прожилки, образующие штокверк.

Восточно-Коунрадское месторождение представлено монометальными молибденитовыми жилами субширотного и северо-западного направлений и многочисленными кварц-молибденитовыми прожилками. Наиболее интересной представляется здесь часть штокверка, расположенная между кварц-молибденитовыми жилами 4I, 47, 60 и 63.

Северо-Коунрадское месторождение приурочено к трещинной зоне северо-западного направления, почти параллельной северо-восточному контакту гранитного массива с вмещающими породами. Представлено оно жилами северо-западного и северо-восточного направлений, несущими молибден-вольфрам-висмутовое оруденение, где также установлено наличие кварц-молибденового штокверка.

На Восточном (горизонты II0, 220 и 290 м) и Северном Коунrade

(горизонты 80 и 150 м) было произведено соответственно по 750 и 450 замеров элементов залегания трещин отдельности в гранитах и такое же количество замеров кварц-молибденитовых прожилков. Анализ построенных полосных диаграмм трещиноватости показал, что совпадение элементов залегания трещин в гранитах кварц-молибденитовыми прожилками наблюдается только в 20–25% случаев. Очевидно, только эти 20–25% наложенных трещин, заполненных жильным кварцем, являются эндокинетическими. Рудные жилы как Восточного, так и Северного Коунрада по положению в пространстве не совпадают с трещинами отдельности в гранитах и с кварц-молибденитовыми прожилками штокверка, а секут их. Следовательно, кварц-молибденитовые прожилки обоих месторождений образовались несколько позже рудоносных жил. Структурная связь между кварц-молибденитовыми прожилками штокверка и рудными жилами Восточного и Северного Коунрада или не устанавливается или отсутствует. Вероятно, это самостоятельныерудовмещающие структуры, образовавшиеся одновременно и при различно направленных деформирующих усилиях.

Наряду со сходствомrudовмещающих структур рассматриваемых месторождений, наблюдается существенное различие в количественном отношении оруднения. По данным опробования Восточно-Коунрадского молибденового штокверка, 80% проб имеет повышенное и практически интересное содержание, а в штокверке Северного Коунрада повышенное содержание имеет лишь 30% проб. Столь резкое различие близко расположенных месторождений, находящихся в одинаковых геологических-структурных условиях, объясняется, вероятно, приуроченностью их к различным интрузивным фазам вмещающих пород.

Л. Г. Николаев

О РАСПРЕДЕЛЕНИИ СЕРЕБРА, ЗОЛОТА И ОВ ИХ ОТНОШЕНИИ  
НА ЗОЛОТУШИНСКОМ КОЛЧЕДАННО-ПОЛИМЕТАЛЛИЧЕСКОМ МЕСТОРОЖДЕНИИ  
(РУДНЫЙ АЛТАЙ)

Закономерности распределения золота и серебра в рудах, измененных породах и основных рудообразующих минералах полиметаллических и золото-рудных месторождений отражены в многочисленных работах (Goldschmidt, Peters, 1932; Шербина, 1956; Бакенов, 1961; Красников, 1965, 1967; Boyle, 1968; Хетагуров, 1969; Беспаев, Пронин, 1970; Амирян, Тунян, 1971; Сибириков, Вендики и др.). Серебро-золотое отношение в них рассматривается как геохимический индикатор оруденения. Мы попытались проследить изменение этого показателя и средних содержаний золота и серебра в однотипных рудах и метасоматитах Золотушинского месторождения на четырех гипсометрических уровнях.

Полученные результаты базируются на большом числе пробирных и количественных спектрографических анализов, чувствительность которых равна: на золото - 0,2 и 0,005 г/т, на серебро - 0,2 и 0,1 г/т. Пробы отбирались по керну буровых скважин на четырех горизонтах месторождения. На каждом из них в рудах и породах подсчитывались среднеарифметические содержания серебра и золота. Величина отношения этих элементов определялась как частное от деления средних содержаний.

Оруденение Золотушинского месторождения сформировано в три последовательные стадии: дорудную гидротермально-метасоматическую, медно-колчеданную и полиметаллическую. В первую из них вмещающие породы подверглись интенсивным изменениям: серпентинизации, хлоритизации, окварцеванию и пиритизации. С медноколчеданной стадией связано отложение существенно медных, медноколчеданных и медно-цинковых, а с последней - полиметаллических и барит-полиметаллических руд. Процесс минералооб-

разования завершился формированием кварц-карбонатных прожилков, не носущих сульфидного оруденения.

Золото и серебро встречаются во всех типах руд и измененных породах. Распределение их удовлетворительно аппроксимируется логнормальным законом. Вариационный размах содержаний весьма значителен: для серебра от 0,1 и менее до 1 : 100 г/т, для золота — гораздо ниже. Оба элемента преимущественно концентрируются в полиметаллических и барит-полиметаллических рудах. Содержание золота и серебра в них соответственно в 20 и 100 раз выше, чем в метасоматитах. В последних количество благородных металлов превышает их кларковые содержания. С глубиной от первого горизонта к четвертому концентрация серебра в однотипных рудах заметно падает (рис. I, 2). Наиболее резко это проявлено в сплошных разновидностях руд. На нижнем горизонте его обычно в 2–3 раза меньше, чем на верхнем, что обусловлено уменьшением в рудах количества галенита и блеклых руд и повышенным содержанием халькопирита. Так же отчетливо (в 4 раза) снижается к последнему горизонту сереброносность дорудноизмененных пород. Понижение концентраций серебра с глубиной во вкрашенном оруденении выражено нечетко, но более однообразно. Содержание золота в рудах на глубоких горизонтах месторождения, наоборот, существенно возрастает (см. рис. I, 2). Исключение составляют лишь метасоматиты и сплошные руды полиметаллической стадии. Золотоносность первых, близкая к среднему значению, остается примерно одинаковой на всех уровнях месторождения. Объем и состав руд с глубиной заметно изменяются. В сплошном полиметаллическом оруденении увеличивается количество меди и понижается — свинца и цинка, а барит-полиметаллические руды ниже третьего горизонта практически полностью отсутствуют. При этом, если в первых концентрация золота с глубиной возрастает, хотя и с некоторыми отклонениями, то во вторых она вначале увеличивается, а затем снижается. Наиболее контрастно в сравнении со сплошным возрастает содержание золота во вкрашенном оруденении.

Аналогично средним содержаниям элементов распределены на перечисленных горизонтах отношения золота и серебра к сумме цветных металлов. С глубиной относительное количество серебра отчетливо снижается, а относительное количество золота ведет себя сложнее, но, в целом, имеет тенденцию к увеличению.

Минимальная величина серебро-золотого отношения установлена в измененных породах. На последнем горизонте месторождения она почти не отличается от среднего значения (20) для земной коры.

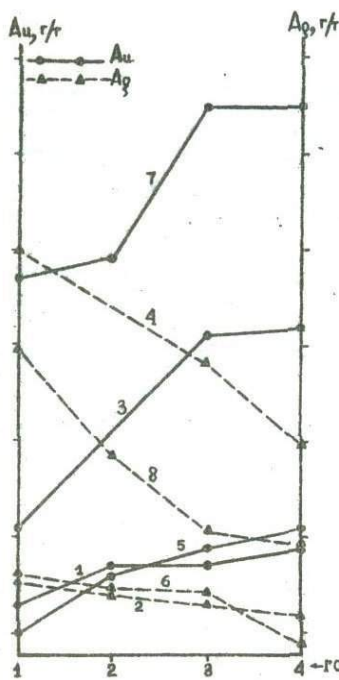


Рис. 1. График зависимости содержаний Au и Ag от глубины залегания руд медноколчеданной стадии. Медноколчеданные руды: 1, 2 - вкрапленные; 3, 4 - сплошные; медно-цинковые руды: 5, 6 - вкрапленные; 7, 8 - сплошные

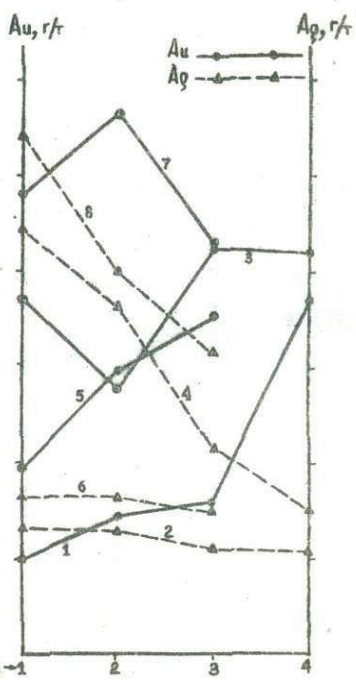


Рис. 2. График зависимости содержаний Au и Ag от глубины залегания руд полиметаллической стадии. Полиметаллические руды: 1, 2 - вкрапленные; 3, 4 - сплошные; барит-полиметаллические руды: 5, 6 - вкрапленные; 7, 8 - сплошные

Зависимость отношений Ag/Au от глубины  
залегания пород и руд

Типы руд, породы	Изученные горизонты месторождения			
	первый	второй	третий	четвертый
Измененные породы	82,0(70)	63,3(13)	35,0(240)	22,0(5)
Медно-колчеданные	Вкрашенные	II8,5(42)	82,3(16)	77,6(269)
	Сплошные	238,1(4)	-	93,4(64)
	Среднее по рудам	I22,7(46)	92,5(18)	81,8(333)
Медно-цинковые	Вкрашенные	I61,0(I7)	92,5(21)	75,8(II8)
	Сплошные	84,3(5)	58,2(I4)	31,8(37)
	Среднее по рудам	I20,6(22)	69,7(35)	53,0(I55)
Полиметаллические	Вкрашенные	I31,5(66)	90,0(52)	69,1(I40)
	Сплошные	I20,1(67)	I31,8(II8)	50,1(I42)
	Среднее по рудам	I25,1(I33)	I24,9(I70)	55,4(282)
Барит-полиметаллические	Вкрашенные	426,2(22)	281,0(4)	226,0(36)
	Сплошные	329,4(20)	229,8(44)	267,3(21)
	Среднее по рудам	360,3(42)	231,3(48)	243,6(57)

Примечание: в скобках - количество проб

Низкое серебро-золотое отношение характерно также для сплошных медно-цинковых руд. Величина его близка таковой в метасоматитах. Очевидно, к концу медноколчеданной стадии при возрастающем количестве золота привнос серебра гидротермальными растворами был незначительным. В од-

нотипных рудах серебро-золотое отношение в одних случаях выше во вкрашенных, в других - в сплошных разновидностях. В барит-полиметаллическом оруденении эта величина максимальна. По мере увеличения глубины залегания руд и измененных пород отношение Ag/Au резко снижается (в 2,5-4,5 раза).

Установленное распределение благородных металлов на месторождении обусловлено различием их геохимических свойств: окислительно-восстановительных потенциалов, степени диссоциации соединений элементов, их летучести и т.д. (Шербина, 1956). На характер распределения золота и серебра также большое влияние оказали тектоническая обстановка формирования оруденения, изменение физико-химических параметров состояния: температуры, давления, концентрации металлов в растворах и пр. Полученные данные позволяют по-новому подойти к оценке серебро- и золотоносности глубоких горизонтов месторождения. Резкое снижение содержаний серебра в рудах и измененных породах с глубиной однозначно свидетельствует о невозможности обнаружения здесь сереброносных руд. Контрастное возрастание концентраций золота во вкрашенных рудах и широкое развитие последних на нижних горизонтах указывают на вероятность продолжения на глубину вкрашенного золотоносного оруденения. Результаты исследования могут быть также использованы при усовершенствовании схем технологической переработки руд.

К ВОПРОСУ О ФОРМАХ НАХОЖДЕНИЯ ЦИНКА В ГИДРОТЕРМАЛЬНО-ОСАДОЧНЫХ РУДАХ И ИХ ПЕРВИЧНЫХ ОРЕОЛАХ МЕСТОРОЖДЕНИЯ  
ДАЛЬНЕЗАПАДНЫЙ ЖАЙРЕМ

Нами рассматриваются формы нахождения цинка в разрезе гидротермально-осадочных руд месторождения Дальнезападный Жайрем, которое является типичным представителем месторождений атасуйского типа с совмещением гидротермально-осадочных свинцово-цинковых (седиментные, первый тип) и гидротермально-метасоматических (второй тип) цинково-свинцово-баритовых руд. Первый тип руд располагается на флангах, второй - в центре месторождения, образуя сложные взаимные переходы с расплывчатыми границами. Изучаемые руды первого типа имеют сфалерит-пиритовый состав с подчиненным количеством галенита, барита и халькопирита. В основном они цинковые и в меньшей мере - свинцово-цинковые; текстуры слоистые, ритмично-слоистые и вкрашенные. Руды чрезвычайно тонкозернистые, характеризуются тесным срастанием минералов (Митряева и др., 1967).

Изучению подлежали не затронутые последующими процессами рудообразования и гипергенеза гидротермально-осадочные руды и их надрудные и подрудные ореолы (мощность до 115 м) по скв. 3039 и руды по скв. 2611 разреза-XIV<sup>A</sup>. Всего изучено 17 проб с определением цинка - валового, сульфидного (сфалерит), окисленного (смитсонит, каламин) и изоморфного - по методике В.А.Бухаровой (1971). Содержание валового цинка в ореолах колеблется от 0,034 до 0,672% и в рудах - от 1,16 до 14,78%. Для контроля химически разделенные фазы цинка повторно анализировались количественным спектральным методом с чувствительностью 0,001%. Сходимость результатов анализов удовлетворительная. Статистическая обработка результатов анализов заключалась в определении относительного процентного содержания каждой минеральной фазы цинка в единичных пробах и в отдельных интервалах, а также в исследовании распределения частного между отношениями содержаний цинка сульфидного и изоморфного (таблица).

Таблица

Распределение минеральных форм нахождения цинка в разрезе гидротермально-осадочных свинцово-цинковых руд месторождения Дальнезападный Жайрем

Характеристика интервала	Содержание цинка, отн.%			Отношение сульфидного цинка к изоморфному
	Сульфидная форма	Оксисленная форма	Изоморфная форма	
Надрудные ореолы, скв. 3039	79,8	10,7	9,5	8,4
Руды седиментные свинцово-цинковые, скв. 3039	73,0	4,0	23,0	3,2
Подрудные ореолы, скв. 3039	73,8	9,5	16,7	4,4
Руды седиментные свинцово-цинковые, скв. 26II	78,0	3,2	18,8	4,2

Анализ распределения по вертикали сульфидной составляющей цинка показал (см.табл.), что она незначительно преобладает в надрудных ореолах (79,8 отн.%) при равенстве ее в рудах и подрудных ореолах соответственно 73 и 73,8 отн.%. Она является основной формой нахождения цинка. При этом в ореолах абсолютные содержания цинка сфалерита колеблются в пределах  $n \cdot 10^0 - n \cdot 10^1$ % и довольно закономерно возрастают в направлении к рудам, принимая в последних значения  $n \cdot 10^0 - n \cdot 10^1$ %. Среднее содержание цинка сфалерита имеет большую дисперсию в надрудной части и монотонное увеличение от 55 до 94 отн.% в подрудной. Аналогичные данные о доминирующей роли сульфидной формы нахождения широкого круга элементов в первичных ореолах получены по колчеданным месторождениям Малого Кавказа, Урала и Алтая (Карпухина, Баранов, 1972).

Оксисленная составляющая играет незначительную роль в локализации цинка руд. В ореолах ее содержание равно 0,007-0,08%, достигая 0,094% в рудах (скв. 3039). В ореолах эта минеральная форма распространяется симметрично рудным телам (надрудная часть 10,7; подрудная - 9,5 отн.%) при минимуме в рудах (4 отн.%). От периферии к центру месторождения относительное содержание ее уменьшается до 3,2 отн.% (скв. 26II). Пониженное количество цинка окисленных минералов закономерно в седиментных

рудах, расположенных вблизи гипотетического центра излияния флюидов на морское дно. В более удаленных от центра зонах возможность взаимодействия цинка со свободным кислородом была шире, поскольку состав исходного раствора менялся в сторону разубоживания и обеднения сероводородом основного осадителя цинка.

Изоморфная составляющая цинка максимально представлена в рудах (23 отн. %), а минимально — в надрудных ореолах (9,5 отн. %). Отмечается довольно четкая закономерность уменьшения этой формы находящегося цинка в первичных ореолах при удалении от рудных тел. В подрудных ореолах эта тенденция имеет даже монотонный характер, когда содержание изоморфного цинка уменьшается от 34 до 3 отн. %. Абсолютные содержания этой формы цинка в ореолах равны  $n \cdot 10^{-3}$  —  $n \cdot 10^{-2} \%$ , и только в одной пробе — 0,25%, тогда как в рудах —  $n \cdot 10^{-1}$  —  $n \cdot 10^0 \%$ . Доля изоморфной составляющей цинка при продвижении к центру месторождения уменьшается от 23 (сив. 3089) до 18,8 отн. % (сив. 26II) при резком увеличении валового содержания этого элемента. Это позволяет предположить, что большая часть изоморфного цинка входит в карбонат переменного состава типа цинкового олигонита, значительные массы которого обнаружены на продолжении сульфидных руд описываемого месторождения Дальневосточный Жайрек (Шибрек и др., 1971, 1972).

Распределение цинка в рудах показывает, что на его суммарный баланс в гидротермально-осадочных рудах главное влияние оказывают сульфидная и изоморфная формы. При этом намечается обратнопропорциональная зависимость между их содержаниями по латерали от центра месторождения к периферии. Доля цинка, заключенного в сфалерите, в этом направлении падает, и увеличивается его изоморфная составляющая. Это совпадает с данными А.А.Куденко и А.Г.Куденко (1971) по распределению минеральных форм свинца в одном из пластовых полиметаллических месторождений в карбонатных породах.

В вертикальном разрезе (надрудные ореолы-руды-подрудные ореолы) седimentных руд месторождения Дальневосточный Жайрек также отмечается обратная корреляционная связь между сульфидной и изоморфной составляющей цинка. При удалении от рудных тел первая из них растет, а вторая — уменьшается. В подрудной части отмечается увеличение (сверху вниз) относительного содержания цинка сфалерита от 55 до 94 отн. % и уменьшение изоморфной составляющей от 34 до 3 отн. %. Частное от деления относительного содержания сульфидного цинка на изоморфный (сверху вниз по рудному разрезу) имеет значения 8,4 — 3,2 — 4,4. В рудах по латерали от центра оно изменяется от 4,2 (сив. 26II) до 3,2 (сив. 3089). В целом

намечается тенденция к установлению количественного определения пространственной зональности распределения минеральных форм цинка.

Наши исследования показывают, что основными минеральными формами нахождения цинка в рудах является сульфидная и изоморфная, а в первичных ореолах — и окисленная. Содержание первых двух форм цинка в рудах и околосрудном пространстве связаны обратной корреляционной связью. От центра месторождения к периферии в гидротермально-осадочных рудах, а также в ореолах при приближении к рудным телам уменьшается доля сульфидного цинка и увеличивается количество изоморфного. Намечаются различия между надрудными и подрудными ореолами седиментных руд. В первых отношение между сульфидным и изоморфным цинком в изученной части разреза равно 8,4, а во вторых — 4,4. Эти данные имеют практическое значение, являясь одним из диагностических признаков для разбраковки геохимических аномалий в Атасуйском рудном районе.

С.И. Бурковский

#### О ФОРМАХ ПЕРЕНОСА ОЛОВА В ГИДРОТЕРМАЛЬНЫХ РАСТВОРАХ

Вопрос о формах миграции тяжелых металлов в гидротермальную стадию рудообразования остается до настоящего времени дискуссионным ввиду отсутствия твердо установленных закономерностей поведения рудных компонентов в условиях, присущих флюидному состоянию рудообразующих растворов. В настоящее время имеются данные о метаколлоидных структурах кассiterита, что позволяет предполагать участие рудного компонента в коллоидном состоянии при образовании оловянных месторождений (Чухров, 1955; Илинский, 1955). Важным аргументом в пользу этого является то, что олово относится к так называемой "гидролизатной" группе элементов, имеющих сравнительно высокие заряды и небольшие радиусы, что обуславливает довольно сильные их поляризующие свойства. Последнее, вместе с наличием свободных ячеек на электронных орбитах, служит причиной образования оловом сложных алю- и гидроксокомплексов, разно-

видностью которых являются координационные высокополимеры (многоддерные комплексы), образующиеся при гидролизе (Бурков, 1968). Как отмечает Г.Хелгессон (1967) и А.А.Геус (1963), следует ожидать усиления способности к комплексообразованию и полимеризации у элементов "гидролизаторов" под влиянием свойств гидротермальной среды.

В нашем сообщении отражены результаты исследований форм растворения и переноса слова в гидротермальных растворах, проводимых под руководством члена-корреспондента АН КазССР Г.Б.Жилинского.

Экспериментальное изучение системы двуокись олова + вода + карбонат натрия (калия) проводилось в автоклавах высокого давления. Насыщение карбонатного раствора рудным компонентом (оловом) при температуре 500°C и давлении 1000 атм идет в процессе растворения шихты, состоящей из синтетических кристаллов кассiterита высокой чистоты. В качестве растворителей использовались 0,5–2 М растворы  $\text{Na}_2\text{CO}_3$  и  $\text{K}_2\text{CO}_3$ . Термодинамические параметры опытов близки к условиям образования высокотемпературных оловянных руд (по данным декрепитации).

При изучении извлеченных из автоклавов растворов установлено наличие коллоидной формы растворенного олова. Исследования показали, что морфология, размер и структура коллоидных агрегатов зависят от состава раствора (таблица).

Т а б л и ц а

Состав раствора	Морфология частиц	Размер глобуль, мкм	Величина кристалликов кассiterита, образовавшихся при старении раствора (за 110 месяцев), им
0,5 М $\text{Na}_2\text{CO}_3$	Глобулярно-цепочечная	50	До 0,5
0,5 М $\text{Na}_2\text{CO}_3$ + 0,1 М $\text{K}_2\text{CO}_3$	Глобулярно-сетчатая	10	До 0,01
2,0 М $\text{Na}_2\text{CO}_3$	Глобулярно-цепочечная	150	До 0,01–0,1

Коллоидные частицы имеют глобулярно-цепочечную (рис. I) и глобулярно-сетчатую структуру. При увеличении концентрации соды в растворе растет размер глобуль, структура их при этом разрывается: в объеме глобуль при большом увеличении можно наблюдать пустоты. Добавка карбоната калия приводит к переходу от глобулярно-цепочечной к глобу-

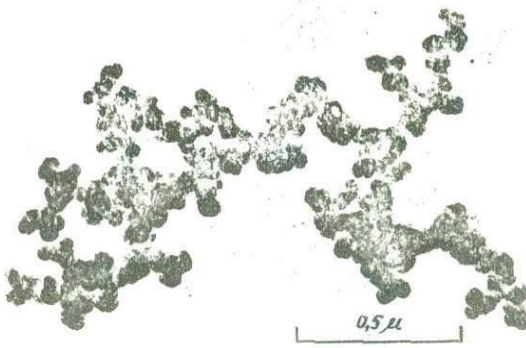


Рис. I. Глобулярно-цепочечная структура коллоидных агрегатов в растворе 0,5 М  $\text{Na}_2\text{CO}_3$

ларно-сетчатой структуре коллоидных агрегатов.

Химический состав коллоидной фазы свежеизвлеченных растворов отвечает гидратированному касситериту  $\text{SnO}_2 \cdot x\text{H}_2\text{O}$ . Первоначально коллоиды рентгеноаморфны, но уже через 10 дней в частицах появляется кристаллическая структура касситерита. С помощью электронного микроскопа на этой стадии удается наблюдать отдельные кристаллики касситерита (рис. 2). Увеличение времени "старения" коагулята в среде магочного раствора при комнатных температурах в течение 11 месяцев ведет к появлению кристаллов размером до 0,5 мм. В коллоидных осадках из растворов 0,5 М  $\text{Na}_2\text{CO}_3$  раскристаллизация протекает более интенсивно, наблюдается больше крупных кристаллов, в то время как в растворах 0,5 М  $\text{Na}_2\text{CO}_3 + 0,1$  М  $\text{K}_2\text{CO}_3$ , а также в растворах 2 М  $\text{Na}_2\text{CO}_3$  основная масса коагулята представлена мелкими кристаллами размером  $10^{-1}$ - $10^{-2}$  мм.

Полученные данные устраниют одно из противоречий в теории коллоидного переноса олова в гидротермах. Считалось, что миграция тяжелых металлов в коллоидной фазе маловероятна вследствие невозможности образования кристаллической решетки минералов непосредственно из коллоидных частиц. Наблюдаемая в опытах кристаллизация касситерита из явно коллоидного раствора положительно решает этот дискуссионный вопрос. По Балареву (Balarew, 1939), построение кристаллической решетки минера-



Р и с.2. Образование кристаллов касситерита  
(черные квадраты) при "старении" извлеченных  
гидротермальных растворов

ла в этом случае может происходить путем присоединения отдельных блоков, имеющих коллоидные размеры. Их образование идет за счет поликонденсации и последующей дегидратации полимерных гидрокомплексов олова. Сущность этого процесса становится яснее, если учитывать соответствие между структурой многоядерных комплексов в растворе и элементами кристаллической структуры окислов и основных солей, выпадающих из раствора (Sillen, 1954). Для гидрокомплексов олова такое соответствие известно (Шарко, 1972).

Предварительные результаты исследований пока не позволяют однозначно считать, что процесс отложения касситерита при высоких термодинамических параметрах происходит подобно наблюдаемому нами при нормальных условиях, хотя можно отметить и сходство. Из сообщения Фуджики (Fujiki Y., 1973) стало известно, что рост монокристаллов двуокиси олова успешно идет при  $t = 550^{\circ}\text{C}$  и  $P = 1000$  атм в карбонатных растворах при наличии перепада температур между зоной растворения и зоной кристаллизации. Предварительные исследования таких растворов И.Р.Копяткиевичем выявили наличие коллоидов олова при  $t = 500^{\circ}\text{C}$  и  $P = 1000$  атм. Можно полагать, что участие полимерных (коллоидных) форм в переносе и

отложении кассiterита не ограничивается низкотемпературной приповерхностной зоной, а может играть ведущую роль в образовании высокотемпературных месторождений глубинных зон.

В.С.Юнак

### ПЕРСПЕКТИВЫ ПОИСКОВ ПРОМЫШЛЕННЫХ МЕДНЫХ РУД Б ЮЖНОЙ ЧАСТИ СРЕДНЕ-ОРСКОГО РУДНОГО РАЙОНА

В последние годы в северной части Средне-Орского рудного района выявлен ряд промышленных медноколчеданных месторождений, тяготеющих к узлам сопряжения разноориентированных разломов и сформировавшихся либо в зонах рассланцевания ("Авангард"), либо в зонах ослабленных контактов основных и кислых вулканогенных пород силуро-девона ("50 лет Октября", "Приорское"). Продуктивная толща вулканитов южной части района к настоящему времени опрошискована остальными геолого-геофизическими работами, в результате чего выявлен ряд грави-, магнито- и электроразведочных аномалий и комплексные погребенные и эндогенные ореолы рассеяния металлов, тяготеющих к зонам контактов основных аффузивов с кислыми вулканитами либо гранитоидами. При оценке природы данных аномалий мелкометражными скважинами глубиной 40-50 м установлено, что комплексная геохимическая аномалия, выявленная в юго-восточной части района, обусловлена прожилково-вкрапленными сфалерит-халькопирит-пиритовыми рудами. Проведенные здесь работы указывают на значительное площадное развитие колчеданного оруденения, которое приурочено к зоне метасоматических переработанных базальтах. Здесь, в отдельных интервалах, содержание меди достигает I,41-I,84%.

В северо-восточной части площади в аффузивах выявлены зоны гидротермально измененных пород с сульфидной, в основном пиритовой (I-15%) минерализацией. Одной из скважин на границе коры выветривания с породами палеозойского фундамента здесь вскрыты в брекчированных базальтоидах халькозиновые руды со средним содержанием меди 3,52%.

Мы считаем, что широкое развитие в южной части Средне-Орского района зон гидротермально измененных пород при наличии дифференцированных по составу литологических разностей является благоприятным фактором для локализации медноколчеданных руд. Установленная близость денудационного среза интрузий кислого состава указывает на возможность встречи в их приконтактовых частях колчеданного оруднения. Погребенные и эндогенные ореолы рассеяния металлов и первые рудные подсечения свидетельствуют о том, что описываемая площадь является весьма перспективной для выявления промышленных колчеданных руд на глубинах более 70-100 м.

В.П.Мусихин, В.С.Дэрбенёв, И.И.Гладков

### ПРИМЕНЕНИЕ АЭРОМЕТОДОВ В РАЙОНАХ ЗАПАДНОГО ТУРГАЯ

В последние годы значительно расширены масштабы изучения районов с двух- и трехъярусным геологическим строением, в исследовании которых ведущая роль отводится интерпретации аэроматериалов. С их помощью в настоящее время решаются задачи геологического строения верхних структурных этажей и погребенного фундамента, разрабатывается методика поисков и разведки. Но если для изучения покровного чехла существует целый ряд методических разработок и содержательный литературный материал по дешифрированию, то для исследования строения погребенного кристаллического фундамента с помощью аэрофотоматериалов их крайне недостаточно. Опыт ведения специализированных работ в ходе грунтовой съемки дает возможность сделать следующие выводы.

Решение геологических задач, связанных с образованиями рыхлого покрова и погребенного фундамента на всех этапах исследований (подготовительный, предварительный, полевой и камеральный), опирается на аэрофото- и аэрогеофизические материалы и ведется по двум параллельным направлениям: по изучению чехла<sup>а</sup> и изучению фундамента.

Геологическое строение поверхности изучается с привлечением ап-

риорной информации и дэшифрированием средне-крупномасштабных аэрофотоматериалов. Последний вид работ определяет объекты, характеризующиеся своеобразным набором литологических разностей, а выяснение их состава и характера внутреннего строения дает возможность выделить ряд континентальных фаций, и тем самым конкретизировать направления поисков россыпных месторождений полезных ископаемых и сырья на стройматериалы. Разработка дэшифрировочных и ландшафтно-индикационных признаков этих фаций позволяет расширить применение их для районов сходного геологического строения данной климатической зоны.

Погребенный фундамент изучается с привлечением литературных источников и комплексированием аэрофото- и аврогеофизических материалов. При этом доминирующее положение по значимости занимает геофизическая информация. Работа же с аэрофотоматериалами проводится после предварительной оценки влияния состава и характера изображения покровного чехла на дэшифрируемость фундамента. Изучение аэрофотоснимков, хорошо отражающих погребенные разрывные и складчатые структуры и в меньшей степени литологический состав, в комплексе с интерпретацией геофизических материалов является основой для выделения интрузивных образований, с которыми связано медно-молибденовое оруденение. Кроме того, выделяются графитоносные сланцевые пачки и зоны распространения известняков, контролирующие бокситоносные фации.

Таким образом, применение аэроматериалов способствует целенаправленности геологических исследований на всех этапах работ и повышает полноту и качество геологической информации.

М.А.Алеев

ОПЫТ ИСПОЛЬЗОВАНИЯ АЭРОФОТОМАТЕРИАЛОВ  
ПРИ ПОИСКАХ ЦИРКОНИЕВО-ТИТАНОВЫХ РОССЫПЕЙ  
В АКТЮБИНСКОМ ПРИУРАЛЬЕ

Актюбинское Приуралье расположено в Уральской складчатой системе и является еще слабо изученной провинцией. Здесь нами выявлен продуктивный на комплексные циркониево-титановые россыпи горизонт, приуроченный к песчаным отложениям верхней регressiveвой части разреза алтского яруса. С ним связаны все известные и открытые титаноносные россыпи. Для выявления его перспектив могут быть успешно использованы аэрофотоматериалы, дешифрирование которых позволяет выделять площади развития продуктивных отложений.

Алтский ярус расположен в бассейне реки Илек, где он перекрыт в основном отложениями альбского яруса, выше которых на небольших площадях залегают образования мела и палеогена. Алтские отложения выходят главным образом на склонах гидрографической сети, где они местами перекрыты маломощными элювиально-делювиальными четвертичными осадками, но уверенно прослеживаются на аэрофотоснимках. Основанием для выделения продуктивного горизонта на аэрофотоснимках, служат глины, слагающие нижнюю часть яруса, отмечающиеся темным фототоном, как правило, на пологих участках склонов. С поверхности им соответствует густая сеть V-образных мелких оврагов и промоин, дающих своеобразный струйчатый фоторисунок.

Продуктивная толща, расположенная выше по разрезу, представлена светло- и желтовато-серыми кварцево-полевошпатовыми мелкозернистыми песками, отмечющимися на аэрофотоснимках серым фототоном с многочисленными мелкими светлыми "звездочками" (выбросы из нор землероев). Над песчаными отложениями отмечаются сглаженные формы рельефа с зеленой растительностью, которые имеют мелкоточечную и зернистую структуру фотоизображения. Контакт водоупорных глин и песков отмечается уве-

личением густоты растительности, что отражается на аэрофотоснимках темными полосами.

Продуктивный титаноносный горизонт почти повсеместно эрозионно перекрывается континентальными образованиями альбского яруса. Отложения низов последнего на аэрофотоснимках имеют светло-серую окраску различной тональности, зависящую от степени обнаженности. Железистые песчаники и гравелиты в подошве яруса дают на аэрофотоснимках темные полосы, соответствующие границе распространения кровли продуктивного горизонта.

По вышеописанным дешифровочным признакам можно уверенно выделить контуры титаноносных отложений и целенаправленно вести поисковые работы.

Л.З.Ахметшина

ЗОНЫ НОВЕЙШЕЙ ТЕКТОНИЧЕСКОЙ АКТИВНОСТИ  
ВОСТОЧНОЙ ПРИБОРТОВОЙ ЧАСТИ ПРИКАСПИЙСКОЙ ВЛАДИНИ  
И ИХ СВЯЗЬ С ПОДСОЛЕНЫМ ПАЛЕОЗОЙСКИМ  
СТРУКТУРНЫМ ПЛАНОМ

Нами была предпринята попытка охарактеризовать новейшую тектоническую активность восточной прибрежной зоны Прикаспийской впадины от верхнего течения реки Илек до реки Эмбы по методу В.Б.Полкановой (1970). По данному методу для изучения неотектоники используется показатель, который учитывает вертикальную и горизонтальную расчлененности земной поверхности,  $n$ .

Вертикальная расчлененность характеризуется параметром  $\frac{\Delta H}{P}$ , где  $\Delta H$  - разность высот рельефа земной поверхности в метрах,  $P$  - площадь заданного участка в кв.м. Этот параметр отражает изменения высот рельефа и позволяет выявить контуры даже небольших структурных элементов в слабо расчлененных районах.

Горизонтальная расчлененность характеризуется параметром  $\frac{L}{P}$ , где  $L$  - протяженность речной и овражной сети в метрах на исследуемом участке.

Показатель интенсивности эрозии рассчитывается по формуле:

$$\Pi = \frac{\Delta H L}{P^2}, \%$$

Определение показателя  $\Pi$  и составление соответствующей схемы проводилось следующим образом.

Среднемасштабная геологическая основа рассматриваемого района разбивались на квадраты площадью в  $36 \text{ км}^2$ . В каждом из них замерялась суммарная длина тальвегов всех водотоков и суходолов без учета извилистости (горизонтальное расчленение) и определялась разница относительных превышений самого низкого и самого высокого пунктов (вертикальное расчленение). По полученным данным вычислялся показатель  $\Pi$  для каждого квадрата.

На составленной схеме выделяются области, характеризующиеся различным эрозионным расчленением, отождествленные с зонами новейшей тектонической активности. На изученной территории нами различаются: весьма активные зоны ( $\Pi$  - выше 40%), активные ( $\Pi$  - от 20 до 40%), слабо активные ( $\Pi$  - до 20%).

В изученном районе отчетливо выделяются зоны высокой расчлененности рельефа (высокой тектонической активности) меридионального простирания, которые окаймляются зонами с минимальными значениями коэффициента эрозионного расчленения. Наиболее значительной из них является зона, расположенная в Центральной части площади, протянувшаяся почти меридионально от южного слияния рек Темир и Эмбы на север вдоль реки Темир. По весьма активному проявлению новейших тектонических движений ( $\Pi$  - от 40 до 60%) зона выступает как крупная положительная морфоструктура, выраженная в рельефе в виде кuestовых гряд и отдельных возвышенностей. Мы отмечаем дифференциацию данной зоны, выраженную в обособлении отдельных блоков, разделенных участками с относительно пониженными значениями  $\Pi$ . В ней располагаются подсолевые поднятия: Коздасай, Крыкрудук, Баркембай, Аккудук и др.

С северо-востока с описанной зоной кулисообразно сопряжена не менее ясно выраженная зона высокой тектонической активности, с меридиональной направленностью, протягивающаяся вдоль верхнего течения реки Иlek. На севере она выходит за пределы изученного района. Ее отличают меньшие размеры блоков, более четкое меридиональное простирание и резкий переход - особенно на западе - в зону малой тектонической активности. К ней приурочены подсолевые структуры: Северный Аккар, Аккемир, Новоукраинская и др.

Следующая аналогичная зона расположена вдоль реки Эмбы вблизи ее слияния с рекой Темир. Вероятно, она имеет южное продолжение за пределами изученной территории. Для нее характерны мозаичная структура, относительно небольшие размеры блоков и их различная ориентировка. В зоне располагаются подсолевые поднятия: Кумсай, Блаксай, Алибекмола, Жана-Жол, Синельниковское и др.

Последняя из крупных активных тектонических зон выделяется нами в северо-западной части изученной территории на левобережье реки Большая Хобды (верхнее течение) и отличается отсутствием определенной ориентировки и сложностью конфигурации. Подсолевых поднятий здесь не обнаружено, но можно предполагать, что они также будут иметь различные простирации.

Сопоставление схемы новейших тектонических движений со структурными картами по подсолевым опорным отражающим горизонтам " $\Pi_1$ ", " $\Pi_2$ " и " $\Pi_3$ ", составленными Актюбинской геофизической экспедицией, позволяет говорить о значительной унаследованности зон новейших поднятий от структур более древнего заложения. Так, к южной части первой из выделенных зон приурочено крупное Коздысайское подсолевое поднятие, а Темирская прибрежная зона поднятий соответствует участку с активными и весьма активными новейшими тектоническими движениями. Вместе с тем на некоторых участках наблюдается обратное соотношение – подсолевые поднятия располагаются в зоне слабой тектонической активности: Болгарская, Перелюбовская, Североостанская и другие структуры.

Проведенные исследования показывают, что нефтегазоносные структуры (Кенкияк, Акжар, Остансук, Жана-Жол) в новейший этап тектогенеза испытывали подъем и приурочены к активным зонам или участкам. Последние, как известно, должны быть и наиболее перспективными в нефтегазоносном отношении, поэтому установленная связь подсолевых структур с зонами новейших поднятий позволит более рационально подойти к выбору объектов под поисковое бурение.

Таким образом, на восточном берегу Прикаспийской впадины выделены зоны с различной степенью проявления новейшей тектонической активности, выявлена их связь с зонами развития подсолевых палеозойских структур. Нефтегазоносные структуры приурочиваются к активным зонам, и это должно учитываться при выборе объектов под поисковое бурение.

А.В.Шуликовский, Н.С.Шуликовская

## О ПЕРСПЕКТИВАХ РУДНОСТИ ВОСТОЧНОГО ФЛАНГА ГРЕХОВСКОГО РУДНОГО ПОЛЯ (РУДНЫЙ АЛТАЙ)

В результате наших исследований, с учетом проведенных прогнозно-оценочных работ на полиметаллическое оруденение в Зыряновском районе (А.К.Каюпов, А.М.Марьин, А.И.Мысник и др., 1973), было установлено следующее.

Изученный участок расположен на юго-восточном замыкании Ревнинского консепментационного купольного поднятия, осложненного здесь палеоподнятиями (складками типа "структурных носов" и "гребней") в сочетании с напряженными линейными и брахиформными складками нескольких порядков.

По нашему мнению, в локализации полиметаллического оруденения изученного объекта главная роль принадлежит ряду факторов, анализ которых позволяет выработать критерии поисков руд, не выходящих на дневную поверхность. Среди них выделяется стратиграфический контроль оруденения, выражавшийся в том, что все известные на фланге и месторождении рудопроявления локализуются в узком стратиграфическом интервале, располагаясь на трех уровнях: средне-верхнеревнинском, в разрезе алевролитовой пачки ревнинской свиты; ревнинско-маслянском, в зоне контакта туфогенно-песчанниковой пачки ревнинской свиты и известковисто-алевролитовой пачки маслянской свиты; нижнемаслянском, в разрезе нижней и средней части известковисто-алевролитовой пачки маслянской свиты.

Литологический контроль выражен в преимущественной локализации оруденения в составе тонкообломочных пачек ревнинской свиты (в области контакта их с резко контрастными по вещественному и гранулометрическому составу отложениями - туфами, туфопесчаниками и т.п.) и известковисто-алевролитовой пачки маслянской свиты (служивших своеобразными экранами для рудоносных растворов).

Магматический контроль обнаруживается в приуроченности большинства рудных тел и проявлений полиметаллической минерализации к телам порфиров зыряновского комплекса. При этом к кровельным частям порфировых залежей и к фронтальным областям торфировых колонн тяготеет оруденение со значительными концентрациями руд, а к внутренним частям порфировых колонн – области рассеянной минерализации. Следует отметить пространственно-структурную, хронологическую связь богатого оруденения с поздними послегранитными дайками южного состава.

Палеоструктурный контроль отражен в четкой приуроченности основных месторождений рудного поля и перспективных рудопроявлений его восточного фланга к палеоподнятиям типа "структурных носов" и "гребней", осложняющих Ревнинское купольное поднятие. В этом плане Греховское палеоподнятие, очевидно, явилось важным структурным элементом, локализующим полиметаллическое оруденение.

Структурный контроль устанавливается по стабильной связи оруденения с крутопадающими северо-западными и субмеридиональными зонами разрывов и с участками перекрещивания и сопряжения разломов нескольких направлений (чаще двух: субмеридионального и субширотного). Последние, по-видимому, оказывали рудоконцентрирующее влияние на рудоносные растворы. По нашему мнению, важная роль в рудолокализации принадлежит участкам резкого "ныряния" (под углом 60–80°) слоев рудовмещающего комплекса отложений в виде флексур древнего заложения ("пороговые структуры"), поперечных к линейным складкам. Так в местах пологопогружающегося шарнира Восточно-Греховского палеоподнятия возможно наличие лентовидных залежей, а области "структурного порога" ожидается наличие крутосклонящихся рудных лент (столбов).

Таким образом, наличие полиметаллического оруденения, не получившего окончательной оценки, имеющиеся геохимические и геофизические аномалии, в совокупности с вышеперечисленными факторами, благоприятными на локализацию значительных концентраций полиметаллических руд, позволяют нам положительно оценить восточный фланг Греховского рудного поля и выделить участки, заслуживающие первоочередного геологического определения.

Н.Б. Иванов

К ВОПРОСУ О ВЗАИМООТНОШЕНИЯХ БИОТИТИЗИРОВАННЫХ  
И КВАРЦ-МИКРОКЛИНОВЫХ ПОРОД С ПОЛИМЕТАЛЛИЧЕСКИМ  
ОРУДЕНЕНИЕМ В ЦЕНТРАЛЬНОЙ ЧАСТИ ГРЕХОВСКОГО  
РУДНОГО ПОЛЯ

Изучение взаимоотношений биотитизированных и калишпатизированных пород с оруденением имеет важное значение для познания возраста и генезиса полиметаллических месторождений на Рудном Алтае. Эти процессы впервые были отмечены на Зыряновском месторождении П.В. Еремеевым (1898) и А.Н. Завариковым (1911), а в последствии изучались М.Г. Хисамутдиновым (1956, 1959). Причем вначале им была высказана мысль о гидротермальной природе биотитизированных и калишпатизированных пород (Хисамутдинов, 1956; Хисамутдинов, Ляхшикская, Демидова, 1956), но в последующих работах эти породы рассматривались как продукты контактового метаморфизма.

Ореолы биотитизированных пород и отдельные тела кварц-микроклиновых (реже существенно микроклиновых) пород на Греховском рудном поле известны давно, хотя оно удалено от крупных известных и изученных интрузий. По нашим данным, бурением глубоких скважин не подтверждается представление о том, что биотитизация нарастает с глубиной. Это позволяло предположить наличие под Греховским рудным полем скрытой интрузии. Кровля биотитизированных пород повсеместно погружается под зоны развития метасоматитов хлоритового и кварц-серпентитового состава, вмещающих полиметаллическое оруденение. Биотит, развитый здесь, представлен флогопитом и переходными разностями от флогопита к истонит-сидерофиллиту. С минералами, непосредственно сопутствующими оруденению, биотит обнаруживает следующие взаимоотношения: близость по времени образования с хлоритом; биотит корродирует минералы парагенезиса кварц+серпентит; рассечение биотита сульфидными минералами удавалось наблюдать редко. Зональность околоврудных изменений,

установленная нами по ряду скважин, выглядит следующим образом: зона биотита, лишенная практически рудной минерализации; зона хлорита с сопутствующей ему минерализацией меди (реже меди и цинка); зона серицита и кварца, которым сопутствует свинцово-цинковая минерализация.

Несколько неясна позиция кварц-микроклиновых пород, которые слагают систему жил меридионального простирания на юго-востоке от Снегиревского месторождения. Зона этих пород не вскрыта буровыми работами. Тем ни менее, мы считаем, что формирование ореолов биотитизированных пород и образований кварц-микроклинового состава взаимосвязано. Весьма возможно, что кварц-микроклиновые породы слагают "калиевое ядро" зоны околоврудных метасоматических изменений рудовмещающих пород.

На основании имеющихся материалов можно сделать следующие выводы.

Образование биотитизированных и кварц-микроклиновых пород в центральной части Греховского рудного поля скорее всего не связано с контактовым воздействием гипотетических скрытых интрузий. Мы склонны рассматривать эти породы как результат воздействия интрапеллурических калиевых, затем железо-магнезиально-калиевых растворов, на которые затем было наложено оруденение. Таким образом, образование ореолов биотитизации и кварц-микроклиновых пород в данном случае непосредственно связано с процессом рудообразования и предшествовало стадии рудоотложения.

Уместно будет отметить, что М.Г.Хисамутдинов, И.В.Лихницкая, Т.Я. Демидова в 1956 году указывали на "... возможный гидротермальный характер биотитизации..." на Греховском рудном поле. Флогопит они прямо связывали с проявлением четвертой стадии гидротермального метаморфизма (по их классификации), что соответствует калиевому метасоматозу. Однако во всех последующих работах М.Г.Хисамутдинова мы не находим развития этих положений. Между тем, сходные выводы и наблюдения в настоящее время сделаны В.А.Верещагиным на Тишинском месторождении Лениногорского района Рудного Алтая.

Очевидно, что в силу сложности проблемы изучения взаимоотношений полиметаллического оруденения с продуктами железо-магнезиально-калиевого метасоматоза в каждом конкретном случае (на каждом конкретном рудном поле) необходим особый подход. Иначе, при широкой распространённости процессов биотитизации и калишпатизации на рудных полях Зириновского района, нам для объяснения этого явления придется предполо-

жить, что под каждым рудным полем располагается скрытая интрузия, которая в свое время "подогревала" это поле.

В.К.Кошелев

ПОВЫШЕНИЕ ГЕОЛОГО-ЭКОНОМИЧЕСКОЙ ЭФФЕКТИВНОСТИ  
ГЕОХИМИЧЕСКИХ РАБОТ ПУТЕМ ПРИМЕНЕНИЯ МАТЕМАТИЧЕСКИХ  
МЕТОДОВ И ЭВМ В КАСТЕНСКОМ РУДНОМ ПОЛЕ  
(ЮЖНЫЙ КАЗАХСТАН)

В настоящее время ведутся поиски резервов повышения эффективности геохимических работ и способы использования их. Немаловажная роль в решении проблемы принадлежит математическим методам и ЭВМ. Однако, как показывает практика, возможности последних реализуются далеко не полностью, что связано в первую очередь с недооценкой их экономической роли.

В математической партии Центральной геохимической экспедиции составлен ряд программ по использованию математических методов при построении геохимических карт. Одной из них является программа по алгоритму Р.И.Дубова "Расчет относительной удельной перспективности, средних значений концентраций и среднеквадратических отклонений по скользящему окну". Данная программа позволяет не только вычислить, но и вычергить с помощью графопостроителя "Атлас" карты средних значений концентраций, среднеквадратических отклонений и относительной удельной перспективности (1965, 1968).

Вычисление дисперсии их среднеквадратического отклонения дает дополнительные важные сведения для анализа результатов геохимических съемок и изучения перераспределения вещества в процессах рудообразования (Р.Дубов, 1969).

Имеет большое значение также оценка перспективности районов вероятностным способом, что позволяет вычислить, какая доля проб должна иметь высокие концентрации. Перспективностью пространства для поисков какого-либо элемента названо математическое ожидание количества этого

элемента в пробах, в концентрациях выше некоторого минимально благоприятного (промышленного) значения. Р.И.Дубовым (1965) показано, что это количество может быть принято приближенно пропорциональным величине:

$$\Pi' = S \int_{C_0}^{\infty} CP(C) dC ,$$

где  $S$  - изучаемая площадь (в случае опробования трехмерного пространства берется  $V$  - объем),  $C_0$  - "благоприятные" концентрации, свидетельствующие о наличии промышленного оруденения.  $P(C)$  - здесь плотность вероятности встречи концентраций  $C$ . Величина  $\Pi'$  названа относительной перспективностью площади (объема), а  $\Pi_y'$  - это относительная удельная перспективность, приходящаяся на единицу площади или объема.

$$\Pi_y' = \frac{1}{S} \int_{C_0}^{\infty} CP(C) dC$$

Величина  $\Pi_y'$  имеет размерность концентрации. При построении карт для цветных металлов, редких и рассеянных элементов, распределенных приближенно по логарифмически-нормальному закону, применяется расчетная формула:

$$\Pi_y' = \frac{1}{2} \exp\left(\bar{x} + \frac{\sigma^2}{2}\right) \left[ 1 - F\left(\frac{x_0 - \bar{x} - \sigma^2}{\sqrt{2}\sigma}\right) \right] ,$$

$$\text{где } \bar{x} = \frac{1}{n} \sum_{i=1}^n \ln C_i = \frac{1}{n} \ln \left( \prod_{i=1}^n C_i \right) = \ln \bar{C} ,$$

$$x_0 = \ln C_{m0} ,$$

где  $C_{m0}$  - минимальная благоприятная концентрация,  $n$  - число точек опробования, попавших в окно.

$$\begin{aligned} \sigma &= \sqrt{\frac{1}{n-1} \left[ \sum_{i=1}^n (\ln C_i)^2 - n \bar{x}^2 \right]} \\ F\left(\frac{x_0 - \bar{x} - \sigma^2}{\sqrt{2}\sigma}\right) &= \frac{2}{\sqrt{\pi}} \int_0^{\frac{x_0 - \bar{x} - \sigma^2}{\sqrt{2}\sigma}} e^{-t^2} dt \end{aligned}$$

- табулированный интеграл (одна из разновидностей интеграла вероятностей). Формула выведена на основании учета концентраций и среднеквадратических отклонений с признаком им автоматически той значимости, которая соответствует оценке их действительной роли.

По приведенным формулам можно видеть зависимость перспективности от совокупности параметров. В частности, если  $\bar{C} \ll C_0$ , то при максимальной дисперсии максимально и значение входящего в формулу интеграла, определяющего перспективность. Если же  $\bar{C} \gg C_0$ , то при малой дисперсии практически весь объем опробования является промышленным, а увеличение дисперсии приводит к образованию доли непромышленных концентраций. Повышение  $\bar{C}$  при неизменной дисперсии всегда увеличивает перспективность.

Иллюстрацией могут послужить результаты обработки данных по свин-

ци металлогеометрических съемок участка Кастек, расположенного в южных отрогах хребта Заилийского Алатау. Этому рудному полю соответствует группа ореолов /16 кв.км/, характеризующаяся общим повышенным содержанием свинца (более 0,002%) и серебра (более 0,00002%) в рыхлых образованиях. Оруденение крайне неравномерно, что затрудняет его прослеживание и оконтуривание.

На схеме изоконцентраций свинца участка Кастек отмечается большое количество разрозненных, небольших по размерам аномалий с содержанием свинца в них до 2,2%. При рассмотрении их не представляется возможным сделать каких-либо выводов о целесообразном распределении объемов детальных работ, так как обычно рекомендуется проверять все аномалии, превышающие уровень их "минимально-аномальных" значений. Следуя этому положению, на половине всего участка (около 16 кв.км) необходимо было бы вновь провести площадные детальные работы, учитывая большое количество аномалий и их разбросанность. Но известно также, что полученные в результате съемки значения концентраций осложнены помехами, которые дезориентируют исследователей в направлении дальнейших работ (Дубов, 1968).

С целью подавления помех и получения достоверных геохимических полей проведено усреднение по скользящему окну и вычислена удельная перспективность участка. Шаг скольжения, обеспечивающий перекрытие двух профилей при движении окна с запада на восток, а также более половины точек отбора при его движении с севера на юг, был признан оптимальным при данных условиях. На карте относительной удельной перспективности (на свинец) отчетливо выделяются 6 аномальных областей, которые можно пронумеровать в порядке убывания интенсивности (I - с максимальной градацией  $1000 \cdot 10^{-4}\%$ ; II -  $300 \cdot 10^{-4}\%$ ; III, IV -  $100 \cdot 10^{-4}\%$ ; V, VI -  $30 \cdot 10^{-4}\%$ ) (рисунок). Аномальные области III, IV, V и VI одинаково интенсивны, разграничить их по одной лишь карте относительной удельной перспективности трудно, но они уверенно ранжируются при сравнении карт средних значений концентраций, среднеквадратических отклонений логарифмов концентраций и относительной удельной перспективности.

Получается, что для подтверждения перспективности данного участка необходимо провести детальные работы в вышеуказанных аномальных зонах: I -  $I \times I$ ; II -  $I,5 \times 0,8$ ; III -  $0,8 \times 0,8$ ; IV -  $0,6 \times 0,6$ ; V -  $0,8 \times 0,5$ ; VI -  $0,7 \times 0,5$  км. Общая площадь детальных работ на всех участках составляет 4 кв.км. В то же время при использовании типовой методики проверки аномалий, как было указано выше, объем детальных работ возрастает в данных условиях в 4 раза. При этом работы следует начинать

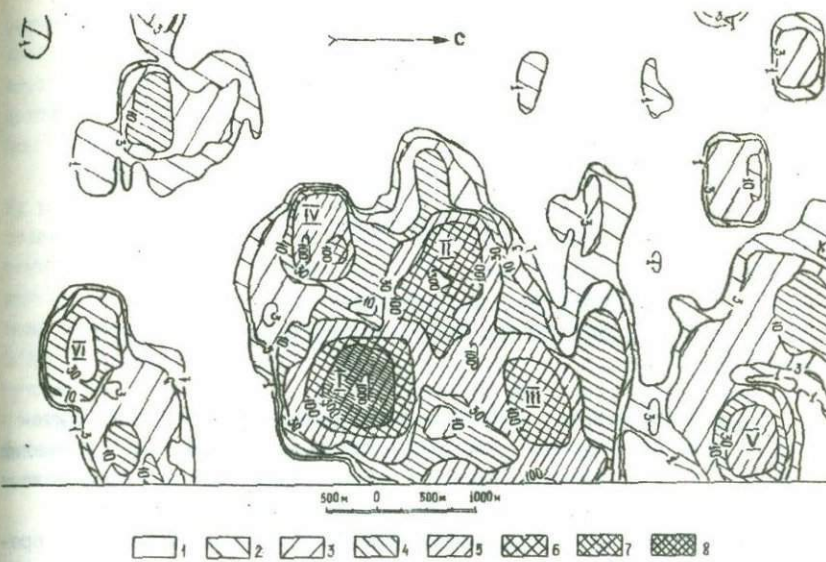


Рисунок. Карта относительной удельной перспективности на свинец.  
Размер "скользящего окна" 750x500 м.

$C_6 = 100 \cdot 10^{-4} \%$ . Области перспективности в  $10^{-4} \%$ : I - < I; 2 - от I до 3; 3 - от 3 до 10; 4 - от 10 до 30; 5 - от 30 до 100; 6 - от 100 до 300; 7 - от 300 до 1000; 8 - > 1000

с наиболее интенсивных аномалий. При получении отрицательных результатов, остальные, более слабые аномалии, в таких же геологических условиях могут не изучаться.

В результате проведенных исследований появилась возможность судить о поведении геохимического поля на всем участке, выделить ряд аномальных зон с максимальными значениями концентраций ( $100-1000 \cdot 10^{-4} \%$ ) свинца, что, в свою очередь, позволило более целенаправленно распределить объемы детальных работ и снизить их стоимость в 4 раза.

М.С.Рафаилович

ОТНОШЕНИЕ ЗОЛОТА К СЕРЕБРУ В ЭЛЮВИО-ДЕЛОВИИ  
КАК ИНДИКАТОР ПЕРСПЕКТИВНОСТИ ОРЕОЛОВ РАССЕЯНИЯ ЗОЛОТА

Из огромного числа аномалий, выявляемых в процессе литохимических съемок, лишь единицы отвечают промышленно интересному оруденению. В связи с этим проблема разбраковки ореолов рассеяния металлов остается весьма актуальной и требует пристального изучения.

Расшифровка ореолов рассеяния, формирующихся в благоприятной среде (активная денудация, небольшая мощность элювио-делювия, отсутствие экранирующих горизонтов), затруднения не вызывает. Методика их интерпретации хорошо разработана и отражена в работах А.П.Соловова (1965, 1966). В настоящее время возникает необходимость создания качественно новой методики интерпретации ослабленных и частично погребенных ореолов. Определенные работы в этом направлении ведутся сотрудниками ЦГЭ (А.И.Карцов, А.С.Малахов) и кафедры геохимии МГУ (А.П.Соловов, А.А.Матвеев и др.).

Автором сделана попытка использования золото-серебряного отношения в рыхлых отложениях для оценки ослабленных ореолов этих металлов в горно-луговых ландшафтах Заилийского Алатау. В качестве примера выбрано одно из рудопроявлений района. Золото-сульфидное оруденение наложено на гранат-пироксеновые скары, метасоматически развивающиеся по известнякам и известковистым алевролитам. Для рудных тел участка характерно закономерное изменение отношения золота к серебру: в бедных рудах, где содержание металла минимальное, среднее отношение составляет 1:4; для руд со средними содержаниями оно равно 4:1; с высокими и "ураганными" – 15-36:1.

На площади рудопроявления отмечаются два элементарных ландшафта: благоприятный для литохимического опробования (водоразделя, склоны южной экспозиции) и малоблагоприятный – склоны северной экспози-

зий с повышенной мощностью (3–5 м) чехла рыхлых отложений. В первом ландшафте ореолы золота и серебра характеризуются высокой контрастностью, во втором они резко ослаблены, имеют малые размеры, слабо контрастны, а ореолы рассеяния меди и мыльяка оказались в погребенном состоянии.

По участку подсчитаны коэффициенты пропорциональности  $K$  по золоту и серебру. Они оказались равными соответственно 0,23 и 0,17; сопоставимые величины  $K(Au)$  и  $K(Ag)$  свидетельствуют о близком поведении этих элементов в зоне гипергенеза. Учитывая вышеотмеченную особенность закономерного изменения золото–серебряного отношения в рудах, составлена геохимическая карта этих отношений для покрова рыхлых отложений. Области повышенных значений ( $Au/Ag \geq 2$ ) четко контролируют известные рудные тела. Аналогичные по интенсивности аномалии зафиксированы на площади развития аллохтона (неблагоприятного ландшафта). Горными работами при оценке этих аномалий (Кастекская партия ЦГХЭ, 1973) под наносами вскрыто три золотоносных горизонта скарнов.

Таким образом, для разбраковки аномалий и расширения перспектив известных проявлений золота в зоне субальпийских лугов Заилийского Алатау целесообразно использование  $Au/Ag$  в эловио–деловии.

А.М. Гинатулин, В.В. Толочко

### МЕРЫ РАЗЛИЧИЯ КАК СПОСОБ ОБОВЩЕНИЯ МНОГОМЕРНОЙ ИНФОРМАЦИИ В ГЕОХИМИИ

В настоящее время при интерпретации материалов спектрального анализа геохимических проб преобладающая часть геохимических сведений об объекте практически не учитывается. Так, при составлении геохимических коэффициентов, как правило, используется не более 4–6 химических элементов. Исключаемые из рассмотрения компоненты несут соответствующую информацию об объекте и должны быть использованы при решении геологических задач. Выбор метода анализа геохимических материалов, позволяющего учесть все имеющееся разнообразие признаков,

является актуальной задачей.

Авторы исследовали возможность применения ряда мер различия (расстояние по Эвклиду и некоторые другие) с целью оценки уровня среза рудной зоны по геохимическим ореолам Иртышского полиметаллического месторождения на Алтае. Работа выполнена в двадцатидицмерном признаковом пространстве. Поскольку абсолютные значения отдельных признаков (например, содержание элементов-спутников) на один порядок и более отличаются от содержаний рудообразующих элементов, для выравнивания влияния всех признаков введены соответствующие коэффициенты. В частности, введен коэффициент 10 к содержаниям серебра, кобальта и молибдена.

Пригодность мер различия для оценки уровня среза окорудных геохимических ореолов определялась следующим образом. Аномальная зона условно делилась на 5 эталонных частей, соответствующих разным уровням месторождения (от верхнего до нижнего). Далее определялись средние значения признаков в пределах каждого эталона. Из материала нескольких скважин, пересекших окорудный ореол, создавались экзаменационные выборки, по каждой из которых находились средние значения тех же признаков. Далее с применением ЭВМ "Мир-2" оценивались меры различия конкретной экзаменационной выборки с каждым из эталонов. По величине меры определялся эталон, более всего похожий с данной выборкой. Поскольку ответы были известны априори, не трудно было оценить правильность распознавания. О хорошем качестве решения поставленной задачи можно судить по его результатам: из 81 распознаваемой выборки правильно диагностировано 74 (92% правильных ответов). Для сравнения укажем, что лучший для данного месторождения геохимический коэффициент позволил получить на тех же материалах только 78% правильных ответов.

Проведенные исследования позволяют рекомендовать данную методику для решения широкого круга геохимических задач: расщленение магматических образований, анализ геохимических особенностей стратиграфических подразделений, изучение геохимической зональности месторождений и др.

Б.Р. Берикболов

О ВЛИЯНИИ ГЕОЛОГИЧЕСКИХ И ГЕОХИМИЧЕСКИХ ФАКТОРОВ  
НА ВОЗНИКНОВЕНИЕ КОРРЕЛЯЦИОННОЙ СВЯЗИ И ИСПОЛЬЗОВАНИЕ  
РАСПРЕДЕЛЕНИЯ КОРРЕЛЯЦИОННЫХ КОЭФФИЦИЕНТОВ  
ДЛЯ ГЕОЛОГО-ГЕОХИМИЧЕСКИХ ВЫВОДОВ

Воспользуясь некоторыми выводами Л.Н. Овчинникова, кратко рассмотрим вопрос возникновения корреляционной связи при взаимном влиянии геохимических и геологических факторов. Из положения о меньшей подвижности элементов-спутников по сравнению с главными следует, что чем больше отставание элемента-спутника от главного компонента, тем ниже между ними корреляция и наоборот, чем выше корреляция, тем меньше это отставание.

При отсутствии геохимической связи между двумя элементами корреляция между ними будет небольшой, так как изменчивость термодинамических условий и концентрации растворов сама по себе не способна привести к такому пропорциональному накоплению элементов, какие бывают в случае тесной корреляционной связи.

Для возникновения высокой корреляционной связи между элементами необходимы определенные условия, основными из которых являются: геохимическое сходство элементов; одинаковые физико-химические условия для всего рассматриваемого участка рудного тела; единый "источник" элементов в процессах рудообразования; одинаковые кларки концентраций элемента-спутника и главного компонента.

Концентрация элементов и соединений, существовавшая в рудообразующем растворе, не известна, но отношение содержаний основных рудообразующих элементов и элементов-примесей в рудных телах в достаточной степени отражает отношение концентраций этих двух групп элементов в растворе (Овчинников, 1948).

Положение об отставании элементов-спутников от главных справедливо полностью только для элементов, не обнаруживающих тесной корреляционной связи. Следует отметить, что при функциональной связи между двумя элементами корреляционный коэффициент будет постоянен и его невозможно использовать для целей геологических построений. Но практически функциональной связи не существует и корреляционные коэффициенты в той или иной мере меняются. Это как раз и открывает возможность их использования.

Применение корреляционных коэффициентов позволяет исключить из общей картины влияние геохимических факторов распределения. Поэтому для решения таких геологических задач, как определение путей движения рудоносных растворов, нужно пользоваться графиками распределения корреляционных коэффициентов.

При изучении различных пар элементов по месторождению Саяк I приводились различные графики распределения корреляционных коэффициентов соответствующих элементов.

По каждой паре элементов для всех проб подсчитывались вначале корреляционные коэффициенты и проводилась разбивка по типам руд. Затем по каждой скважине (по типам руд) подсчитывался средний корреляционный коэффициент. Далее строились графики зависимости корреляционных коэффициентов от содержаний элементов, графики распространения корреляционных коэффициентов по простираннию и горизонтам рудных тел. Производилось сопоставление корреляционных коэффициентов различных пар элементов между собой.

В.К.Кошелев

К ВОПРОСУ ОЦЕНКИ ЭКОНОМИЧЕСКОЙ ЭФФЕКТИВНОСТИ  
МАТЕМАТИЧЕСКИХ МЕТОДОВ ПРИ ОБРАБОТКЕ РЕЗУЛЬТАТОВ  
ГЕОХИМИЧЕСКИХ СЪЕМК

Ежегодно при проведении наземной и глубинной металлометрии в Казахстане отбирается огромное количество проб. Поэтому вызывает интерес обработка геохимических данных с количественной оценкой предполагаемой эффективности применения математических методов. При этом предлагаются учитывать три основные составляющие эффективности.

Во-первых, экономический эффект от применения математических методов может быть получен в результате удешевления вычислений. Применяемый в настоящее время математический аппарат настолько сложен, что подсчет трудозатрат практически невозможен для некоторых задач с большим временем счета на ЭВМ. Оценку эффективности таких алгоритмов и программ по степени сложности поставленных задач целесообразно проводить по количеству затрачиваемого машинного времени на обработку. Однако экономия живого труда не полностью характеризует действительный экономический эффект, так как не учитывается вся совокупность затрат на обработку информации. Поэтому наиболее применимыми будут стоимостные показатели абсолютной эффективности (разность затрат по сравниваемым способам обработки) и относительной эффективности (как отношение затрат сравниваемых способов). Примером может служить программа вычисления ошибок спектрального анализа, составленная для ЭВМ БЭСМ-4. Счет всех ошибок для 100 пар значений концентраций любого химического элемента проходит за 30 секунд, что стоит 0,3 руб. При ручном же вычислении требуется 1 час работы техника, что стоит 0,5 руб. Экономия денежных затрат получается равной 0,2 руб., а индекс снижения

стоимости  $\frac{50}{30} = 1,7$ . То есть стоимость вычисления ошибок почти в два раза дешевле. Такие же расчеты по более сложной программе ("Оценка закона распределения и вычисления характеристик") показывают, что

"ручная" работа обходится в 4 раза дороже. На основании пробных вычислений можно утверждать, что стоимость обработки данных с помощью других, более сложных программ в 5-10 и более раз ниже, чем при неавтоматизированных вычислениях. Если же учесть качественные показатели: улучшение представительности первичных данных, уменьшение числа ошибок, повышение точности расчетов, сокращение сроков обработки и др., эти соотношения изменятся примерно вдвое в пользу применяемых математических программ.

Второй наиболее значительной составляющей эффективности математических методов является прибыль, которая может быть получена от геологических работ в результате применения этих методов (в связи с улучшением их планирования и сокращением объемов для вскрытия искомых объектов). Было установлено, что применение математических методов построения геохимических карт позволяет уменьшить площадь детализационных работ в 2 и более раза. Ожидаемая эффективность от применения математических методов картирования и классификации аномалий при правильном их применении должна превысить затраты на эти методы в несколько раз.

Третья составляющая - это уменьшение трудозатрат, связанных с подготовкой числового материала для обработки по составленным программам. В настоящее время эта работа отнимает много времени, что значительно снижает показатели эффективности применяемых математических методов. Необходимо автоматизировать процесс ввода исходной информации непосредственно в ЭВМ, что значительно повысит экономическую эффективность применения математических методов и ЭВМ при обработке результатов геохимических съемок.

А.Н.Ященко, В.В.Тарасов

НЕКОТОРЫЕ РЕЗУЛЬТАТЫ ЭЛЕКТРОРАЗВЕДОЧНЫХ РАБОТ  
МЕТОДОМ ПШ С АППАРАТУРОЙ МПШ-3 ПРИ ПОИСКАХ  
ГЛУБКОЗАЛЕГАЮЩИХ РУДНЫХ ТЕЛ

Проведенные работы методом ПШ с аппаратурой МПШ-3 показали, что имеющиеся в районе работ известные медноколчеданные месторождения "50 лет Октября", "Приорское" и "Авангард" четко фиксируются аномалиями вторичного поля переходного процесса длительностью до 40 мсек при использовании петли размерами 200x200 м и шаге съемки 200 м. Эпицентры аномальных зон вторичного поля переходного процесса на месторождениях, фиксируемые при использовании аппаратуры МПШ-3, в плане точно совпадают с эпицентрами вторичного поля, выявленными в предыдущие годы с использованием аппаратуры МПШО-1. Различия наблюдаются лишь в интенсивности выявленных аномалий. Последние, приуроченные к известным месторождениям, имеют изометричную форму, постепенно уменьшаясь в своих площадных размерах по мере увеличения времени их измерений. Постоянная времени  $\tau$  для месторождений колеблется в пределах 2,2-16 мсек, что указывает на "рудный" характер объекта. Аналогичных аномалий и аномальных зон вторичного поля переходного процесса на описанной площади, которые могли бы соответствовать новым, ранее неизвестным "рудным" объектам, выявить не удалось. Переходный процесс заканчивается в основном при времени 2-3 мсек при  $\tau = 0,8-2,0$  мсек, что указывает на "нерудный" характер таких аномалий.

Выполненные исследования на этой же площади с петлей 600x600 при шаге съемки 600 м также четко зафиксировали известные колчеданные месторождения аномалиями вторичного поля переходного процесса длительностью до 40 мсек, с соотношением значений на последующей и предыдущей задержках  $\frac{I_2}{2} - \frac{I_1}{3}$ , что указывает на "рудную" природу объекта.

Кроме того, на опоискованной площади был выявлен ряд неизвестных ранее аномальных зон вторичного поля переходного процесса длительностью до 24 мсек при постоянном времени до 5,4 мсек и спадах переходного процесса, характерных для "рудных" объектов. Аномальные зоны приурочиваются к зонам развития тектонических нарушений и контактам интрузивных тел с основными эфузивами.

Таким образом, полученные результаты могут свидетельствовать об эффективности применения аппаратуры МПП-3 с петлей 600x600 м при поисках глубокозалегающих рудных тел. Есть основание считать необходимым использование петли 600x600 м шагом 600 м на первом этапе поисков с последующей детализацией. Для более точного установления природы таких аномалий необходимо в полной мере использовать все данные других геофизических съемок с последующей проверкой их бурением поисковых скважин глубиной не менее 300 м.

В.В.Иванов, П.М.Дурнов

### УЛЬТРАЗВУКОВОЙ МЕТОД АКТИВАЦИИ И КОНТРОЛЯ ПАРАМЕТРОВ ТАМПОНАЖНЫХ СМЕСЕЙ

Минеральные добавки, вводимые в тампонажные смеси с целью облегчения, значительно снижают механические свойства цементного камня, что является отрицательным фактором в отношении упрочнения обсадных колонн. В связи с этим встал вопрос о разработке новых методов активации тампонажных смесей, приготовленных на базе местного сырья. Метод активации тампонажных смесей заключается в воздействии на них мощных ультразвуковых полей. Исследовалось влияние на тампонажные смеси ультразвуковых полей разной интенсивности и частоты в течение различных промежутков времени.

Для исследования физико-механических свойств в условиях, приближенных к скважинным, был сконструирован прибор, позволяющий изучать упругие свойства цементного камня при температуре до 200°C и давлении

до 1000 кгс/см<sup>2</sup>. Работы показали, что ультразвуковой метод активации тампонажной смеси позволяет значительно увеличить модуль упругости цементного камня и тем самым повысить несущую способность обсадных колонн, что особенно ценно при солевой коррозии и наличии пластического течения солей. Ультразвуковой метод контроля имеет преимущества по сравнению с разрушающими методами: дает возможность воспроизводить испытания и сопоставлять их между собой, а также осуществлять контроль твердения непосредственно в условиях, приближенных к скважинным.

В. Г. Нигай, В. В. Банк

### ОПЫТ БОРЬБЫ С НАРУШЕНИЕМ УСТОЙЧИВОСТИ СТЕНОК СКВАЖИН НА НЕКОТОРЫХ МЕСТОРОЖДЕНИЯХ КАЗАХСТАНА

В одной из партий Волковской экспедиции Мингео СССР авторами была испытана рецептура малосиликатного раствора, в состав которого входит углекислотный реагент (УПР) и силикат натрия. Осложнения при проведении геологоразведочных скважин в условиях этой партии обусловлены, в основном, наличием в разрезе неустойчивых отложений, представленных глинами, песками, алевропесчаниками и алевролитами. Бурение этого интервала сопровождается сужением ствола скважин, обвалами, осьпями пород и интенсивным кавернообразованием. Последствиями указанных осложнений являются посадки, затяжки и прихваты бурового инструмента, приводящие к длительным простоям и тяжелым авариям.

Наряду с этим, в процессе бурения раствор интенсивно обогащается частицами выбуренных пород, быстро приходит в негодность и требует замены. Первотипально малосиликатный раствор был применен на трех скважинах, заложенных в одинаковых геологических условиях с проектными глубинами 508, 510 и 529 м. Для приготовления раствора использовался применяемый в партии УПР и силикат натрия. При проведении лабораторных исследований была установлена оптимальная концентрация силиката натрия в растворе, составляющая 3%. При бурении четвертичных отложений использовался глинистый раствор с параметрами: удельный вес  $1,35 \pm 1,40$  г/см<sup>3</sup>; вязкость  $70 \pm 80$  сек; водоотдача  $30 \pm 35$  см<sup>3</sup> за

30 мин; pH = 7. Переход на промывку малосиликатным раствором был произведен после вскрытия четвертичных отложений на глубинах 98 (скв. I328), 100 (скв. I430) и 105 м (скв. I431). В процессе бурения параметры раствора изменялись в пределах: удельный вес I, II + I,18 г/см<sup>3</sup>; вязкость по СПВ-5 25 +32 сек; водоотдача 5 + 8 см<sup>3</sup> за 30 мин; pH > 10; статистическое напряжение сдвига (СНС) через I и 10 мин соответственно 6 + 8 и 18 + 22 мг/см<sup>2</sup>. Следует отметить, что вязкость раствора эпизодически повышалась до 40 + 60 сек и снижение ее осуществлялось добавлением свежих порций. С применением указанного раствора все скважины были пробурены до проектных глубин. Осложнений в процессе бурения не наблюдалось. Коэффициенты кавернозности по трем пробуренным скважинам составили: I,15 (скв. I328), I,196 (скв. I430) и I,08 (скв. 431). Средний коэффициент кавернозности по 13 скважинам, пробуренным в аналогичных условиях, с промывкой УПР составил I,7. Средний расход раствора на одну опытную скважину составил 27 м<sup>3</sup>, в то время как обычно на скважину такой же глубины расходовалось около 50 м<sup>3</sup> УПР.

В процессе бурения были отмечены значительные трудности, возникающие при регулировании вязкости этих растворов. В целях устранения указанных недостатков в дальнейшем для поддержания вязкости силикатных растворов в допустимых пределах был применен игетан (понизитель вязкости). Малосиликатный раствор, обработанный им, применялся на двух скважинах. Переход на промывку им осуществлялся перед вскрытием пород неогенового возраста. При этом ранее применяемый глинистый раствор был полностью заменен на малосиликатный с параметрами: удельный вес I,0 г/см<sup>3</sup>; вязкость по СПВ-5 18+19 сек; водоотдача 6+9 см<sup>3</sup> за 30 мин; pH > 10. Концентрация силиката натрия в растворе составляла 3%. При загустевании раствора в интервалах бурения глинистых и песчано-глинистых отложений снижение вязкости осуществлялось путем ввода двадцатипроцентного водного раствора игетана. Содержание последнего в малосиликатном растворе составляло 0,6-0,8% (в пересчете на сухое вещество). В процессе бурения параметры раствора поддерживались в пределах: удельный вес I,08-I,15 г/см<sup>3</sup>; вязкость 22+28 сек; водоотдача 2,5+7,0 см<sup>3</sup> за 30 мин; pH > 10. Коэффициенты кавернозности по пробуренным скважинам составили соответственно I,156 и I,192.

Таким образом, применение малосиликатного раствора позволило предотвратить осложнения, сопутствующие применению УПР, уменьшить расход промывочной жидкости и повысить качество буровых работ.

В Соколовской ГРЭ (СКПГУ) при применении обычных глинистых рас-

тволов, обработанных кальцинированной содой, наблюдается сужение стволов скважин вплоть до полного перекрытия, обвалы и осыпи пород, а также поглощение промывочной жидкости в процессе бурения, вызывающее дополнительные осложнения. Основным способом борьбы с указанными осложнениями является крепление скважин обсадными трубами, что приводит к усложнению конструкции скважин и снижению производительности бурения. Необходимо отметить, что такой способ не всегда эффективен из-за невыдержанности зон осложнений по мощности и глубине залегания.

Для ликвидации поглощений при бурении скважин нами был применен химически аэрированный глинистый раствор. В качестве вспенивающих добавок применялись поверхностно активные вещества ОП-7 и ПО-Г. Добавление реагентов при первичной обработке на всех скважинах не превышало 0,1%, при последующих - не более 0,05% (объемных). На трех скважинах переход на промывку химически аэрированными глинистыми растворами был произведен после перекрытия обсадными трубами верхней части разреза, остальные семь скважин были пробурены с применением аэрированного раствора от нуля до проектной глубины. Бурение скважин во всех случаях происходило без поглощения промывочной жидкости, причем было отмечено, что посадки и затяжки бурового инструмента при спуско-подъемных операциях полностью отсутствовали, прекратились обвалы и осыпи неустойчивых пород. Кроме того, ни одна из семи опытных скважин не крепилась обсадными трубами.

Достигнутый эффект может быть объяснен особенностями физико-химического взаимодействия раствора с неустойчивыми породами (Винарский, Гончарова, 1969; Межлумов, 1970).

Нами были проведены работы и по закреплению интервалов неустойчивых пород в Лениногорской ГРЭ ВКТГУ мочевино-формальдегидной смолой типа МФ-Г7. В качестве отвердителя были использованы соляная и щавелевая кислоты. Работы были проведены на трех скважинах: II6, I25 Гусляковского месторождения и 213 Стрежанского. Осложнения здесь происходят, в основном, в зонах дробления и брекчирования. Наличие зон поглощений в интервалах неустойчивых пород при изоляционных работах с использованием цемента, глины и др. не позволяет получить положительные результаты. Закрепление неустойчивых интервалов мочевино-формальдегидной смолой позволило ликвидировать осложнения в результате первых заливок и продолжить бурение с промывкой технической водой. Особенностью данного способа является то, что смесь мочевино-формальдегидной смолы и отвердителя выдавливается в нужный интервал в момент потери текучести и начала твердения, в результате чего она не смешивается с жид-

костью, находящейся в скважине. Подготовка смеси производилась на поверхности, доставка осуществлялась с помощью специального контейнера. Количество отвердителя подбиралось с таким учетом, чтобы смесь до начала твердения могла быть доставлена в нужный интервал и выдавлена в скважину.

Опыт работы показал достаточную эффективность всех описанных способов при бурении скважин в неустойчивых разрезах с различными геолого-техническими условиями.

Правильный подбор параметров и химического состава раствора позволяет предотвратить ожидаемое или даже ликвидировать начавшееся осложнение.

А.М.Лиховцев, Ю.Г.Тузов, В.П.Попыкин

### РЕЗУЛЬТАТ АЛМАЗНО-ГИДРОУДАРНОГО БУРЕНИЯ СКВАЖИН МАЛОГО ДИАМЕТРА

В 1972 г. авторами были произведены стендовые эксперименты по бурению алмазными наконечниками высокочастотным гидроударником ГВ-4. Бурение производилось по гранитным блокам импрегнированными алмазными коронками ОЗИЭДБ60 диаметром 76 мм. Целью эксперимента было сравнить данные по бурению алмазной коронкой с высокочастотным гидроударником и без него в идентичных условиях. Было установлено, что увеличение нагрузки от 200 кгс до 1100 вызывает постоянный прирост механической скорости, которая в 1,5-2 раза выше, чем при обычном алмазном способе бурения. При гидроударном режиме технологические параметры были следующими: скорость вращения 237 об/мин, давление на манометре 23-25 кгс/см<sup>2</sup>, расход промывочной жидкости 150-160 л/мин. Регулировка гидроударника: свободный ход 4 мм, ход клапана 4 мм. При обычном вращательном бурении расход промывочной жидкости - 25-40 л/мин.

Следующий этап экспериментов предполагал установление зависимости механической скорости от числа оборотов шпинделя станка при посто-

дной нагрузке на породоразрушающий инструмент, равной 1100 кгс. Исследования проводились при скоростях вращения в 102, 182 и 237 об/мин. Режимы бурения были те же, что и в предыдущем опыте. Регулировка высокочастотного гидроударника: свободный ход 3,5 мм, код клапана 4 мм.

Разница показателей при вибрационно-алмазном и обычном способе на малых скоростях вращения была незначительна. С увеличением скорости вращения снаряда механическая скорость при вибрационно-алмазном способе в 1,7 раза превышала скорость алмазного бурения. При этом повышенного износа коронки не наблюдалось.

Завершающий этап экспериментов проводился в производственных условиях в Зыряновской ГРЭ на площади Зыряновского и Грековского месторождений на агрегатах, оснащенных металлическими коронками ВР-24/30 высотой 24 м, станками ЗИФ-1200 А, насосами II-ГРВ с приводом от электромоторов мощностью 40 квт. Бурильная колонна составлялась из труб диаметром 50 мм, свинченных в свечи длиной 18 м с муфтозамковыми соединениями. Для сброса избыточной воды с целью ликвидации противодавления, возникающего в колонковой трубе по мере заполнения ее керном, в компоновку был введен эжектор, что позволило проводить бурение с призабойной циркуляцией. Таким образом, снаряд состоял (снизу вверх) из алмазной коронки, колонковой трубы (без кернорвателя), переходника, эжектора, гидроударника ГВ-4 и колонны бурильных труб. Бурение проводилось алмазными коронками I4АЗЛ35К20 и ОДМЗК70К35 в породах III-XII категорий по буримости.

Механическая скорость при вибрационно-алмазном бурении (по кварц-полевошпатовым фельзитамидным порфирам и фельзит-порфирам XI и XII категорий) однослойными коронками с крупностью алмазов 35-20 шт. на карат колебалась от 1 до 1,5 см/мин против 0,2 см/мин при обычном способе. Была установлена зависимость изменения величины механической скорости от частоты вращения снаряда и нагрузки на породоразрушающий инструмент. Так, при увеличении числа оборотов бурового снаряда закономерности прироста механической скорости сохраняются те же, что и при обычном алмазном бурении. Увеличение нагрузки на коронку выше 800 кгс значительного прироста механической скорости не давало. Интервал оптимальных нагрузок - 600-800 кгс.

Наложение вибрации на породоразрушающий инструмент положительно сказалось и на отработке коронок, увеличив время их работы на 35%. Использование для бурения коронок с матрицами средней твердости позволило накладывать на них вибрационные нагрузки до 2 кгс/м. В ходе

экспериментов отработка коронок была ровной, явления зашлифовки алмазов не наблюдалось, наибольшему износу подвергались алмазы подрезные внутренние, наименьшему — объемные.

Применение в данной компоновке эжектора позволяло производить бурение без предварительной обработки забоя с целью удаления твердого сплава и кусочков керна. Очистка производилась в процессе бурения благодаря эжекции. Из бурового цикла исключалась операция по заклинике керна, а из бурового снаряда — кернорватель. Подклиники керна при вибрационно-алмазном бурении исключены, а выход его составляет около 90%; в зонах дробления, разломов и в породах, интенсивно нарушенных трещинами — не менее 70%.

Проведение экспериментального бурения в абразивных породах VIII и IX категорий по буримости дало прирост механической скорости бурения в три раза при сохранении всех вышеуказанных закономерностей. Применение вибрационно-алмазного способа бурения позволило уменьшить интенсивность зенитного искривления в 2 раза.

Таким образом, проведение скважин комбинированным гидроударным и вибрационно-алмазным способом позволяет улучшить качество геологоразведочных работ, повысить производительность бурения, снизить его стоимость.

И. Д. Серебренников, Ф. А. Бобылев

## О ВЛИЯНИИ ГИРОСКОПИЧЕСКИХ СИЛ НА ХАРАКТЕР ДВИЖЕНИЯ БУРОВОГО СНАРЯДА

С ростом скоростей вращения бурового снаряда появляется потребность в оценке гироскопических сил и возможного влияния их на ряд явлений, сопутствующих процессу бурения (искривление скважин, вибрации и др.). Вероятно, это влияние возможно в случае, если они окажутся достаточно велики, чтобы оказать заметное воздействие на поведение компоновки низа бурового инструмента. Для того, чтобы оценить это, возь-

менем известное дифференциальное уравнение поперечных колебаний бурильной колонны:

$$\left. \begin{array}{l} \xi J \frac{d^4 x}{ds^4} + P \frac{d^2 x}{ds^2} + m \frac{d^2 x}{dt^2} = 0 \\ \xi J \frac{d^4 y}{ds^4} + P \frac{d^2 y}{ds^2} + m \frac{d^2 y}{dt^2} = 0 \end{array} \right\} \quad (1)$$

и включим в него действие гироскопических сил

$$\left. \begin{array}{l} \xi J \frac{d^4 x}{ds^4} + P \frac{d^2 x}{ds^2} + m \frac{d^2 x}{dt^2} - m \tau^2 \left( \frac{d^4 x}{ds^4 dt^2} + 2 \omega \frac{d^3 y}{ds^2 dt^2} \right) = 0 \\ \xi J \frac{d^4 y}{ds^4} + P \frac{d^2 y}{ds^2} + m \frac{d^2 y}{dt^2} - m \tau^2 \left( \frac{d^4 y}{ds^4 dt^2} - 2 \omega \frac{d^3 x}{ds^2 dt^2} \right) = 0 \end{array} \right\} \quad (2)$$

Четвертое и пятое слагаемое учитывают действия соответственно инерции поворота сечения в данной плоскости и гироскопического действия того же сечения из-за поворота в другой плоскости.

Представляя уравнение (2) в сокращенной записи, получим:

$$\left. \begin{array}{l} \xi J \ddot{x}^{\text{IV}} + P \ddot{x}^{\text{II}} + m \ddot{x} - m \tau^2 (\ddot{x}^{\text{II}} + 2 \omega \dot{y}^{\text{II}}) = 0 \\ \xi J \ddot{y}^{\text{IV}} + P \ddot{y}^{\text{II}} + m \ddot{y} - m \tau^2 (\ddot{y}^{\text{II}} - 2 \omega \dot{x}^{\text{II}}) = 0 \end{array} \right\} \quad (3)$$

Переходя к комплексному выражению, уравнение (3) представим в следующем виде:

$$\xi J \ddot{x}^{\text{IV}} + P \ddot{x}^{\text{II}} + m \ddot{x} - m \tau^2 (\ddot{x}^{\text{II}} - 2i\omega \dot{x}^{\text{II}}) = 0, \quad (4)$$

где  $z = x + iy$

Решение уравнения (4) будем искать в виде

$$x = U \ell \frac{i \sqrt{\tau}}{e^{i \lambda t}} \quad (5)$$

Здесь величина  $\sqrt{\tau}$  характеризует форму изгиба колонны, а следовательно учитывает граничные условия, т.е. закрепление ее концов. Если предположить, что оба конца колонны шарнирно опорты, то вместо равенства (5) получим:

$$z = U \sin \frac{\sqrt{\tau}}{\ell} St = U \sin \frac{\pi n S}{\ell} e^{i \lambda t} \quad (6)$$

Подставив уравнение (6) в выражение (4), получим:

$$(1 + \frac{\pi^2 n^2 \tau^2}{\ell^2}) \lambda^2 - 2 \omega \lambda \frac{\pi^2 n^2 \tau^2}{\ell^2} - \frac{\pi^2 n^2 \tau^2}{\ell^2} \left( \frac{\xi J}{m} \frac{\pi^2 n^2 \tau^2}{\ell^2} - P \right) = 0, \quad (7)$$

откуда получим для скоростей прецессии:

$$\lambda = \frac{\pi n \tau}{\ell} \cdot \frac{-\frac{\pi n \tau}{\ell} \omega \pm \sqrt{\frac{\pi^2 n^2 \tau^2}{\ell^2} \omega^2 + (1 + \frac{\pi^2 n^2 \tau^2}{\ell^2}) \frac{1}{m} \left( \frac{\pi^2 n^2 \xi J}{\ell^2} - P \right) \frac{1}{\tau^2}}}{1 + \frac{\pi^2 n^2 \tau^2}{\ell^2}} \quad (8)$$

где:  $n = 1, 2, 3 \dots$  - формы равновесия,

$\tau$  - радиус колонны (компоновки),

$\ell$  - длина скатой части колонны,

$\omega$  - угловая скорость вращения колонны,

$m$  - приведенная масса колонны,

$P$  - осевая нагрузка.

Выражение (8) дает два значения для скорости  $\lambda$  - положительное и отрицательное, что соответствует прямой и обратной прецессии изогнутой оси колонны.

Анализируя выражение (8), нетрудно видеть, что величина  $\frac{\pi^2 \omega^2 t^2}{l^2}$  в условиях бурения очень мала и несопоставима с единицей. В свою очередь величина  $\frac{1}{m \tau^2} \left( \frac{\pi^2 \omega^2 \delta J}{l^2} - P \right)$  на несколько порядков выше величины  $\frac{\pi^2 \omega^2 t^2}{l^2} \omega^2$ , даже при самом максимальном значении скорости вращения, какое возможно в бурении.

Но в таком случае получаем, что

$$\lambda = \frac{\pi \omega}{t} \sqrt{\frac{1}{m} \left[ \frac{\pi^2 \omega^2 \delta J}{l^2} - P \right]} \quad (9)$$

Выражение (9) хорошо известно в бурении, из него можно получать значения критической скорости, количество полуволн колонны и их длину. Аналогичное выражение при  $\lambda = \omega$  нетрудно получить из дифференциального уравнения (1).

Из сказанного видно, что в условиях бурения гироколические силы ничтожно малы и не могут оказывать влияния на движение бурового инструмента из-за малой величины отношения  $\frac{\tau}{t}$ . Поэтому прецессионное движение бурового снаряда следует относить не за счет гироколических сил, а за счет сил внешнего и внутреннего трения.

И. Т. Бирманов, К. Г. Лукбанов, Б. Л. Альсентов,  
К. Улуктанова, С. К. Кулмурзин

### ИССЛЕДОВАНИЕ НАБУХАЕМОСТИ ГЛИН И ПРЕДУПРЕЖДЕНИЕ ОБУСЛАВЛЯЕМЫХ ИМИ ОСЛОЖНЕНИЙ В БУРЕНИИ

Нами проводились исследования набухаемости глин, глинистых пород и аргиллитов из над- и подсолевых отложений по Западному Казахстану. Установлено, что набухаемость глины уменьшается с глубиной залегания и увеличением приобретенного напряженного состояния (рис. I). Выявле-

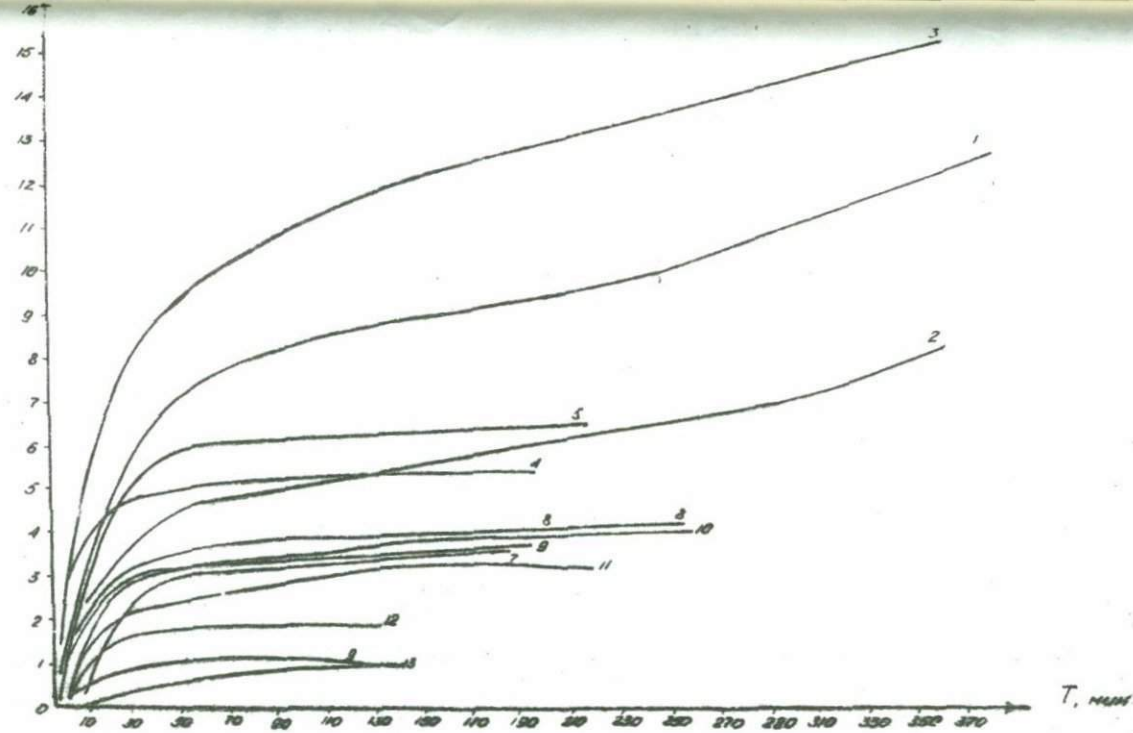


Рис. I. Линии 1, 2, 3 - 250-253, 253-258, 470-480 м, скв. к-8; линии 4, 5, 6 - 885-893, 893-900, 1208-1316 м, скв. Г-1; линии 7, 9 - 3854-3859, 3972-3978 м, скв. Г-90; линия 8 - 3818-3853 м, скв. Г-93; линии 10, 11, 12 - 4088-4091, 4121-4125, 4139-4143 м, скв. Г-91; линия 13 - 4050-4053 м, скв. Г-89

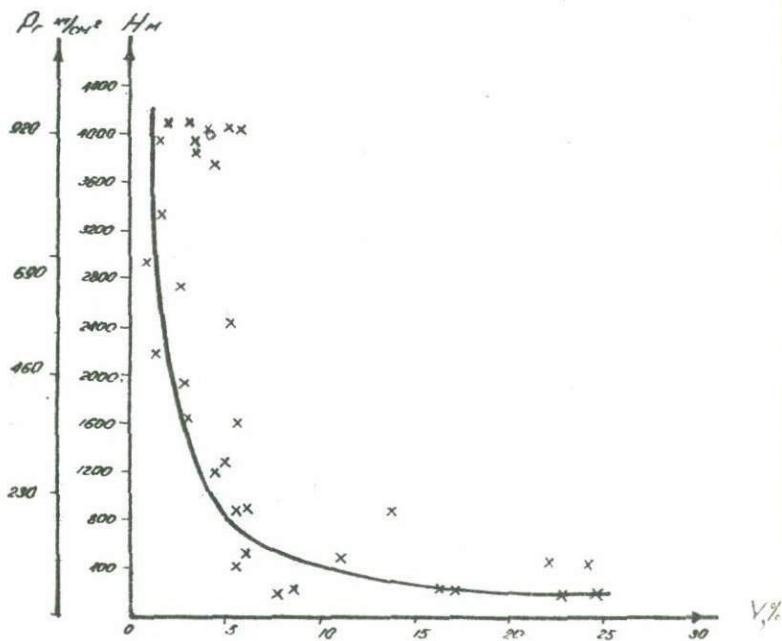


Рис. 2. Изменение набухаемости глин в зависимости от глубины

на подверженность аргиллитов к набухаемости. Так, артинские аргиллиты с глубины порядка 4000 м на месторождении Кенкияк в лабораторных условиях имеют значение набухаемости в пределах 2-6%. Это объясняется наличием зон аномально высоких пластовых давлений (АВПД).

На основе большого количества опытов получена паспортизация набухаемости глин в зависимости от глубины, по которой установлена закономерность набухаемости глины. Она описывается строгим математическим выражением типа:

$$V = \frac{I}{H} \quad (1)$$

$$\text{и} \quad V = \frac{I}{P} \quad (2)$$

Выведена и предложена формула для определения удельного веса промывочной жидкости, при котором в условиях скважины не будет иметь места набухание глины:

$$V_p = \left( \frac{100 \cdot m}{V \cdot H} - 1 \right) \gamma_r \quad , \text{ где}$$

$m$  – переходной коэффициент (рис. 2);  $V$  – набухаемость глины при глубине  $H$ ;  $\gamma_r$  – средне-звешенный удельный вес горных пород. Правильность формулы подтверждается данными практики бурения на месторождении Кенкияк.

Нами обосновывается возможность прогнозирования зон АВПД и других осложнений по значениям набухаемости глин и аргиллитов, что подтверждается данными практики.

Отмечается, что глины перемятые, претерпевшие в прошлом значительные перегрузки, независимо от глубины залегания и малой набухаемости, весьма неустойчивы. Рекомендуется в таких интервалах создавать значительные противодавления на стени скважины, пользуясь предложенной формулой.

И.Т.Бирманов, Б.Д.Альсейтов,  
К.Г.Луибанов, С.К.Кулмурзин

## ПРОГНОЗИРОВАНИЕ КАВЕРНООБРАЗОВАНИЯ В СОЛЕНОСНОЙ ТОЛЩЕ

Одним из основных осложнений при бурении подсолевых скважин является кавернообразование в галогенной толще. Прогноз возможных зон кавернообразования в солях является важнейшей профилактической мерой для успешной проводки скважины. Нами под руководством кандидата технических наук М.А.Танкибаева проводились исследования в области прогнозирования кавернообразования в солях по внешним факторам, характеру отдельных технологических процессов и по оперативной обработке некоторых данных результатов бурения, позволяющих своевременно вводить корректировку в технологический режим бурения, обеспечивающих предупреждение осложнений.

По скважине Жана-Жол I в интервале залегания соленосных отложений от 1400 до 1785 м показатели соленосного раствора поддерживались с помощью УЦР +  $\text{Na}_2\text{CO}_3$  и свежеприготовленного глинистого раствора в пределах: удельный вес  $\gamma$  - 1,2-1,32 г/см<sup>3</sup>; вязкость  $T$  - 45-60 сек по СПВ-5; водоотдача - 26 см<sup>3</sup> за 30 минут. Соленость фильтрата раствора за счет ввода пресных реагентов и глинистого раствора постоянно изменялась. Раствор большей частью был недонасыщен солью, о чем свидетельствует и разное колебание удельного веса от 1,2 до 1,4 г/см<sup>3</sup>. Но затем, после нескольких циклов циркуляции, он восстанавливается благодаря растворению стенок скважины и был равен 1,32 г/см<sup>3</sup>. Растворение солей из стенок скважины способствовало образованию значительных каверн.

При бурении скважины 2-П Жана-Жол, расположенной на той же площади, показатели раствора были следующими: удельный вес  $\gamma$  - 1,28 г/см<sup>3</sup>; вязкость  $T$  - 45-50 сек по СПВ-5; водоотдача В - 20 см<sup>3</sup> за 30 минут. Скважину в интервале от 1360 до 1670 м бурили с промывкой стабилизованным раствором, насыщенным солью. Концентрация соли в фильтрате

раствора постоянно поддерживалась в пределах 25–28%. Кавернограмма в этом интервале показала незначительное увеличение диаметра ствола от заданного. Бурение скважины в интервале от 1320 до 2100 м продолжалось в течение 22 дней, причем за этот период не было ни одной проработки, ни одного случая прихвата или затяжки бурильного инструмента. Приведенные данные по скважине 2-П Жана-Жол свидетельствуют о том, что в твердой фазе раствора находился некоторый избыток кристаллической соли. Следовательно, с увеличением содержания соли в растворе кавернообразование уменьшается.

При рассмотрении влияния отдельных факторов на кавернообразование и их прогнозе большой интерес представляет анализ химического состава солей. Нами был проведен химический анализ кернового материала из скважины 14-П Киндысай и шлама из скважины 88-Л Кенкияк. Установлено, что основу солевого разреза составляет галит  $\text{NaCl}$  с весьма незначительными примесями хлористого магния, сернокислого кальция, сернокислого натрия и хлористого кальция. Исключение составляет интервал 1418–1443 м (скв. 14-П Киндысай), где основными породообразующими минералами являются галит и сильвин  $\text{KCl}$ , причем содержание последнего колеблется в пределах от 17,8 до 55,6%. Рассмотрение кавернограмм показало, что основной причиной появления в данном интервале каверн является наличие в разрезе скважины калийных солей.

В изучении влияния химического состава солей на процесс кавернообразования интересны анализы фильтрата бурового раствора. Так по скважине 93-Кенкияк интервалы, где по данным анализа фильтрата раствора преобладает увеличение содержания К (3157–3222 м, 3462–3645 м), отмечены увеличением числа проработок. Причиной этого является наличие в них солей калия, которые в процессе бурения с малой механической скоростью интенсивно растворяются. В конечном счете такие проработки приводят к образованию каверн в терригенных породах с содержанием солей калия.

Обнаружив и определив интервалы залегания терригенных пород, зачастую сталкиваемся с фактом изобилия в этих зонах каверн. Наличие их в зоне пластов, прослоек, включений с терригенными породами отмечалось по каждой скважине в отдельности. Одна из причин их образования – растворение солей из терригенных пород, приводящих к нарушению их макроструктуры, что приводит к образованию осипей, обвалов, представляющих потенциальную возможность возникновения каверн. Другой причиной является наличие ангидрита в толще соли и терригенных породах. Его набуха-

ние вызывает сужение ствола скважины и проработку, при которой снимается слой гипса, увеличивается до номинального диаметр ствола, но в то же время вновь обнажается слой ангидрита, который при взаимодействии с фильтратом промывочной жидкости набухает и в конечном итоге ведет к образованию каверн.

Интерес представляет рассмотрение графиков механической скорости по скважинам 88-П Кенкияк, 93 Кенкияк и 3 Шубар-Кудук. В интервалах 3117-3150, 3350-3500 м по скважине 88-П Кенкияк, 3285-3400, 3610-3650 м по скважине 93 Кенкияк и 4042-4077, 4250-4270, 4525-4615 м по скважине 3 Шубар-Кудук наблюдается прямая зависимость изменения механической скорости бурения с изменением диаметра ствола скважины. Следует отметить, что снижение механической скорости в солях обусловлено наличием терригенных пород, которые являются предпосылкой к образованию каверн.

В то же время интервалы, для которых характерны уменьшения механической скорости, обуславливаются и интенсивной проработкой. Являясь следствием несоответствия технологии бурения, непредвиденные проработки, обусловленные определенным качественным и количественным изменением пород в пласте, приводят к образованию каверн. Отсюда следует, что они предшествуют или сопутствуют процессу кавернообразования.

Таким образом, наблюдение за отдельными технологическими процессами и состоянием пород при оперативной их обработке обеспечивает возможность получения вполне достоверных сведений, способствующих прогнозированию возможного кавернообразования. Это позволяет внести соответствующую корректировку и принять окончательные меры по их предупреждению.

В.И. Петерс, В.И. Коломиец, В.В. Иванов

ИССЛЕДОВАНИЯ РАСПЫРЯЮЩИХСЯ  
ТАМПОНАЖНЫХ СМЕСЕЙ И ИХ ВЛИЯНИЕ НА ГЕРМЕТИЗАЦИЮ  
ЗАКОЛОНКОВОГО ПРОСТРАНСТВА

Одной из наиболее серьезных проблем цементирования скважин является невозможность получения удовлетворительного сцепления в контактных зонах обсадная труба - цементный камень - порода при применении обычных тампонажных цементов. Следствием этого являются затрубные газопроявления, переходящие в открытые газовые фонтаны, межпластовые протоки флюидов, а также негерметичность цементных мостов и другие осложнения.

Применение распыряющихся цементов может служить средством предотвращения затрубных газопроявлений и межпластовых перетоков флюидов, защиты труб от коррозии, а в соленосых отложениях позволит создать условия, в какой-то степени приостанавливающие начало пластической деформации солей, слагающих стенки скважины. К тому же их применение позволяет значительно повысить герметизацию контактной зоны трубы - цемент - глинистая корка - порода. В зависимости от толщины и плотности глинистой корки давление прорыва воды в контактной зоне различное, но во всех случаях оно в 10-40 раз больше давления при применении нераспыляющегося цемента. Так, при толщине глинистой корки 3 мм давление прорыва воды в контактной зоне при нераспыляющемся цементе на 1 м составило 10, а при распыляющемся - 128 кгс/см<sup>2</sup>. Распыряющиеся тампонажные смеси имели контактное давление от 1,5 до 3,4 кгс/см<sup>2</sup> на 1% расширения. В зависимости от толщины и плотности глинистой корки контактное давление снижается до 0,1-0,3 кгс/см<sup>2</sup> на 1% расширения.

Для проведения исследований были разработаны и собраны две установки, позволяющие определить величину расширения тампонажных смесей при температуре до 200°C и давлении до 1000 кгс/см<sup>2</sup>. Были исследованы свойства расширения при добавлении негашеной известки тампонажного порт-

ланд-цемента, цементно-вольной и цементно-песчаной смесей при различной воде затворения. Далее были исследованы тампонажные смеси, приготовленные на основе сырья Западного Казахстана. Результаты показывают, что отходы Актюбинского завода хромовых соединений (хроматный шлам) в сочетании со шлаками Актюбинского завода ферросплавов, тампонажных цементов и местных материалов (песок, лесс, диатомит, мел и др.) могут быть применены для разработки расширяющихся тампонажных смесей. Изготовлены расширяющиеся шлакопесчаные, шлакоцементные и утяжеленные тампонажные смеси. Такими смесями в Казахстане зацементировано 20 обсадных колонн, спущенных для перекрытия соленосных и подсолевых отложений на глубины от 1258 до 6006 м, а также эксплуатационная колонна в сверхглубокой скважине СГ-2 Бийжал на глубине 6006 м.

В.М.Калмыков, В.И.Ткачев

### ПРОМЫШЛЕННОЕ ПРИГОТОВЛЕНИЕ ТАМПОНАЖНЫХ СМЕСЕЙ

В ближайшие годы в Казахстане намечается значительное увеличение добчи нефти и газа, что может быть обеспечено за счет открытия новых месторождений (помимо ввода в разработку уже разведанных площадей).

В управлении "Казнефтегазразведка" Министерства геологии КазССР, совместно с АО КазНИГИ, МИНХ и П, а также Эстонским проектным институтом на основе существующих дезинтеграторов был изготовлен передвижной помольно-смесительный агрегат. Он позволяет приготавливать смеси, состоящие из двух, трех и более компонентов, повышать активность тампонажных смесей, а также восстановить физико-механические свойства залежальных цементов до требуемых стандартом.

Состав тампонажной смеси с определенными физико-механическими свойствами подбирается в лабораторных условиях и сама смесь обрабатывается в лабораторных дезинтеграторах. У выбранной смеси определяется эффект измельчения и удельный нетто-расход энергии, необходимый при ее обработке.

Чтобы получить свойства промышленной тампонажной смеси, аналогичные лабораторным, возникла необходимость в промышленных установках, подобных лабораторным. Критерием подобия был выбран эффект помола. Получена формула подобия режимов работы двух дезинтеграторов.

На основе расчетных и экспериментальных данных составлены графики зависимости прироста удельной поверхности от заграниченной энергии и зависимости числа оборотов корзин дезинтеграторов от затрат энергии на обработку определенного материала с получением заданного прироста удельной поверхности.

В настоящее время потребность в тампонажных цементах не может быть удовлетворена за счет единичных передвижных помольно-смесительных агрегатов. Как показали экономические расчеты, более выгодным для обеспечения нужд Министерства геологии КазССР в тампонажных материалах является строительство цеха по приготовлению сухих тампонажных смесей, глин и других порошков с производительностью до 100 тысяч тонн в год.

В настоящее время такой цех спроектирован и строится в Актюбинске.

Л.И.Свиридова, Ю.В.Ненароков

### К МЕТОДИКЕ ОПРЕДЕЛЕНИЯ НОРМАТИВНЫХ СРОКОВ БУРОВОЙ РАЗВЕДКИ МЕСТОРОЖДЕНИЙ

В настоящее время ежегодные ассигнования в геологической разведке достигли почти 3 млрд. рублей и продолжают расти. Если учесть, что от начала поисков до момента передачи рудных месторождений промышленности обычно проходит 10-15 и более лет, а каждый год "иролеживание" этих средств обходится государству во многие миллионы рублей, становится понятным стремление сократить эти сроки до минимума. Сокращение этих сроков, помимо быстрейшего удовлетворения потребности народного хозяйства в минеральном сырье принесет ему и реальный экономический эффект в виде досрочно полученной прибыли от отработки запасов.

Мнение о том, что наиболее целесообразны минимальные технические

возможные сроки разведки месторождений полезных ископаемых, на проверку оказывается несостоительным. Результаты проведенного нами исследования свидетельствуют, что минимальные возможные сроки оказываются желательными и необходимыми лишь в том случае, когда планируемые темпы добычи высоки, а современная обеспеченность отрасли разведенными запасами ниже нормы. Если же обеспеченность в настоящий момент выше требуемой и запасов достаточно даже для того, чтобы удовлетворить и перспективный рост добычи, то темпы прироста новых запасов могут быть снижены. Поэтому встает вопрос о необходимости поисков оптимальных (нормативных) сроков разведки месторождений.

Время выполнения требуемого объема геологоразведочных работ определяется, во-первых, трудоемкостью разведки объекта, во-вторых, количеством и качеством применяемого горнопроходческого бурового и вспомогательного (транспорт) оборудования и, в-третьих, уровнем организации производства и труда в геологоразведочной партии, а главным образом, в ее буровом цехе.

Чтобы установить общий срок разведки месторождения, необходимо детально проследить принятую на практике схему последовательного проведения несовместимых во времени видов геологоразведочных работ по каждой стадии. Результаты такого анализа показали, что время выполнения каждой стадии можно разбить на три технологически несовместимых этапа: первый - проектно-организационный этап - от начала составления проекта работ на стадию до начала разведочного бурения; второй этап - разведочное бурение; третий - оценочный этап - от момента завершения буровых работ до утверждения ТЭС, ТЭД или подсчета и утверждения запасов в ГКЗ. Если их продолжительность обозначить соответственно как  $t_n$ ,  $t_\delta$ ,  $t_o$ , то время проведения каждой стадии и общий срок разведки месторождения составит:

$$\text{поисково-разведочных работ } T_1 = t_n^1 + t_\delta^1 + t_o^1 \quad (1)$$

$$\text{предварительной разведки } T_2 = t_n^2 + t_\delta^2 + t_o^2 \quad (2)$$

$$\text{детальной разведки } T_3 = t_n^3 + t_\delta^3 + t_o^3 \quad (3)$$

$$\text{всей разведки месторождения } T = t_n + t_\delta + t_o \quad (4)$$

Анализ данных о фактическом распределении во времени всех технологических операций в процессе разведки медных и полиметаллических месторождений Казахстана свидетельствует о том, что наиболее трудоемким и длительным видом работ на каждой стадии является разведочное бурение. Все остальные их виды, как правило, осуществляются параллельно и дополнительных затрат времени не требуют. Исключением могут быть

только месторождения, изучение которых ведется преимущественно с применением подземных горных работ.

Поскольку длительность первого  $t_0$  и третьего  $t_0$  этапов работ на каждой стадии определяется действующими положениями и инструкциями, то задача по нахождению общих нормативных сроков разведки месторождения сводится к отысканию нормативных сроков буровой разведки. Поиски в этом направлении показали, что задача вполне разрешима, ибо в литературе уже имеются приемлемые предложения на этот счет (Е.А.Салье, А.С.Гоц и Б.Б.Еванголов, 1965; В.М.Винниченко, 1968; Ненароков, 1971; Ненароков, Свиридова, 1971).

Сроки буровой разведки лучше рассчитывать по каждой стадии отдельно. Это позволит более учесть реальную обстановку на месторождении на каждый момент, т.е. наличие фронта буровых работ для размещения требуемого числа станков, и даст возможность использовать данные проектов разведочных работ, которые также составляются по стадиям.

Из проекта принимается величина планируемого объема бурения  $Q$ , посредством которого на стадии поисково-разведочных работ (Кондин, Ненароков, Дегтярев, 1968) необходимо установить такое количество запасов категории  $C_2$ , которого достаточно для организации рентабельной работы будущего рудника с минимально возможной производительностью в течение нормального срока амортизации капитальных вложений. На стадии предварительной разведки этот объем должен обеспечить не менее указанного выше количества запасов, половина из которых разведывается по категории  $C_1$ . И, наконец, на стадии детальной разведки – определить все запасы месторождения, разведанные по категориям  $B$ ,  $C_1$  и  $C_2$  в соотношении, установленном нормативами.

Для каждой стадии в соответствии с геологическими условиями разведываемого объекта устанавливается экономически выгоднейшее число буровых станков –  $N_B$ , а также возможность их одновременного размещения.

Теоретически возможная производительность бурового станка (общая коммерческая скорость)  $C_K$  в метрах на станко-месяц определяется по общизвестной формуле:

$$C_K = 102,9 \eta ,$$

где 102,9 – среднемесячное количество смен работы бурового станка;

$\eta$  – норма проходки в м на станко-смену по средней для данного месторождения категории пород и руд по бурильности.

Норма проходки  $\eta$  – величина, обратная норме времени на проходку 1 пог.м скважины определенной глубины –  $K$ :

$$\eta = \frac{1}{K}$$

Значение К может быть принято по данным расчета коэффициента трудоемкости буровой разведки  $T_{p(b)}$  (см.схему). Тогда

$$C_K = \frac{102,9}{K}$$

Произведение нормативной величины коммерческой скорости бурения  $C_K$  на экономически выгоднейшее число одновременно работающих буровых станков в ГРП дает нормативный, т.е. потенциально возможный объем проходки по партии за I станко-месяц ( $V$ )

$$V = \frac{102,9}{K} N_p$$

Поделив общий (проектируемый на стадию) объем бурения  $Q$  на величину  $V$ , получим теоретически возможное минимальное, т.е. нормативное время выполнения буровых работ:

$$t_{bh} = Q : \frac{102,9 N_p}{K} = \frac{Q \cdot K}{102,9 N_p} \quad (5)$$

Но при изучении вопроса о нормативах уровня организации производства и труда на разведочном бурении  $K_{op}^H$  (Ненашков, Свиридова, 1971) мы установили, что из-за наличия неизбежных потерь времени по объективным причинам полностью использовать потенциальные возможности бурового цеха не удается. Поэтому реально возможный срок будет всегда в  $\frac{I}{K_{op}^H}$  продолжительнее вычисленного по формуле (5) и составит:

$$t_{bh} = \frac{Q \cdot K}{102,9 N_p \cdot K_{op}^H} \text{ мес.} \quad (6)$$

По этой формуле и должен определяться нормальный, экономически выгоднейший срок разведки.

Схема использования характеристик элементов геологоразведочного процесса при определении нормативных сроков буровой разведки

Предмет труда	Орудия труда	Труд
Коэффициент трудоемкости буровой разведки $T_{p(b)} =$	Экономически выгоднейшее число одновременно действующих буровых станков	Нормальный уровень организации производства и труда
$h_1 \sin \alpha + [h_2 \sin(\alpha + \beta) + h_3] \sin \beta$	$N_p$	$t_{bh} = \frac{Q \cdot K}{102,9 \cdot N_p \cdot K_{op}^H}$

М  $\cdot$  S  $\cdot$  d  $\cdot$  Sin  $\beta$

40%  $\downarrow$  полн. скважин

Экономически выгоднейший нормативный срок буровой разведки на данной стадии

### Примечание к схеме

I. В формуле  $T_{p(b)}$   $h_1$  - средняя глубина подсечения рудных тел по падению, м;  $\lambda$  - средний угол падения рудных тел,  $^{\circ}$ ;  $M$  - средняя мощность рудных тел или рудовмещающего горизонта, м;  $h_2$  - необходимая глубина перебурки скважин в породах лежачего бока, м;  $\beta$  - средний угол заложения скважины,  $^{\circ}$ ;  $S$  - площадь влияния буровой скважины, определяемая плотностью принятой разведочной сети, кв.м;  $\varphi$  - объемный вес руды, т/м;  $K$  - коэффициент, учитывающий среднюю норму времени в станко-сменах на бурение I м скважин по средней для месторождения категории пород по буримости.

2. Методика определения №<sub>8</sub> подробно описана в нашей работе "К методике определения оптимальных размеров геологоразведочных партий на разведку рудных месторождений".

3. Формула для определения  $K_{op}^H$

$$K_{op}^H = \frac{(O\Phi_H K_{O\Phi}^H + ПЗ_{min} K_{ПЗ}^H) P_H + З_{расч.} K_{от}^H}{(O\Phi_H + ПЗ_{min}) P_H + З_{расч.}}$$

предложена нами в работе "О нормативах уровня организации производства в геологоразведочном бурении" (Ченароков, Свиридова, 1971). Здесь  $O\Phi_H$  - расчетная стоимость основных фондов бурового цеха в наличии, соответствующая оптимальной структуре бурового парка ПРП, тыс.руб.;  $ПЗ_{min}$  - стоимость нормативных производственных запасов материалов, топлива, запчастей, инвентаря, смениного оборудования, приспособлений, обсадных труб, включая их нормальный расход за рассматриваемый период, тыс.руб.;  $Z_{расч.}$  - расчетная заработка плата рабочих бурового цеха при условии, что каждый из них использует 100% фонда своего рабочего времени производительно и выполняет работу, соответствующую его квалификации на уровне среднепрогрессивной нормы, тыс.руб.;  $P_H$  - норматив рентабельности, 0,1;  $K_{от}^H$  - норматив коэффициента использования основных фондов бурового цеха;  $K_{ПЗ}^H$  - норматив коэффициента использования производственных запасов материалов, малооцененного инвентаря, запчастей, смениного оборудования и т.д.

Как видно из схемы, при определении нормального срока проведения буровой разведки, данные, необходимые для характеристики всех трех элементов трудового процесса разведчиков, используются максимально. Так, из формулы, предложенной нами для определения трудоемкости буровой разведки  $T_{p(b)}$  принимается средняя глубина буровой скважины  $L_{sc}$ ,

по которой из СУСИ с учетом средней по месторождению категории пород и руд по буримости выбирается значение  $K$ . Произведение  $L_{ср}$  на проектируемое число скважин дает  $Q$ . Из расчетов экономически выгоднейшего варианта ГРП (ПРП) и норматива уровня организации производства и труда в ней непосредственно используются величины устанавливаемых значений  $N_b$  и  $K_{оп}^H$ .

Таким образом,  $t_{bh}$  соответствует экономически выгоднейшему сроку выполнения буровых работ, который в условиях данного месторождения достижим при оптимальных размерах партии и нормальном уровне организации производства и труда. Этот срок необходимо принимать за нормативный. На его основе должны устанавливаться нормативы общих сроков разведки месторождений —  $T_n$ .

Определения нормативных сроков проведения разведочного бурения на стадиях поисково-разведочных работ, предварительной и детальной разведки одного крупного реального месторождения  $t_{bh}$  оказались соответственно равны:

$$t_{bh}^1 = \frac{14941 \cdot 0,40}{102,9 \cdot 12 \cdot 0,869} = 5,6 \text{ мес.}$$

$$t_{bh}^2 = \frac{75714 \cdot 0,48}{102,9 \cdot 18 \cdot 0,870} = 22,5 \text{ мес.}$$

$$t_{bh}^3 = \frac{141206 \cdot 0,48}{102,9 \cdot 18 \cdot 0,870} = 42,1 \text{ мес.}$$

Предлагаемая нами методика определения нормальных сроков бурово-разведки открывает пути к решению вопроса о нормативной продолжительности изучения месторождения в целом.

О. В. Эстерле

ОБ ОДНОВРЕМЕННОМ ОПРЕДЕЛЕНИИ ПЛОТНОСТИ  
И МАГНИТНОЙ ВОСПРИИМЧИВОСТИ МИНЕРАЛОВ НОВЫМ МЕТОДОМ  
МАГНИТОГИДРОСТАТИЧЕСКОГО ВЗВЕШИВАНИЯ

Сила, действующая на частицу минерала в магнитном поле, определяется по формуле (Бунин и др., 1969):

$$F_1 = \mathcal{V} (x_n - x_{cp}) H g \text{grad} H, \quad (1)$$

где  $F_1$  — сила втягивания в магнитное поле,

$\mathcal{V}$  — объем частицы,

$x_n, x_{cp}$  — магнитная восприимчивость частицы и среды,

$H$  — напряженность магнитного поля.

Кроме того, на минерал, находящийся в жидкости, действует выталкивающая сила (Кац, 1966):

$$F_2 = \mathcal{V} (d_{cp} - d_n) g, \quad (2)$$

где  $F_2$  — выталкивающая сила,

$d_{cp}$  — плотность среды,

$d_n$  — плотность частицы,

$g$  — постоянная земного тяготения.

При равенстве сил  $F_1$  и  $F_2$  частица находится во взвешенном состоянии (предполагается, что силы  $F_1$  и  $F_2$  имеют вертикальное направление). Формулируя формулы (1) и (2), получим:

$$(x_n - x_{cp}) H g \text{grad} H = d_{cp} - d_n \quad (3)$$

Приняв во внимание, что плотность большинства минералов выше, чем плотность парамагнитной жидкости (например, плотность  $MnCl_2$  равна  $1,38 \text{ г}/\text{см}^3$ ), можно для удобства обе части выражения (3) умножить на  $-1$ :

$$g(d_n - d_{cp}) = (x_{op} - x_n) H g \text{grad} H \quad (4)$$

Из (4) следует, что "уравновесить" в парамагнитной жидкости можно только те минералы, магнитная восприимчивость которых меньше, чем у самой парамагнитной жидкости:

$$x_n < x_{cp} \quad (5)$$

причем чем ближе друг к другу  $x_{cp}$  и  $x_r$ , тем большая "магнитная сила"  $Hgrad H$  нужна для уравновешивания частицы минерала.

Магнитная восприимчивость парамагнитных жидкостей находится в пределах  $40 \div 80 \cdot 10^{-6}$  (Бунин и др., 1969), поэтому большинство минералов, исключая лишь ферромагнетики и сильные парамагнетики, можно уравновесить в парамагнитной жидкости (Эстерле и др., 1972).

В уравнении (4) содержится две величины  $d_r$  и  $x_r$ , отображающие важные физические свойства исследуемого минерала. Для экспериментального определения этих величин методом магнитогидростатического взвешивания необходимо второе уравнение. Проще всего второе уравнение получить, применив другую концентрацию соли в парамагнитной жидкости и вновь "уравновесив" минерал с помощью магнитного поля:

$$d_r - d_{cp}^1 = (x_{cp}^1 - x_r) Hgrad H \quad (6)$$

Решая систему уравнений (4) и (6) относительно  $x_r$  и  $d_r$  и обозначив  $Hgrad H$  и  $Hgrad H$  (магнитные силы) соответственно  $M$  и  $M^1$ , получим:

$$x_r = \frac{g(d_{cp} - d_{cp}^1)}{M - M^1} + x_{cp} M - x_{cp}^1 M^1, \quad (7)$$

$$d_r = g \cdot d_{cp} - \frac{M^1(x_{cp} - x_{cp}^1) + (d_{cp} - d_{cp}^1) g}{M - M^1} M \quad (8)$$

В полученные формулы входят только величины, поддающиеся экспериментальному изменению — плотность и магнитная восприимчивость парамагнитной жидкости и напряженность магнитного поля. Первые две величины подбираются изменением концентрации парамагнитной соли в растворе, а последняя — регулировкой тока в обмотке электромагнита. Величина  $grad H$ , определяемая формой полосов, постоянна.

Если добиваются уравновешивания частиц всегда в одной точке пространства между полосами электромагнита, то поле может быть не изодинамическим. Необходимо только знать в этой точке зависимость магнитной силы  $M$  от тока в обмотке электромагнита. Практически достаточно иметь две одинаковые полосы с парамагнитной жидкостью разной концентрации с известными  $d_{cp}$  и  $x_{cp}$ , которые поочередно устанавливаются в межполюсной зазор и в которые опускают исследуемый минерал. В обоих случаях регистрируют величину тока электромагнита в моменты взвешенного состояния минерала в данной точке пространства. Затем величины  $x_r$  и  $d_r$  либо вычисляют по формулам (7) и (8), либо определяют их по заранее подготовленным номограммам.

Отсутствие в формуле объема частиц  $V_r$  говорит о том, что таким способом могут исследоваться частицы любых размеров и форм. Заменив

магнитное поле электрическим, можно аналогично определять удельный вес и диэлектрическую проницаемость минералов методом "электрогоидростатического" взвешивания. Для этого парамагнитную жидкость нужно заменить диэлектрической (например, смесью керосина и нитробензола).

Формулы (7) и (8) при этом будут иметь вид:

$$\mathcal{E}_r = \frac{\mathcal{E} (d_{ep} - d_{ep}^1)}{\mathcal{E} - \mathcal{E}^1} + \mathcal{E}_{cp} \mathcal{E} - \mathcal{E}_{cp}^1 \mathcal{E}^1 \quad (9)$$

$$d_r = \mathcal{E} \cdot d_{ep} - \frac{\mathcal{E}^1 (\mathcal{E}_{cp} - \mathcal{E}_{cp}^1) + (d_{cp} - d_{cp}^1) \mathcal{E}}{\mathcal{E} - \mathcal{E}^1} \mathcal{E} \quad (10)$$

где  $\mathcal{E}_r$ ,  $\mathcal{E}_{cp}$ ,  $\mathcal{E}_{cp}^1$  – диэлектрическая проницаемость минерала и среды в двух новетах;  $\mathcal{E} = \mathcal{E} grad \mathcal{E}$ ,  $\mathcal{E}^1 = \mathcal{E} grad \mathcal{E}^1$  – электрические силы ( $\mathcal{E}$  – напряженность электрического поля).

Исследование минералов с большей величиной  $\mathcal{E}$  и  $\mathcal{E}^1$  (большими, чем  $\mathcal{E}_{cp}$  и  $\mathcal{E}_{cp}^1$ ) осуществляется известными, хорошо разработанными методами.

Т.В. Жданова, А.Л. Вагина, П.С. Скакова

### ПРИМЕНЕНИЕ РЕНТГЕНОРАДИОМЕТРИЧЕСКОГО МЕТОДА И МЕТОДА ИК-СПЕКТРОСКОПИИ ДЛЯ ИССЛЕДОВАНИЯ ПРОЦЕССА СОРБЦИИ СЕРЕБРА

Для изучения динамики и кинетики сорбции серебра из цианистых растворов нами использовался флуоресцентный вариант радиоизотопного рентгеноспектрального метода анализа (РИСА) (Лебедев, Широкий и др., 1974). Анализ проводился по К-серии характеристического рентгеновского излучения, возбуждаемого радиоизотопом  $\text{Tl}^{110}$ . Применялся метод спектральных отношений, заключающийся в измерении отношения интенсивностей характеристического излучения серебра  $J_{Ag}$  и рассеянного анализыруемой средой первичного возбуждающего излучения  $J_p$ . На рис. I приведена зависимость концентрации серебра от отношения  $J_{Ag}/J_p$ .

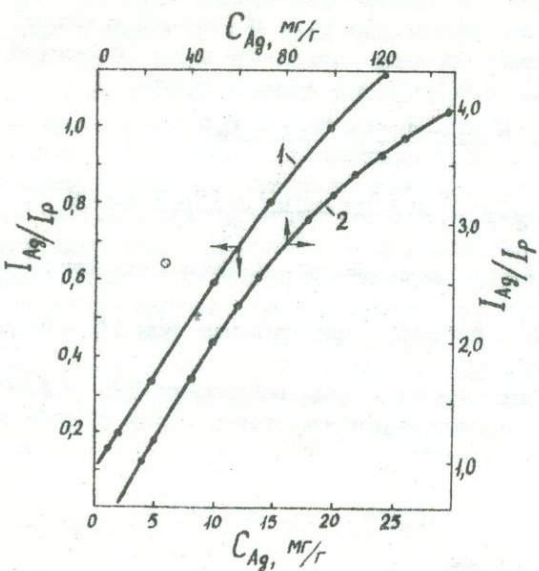


Рис. I. Аналитические графики для определения концентрации серебра:  
1 - диапазон концентраций 0,05-25 мг/г; 2 - диапазон концентраций 10-150 мг/г

Сорбция серебра проводилась на анионите АВ-ІVx8 из цианистых синтетических растворов, имеющих молярные соотношения концентраций циана и серебра  $CN/Ag = \delta$  в пределах от 2,1 до 10. Содержание серебра в растворах - 100 мг/л. Использовались колонки диаметром 12 мм. Средняя линейная скорость протекания раствора в сорбционном фильтре  $\mathcal{Q}_U = 2,88$  м/час. В ходе процесса сорбции методом РИРСА определялась концентрация сорбируемого серебра непосредственно в ионообменных колонках в условно выделенных слоях (зонах) сорбционного фильтра. Результаты измерений представлялись в виде функций распределения сорбированного металла по высоте фильтрующего слоя ионита  $\bar{C}_{Ag} = f(H)$  для различных объемов пропущенного раствора  $V_p$  (динамические кривые), а также в виде послойных кинетических кривых сорбции  $C_n Ag = \Phi(\tau_e)$ . Здесь  $n$  - номер выделенного слоя сорбционного фильтра высотой  $\Delta H$  (считая от верхнего уровня

ионита в колонке),  $\tau_c$  – время процесса сорбции. На рис.2 приведены динамические (а, в, д, ж) и кинетические (б, г, е, з) кривые сорбции серебра для  $\lambda = 2, I(a, b)$ ,  $\lambda = 3 (v, g)$ ;  $\lambda = 4 (d, e)$ ,  $\lambda = 10 (x, z)$ . Кривые зависимостей  $\bar{C}_n \text{Ag} = f(H)$  соответствуют каждым 0,5 литрам пропущенного через колонки сорбата, а кривые зависимостей  $\bar{C}_n \text{Ag} = \varphi(\tau_c)$  – каждому выделенному слою сорбционного фильтра высотой  $\Delta H = 0,5 \text{ см}$ . Подобные семейства для  $\lambda = 6$  и 8 выглядят аналогично семействам для  $\lambda = 10$  и поэтому не приводятся. Видно, что во всех случаях устанавливается стационарный режим процесса с параллельным переносом фронта сорбции серебра и постоянной скоростью его движения. Следует отметить, что лимитирующей стадией процесса сорбции в данном случае является внешнедиффузионная кинетика. Об этом говорит отсутствие возрастания скорости сорбции в выделенных слоях ионита при возобновлении опытов после перерывов (на графиках  $\bar{C}_n \text{Ag} = \varphi(\tau_c)$  не наблюдалось точек перегиба).

Для определения вида сорбируемых цианидных комплексов серебра и характера их распределения по высоте сорбционного фильтра использовался метод ИК-спектроскопии при послойном разделении столба ионита. С этой целью по истечении определенного времени процесс сорбции прекращался, и столб ионита делился на равные слои, соответствующие выделенным зонам при определении концентрации металла в ходе процесса. Съемка ИК-спектров отобранных образцов проводилась на спектрофотометре ИК-20; при этом 5 мг пылевидного воздушно-сухого ионита таблетировалось с 350 мг бромистого калия. Анализировались области спектров поглощения в диапазонах  $\tilde{\nu} = 2000\text{--}22000 \text{ см}^{-1}$  (область поглощения валентных колебаний  $C \equiv N$  связей цианидных комплексов). На рис.3 приведены ИК-спектры первых слоев ионита для  $\lambda = 2, I$  (I),  $\lambda = 3$  (II),  $\lambda = 4$  (III),  $\lambda = 6$  (IV),  $\lambda = 8$  (V),  $\lambda = 10$  (VI). Анализ этих спектров показывает, что при  $\lambda = 2, I$ , на анионите присутствует только  $[\text{Ag}(\text{CN})_2]^-$ . С увеличением  $\lambda$  наблюдается два пика поглощения, один из которых соответствует  $[\text{Ag}(\text{CN})_2]^-$  (абсорбционный максимум при  $\tilde{\nu}_1 = 2138 \text{ см}^{-1}$ ), а максимум поглощения другого находится при значении  $\tilde{\nu}_2 = 2108 \text{ см}^{-1}$ . Понятно, второй максимум относится к  $[\text{Ag}(\text{CN})_3]^{2-}$ . Это предположение основывается на том экспериментальном факте, что  $\tilde{\nu}_2$  лежит ближе к частоте поглощения  $[\text{Ag}(\text{CN})_3]^{2-}$ , чем к  $[\text{Ag}(\text{CN})_4]^{3-}$  для водных растворов (частоты поглощения водных растворов  $[\text{Ag}(\text{CN})_2]^-$ ,  $[\text{Ag}(\text{CN})_3]^{2-}$ ,  $[\text{Ag}(\text{CN})_4]^{3-}$  равны соответственно 2135, 2106 и  $2092 \text{ см}^{-1}$ ) и не изменяется при увеличении  $\lambda$  с 3,0 до 10,0. Кроме того остается постоянной и полуширина этого пика. Поэтому можно допустить, что для данных условий сорбции на ионите находятся только  $[\text{Ag}(\text{CN})_2]^-$  и  $[\text{Ag}(\text{CN})_3]^{2-}$ .

При этом можно предположить, что для ионита с  $\lambda = 2, I$  в водных растворах  $[\text{Ag}(\text{CN})_2]^-$  преобладает в водных растворах  $[\text{Ag}(\text{CN})_2]^-$ ,  $[\text{Ag}(\text{CN})_3]^{2-}$ ,  $[\text{Ag}(\text{CN})_4]^{3-}$  равны соответственно 2135, 2106 и  $2092 \text{ см}^{-1}$ ) и не изменяется при увеличении  $\lambda$  с 3,0 до 10,0. Кроме того остается постоянной и полуширина этого пика. Поэтому можно допустить, что для данных условий сорбции на ионите находятся только  $[\text{Ag}(\text{CN})_2]^-$  и  $[\text{Ag}(\text{CN})_3]^{2-}$ .

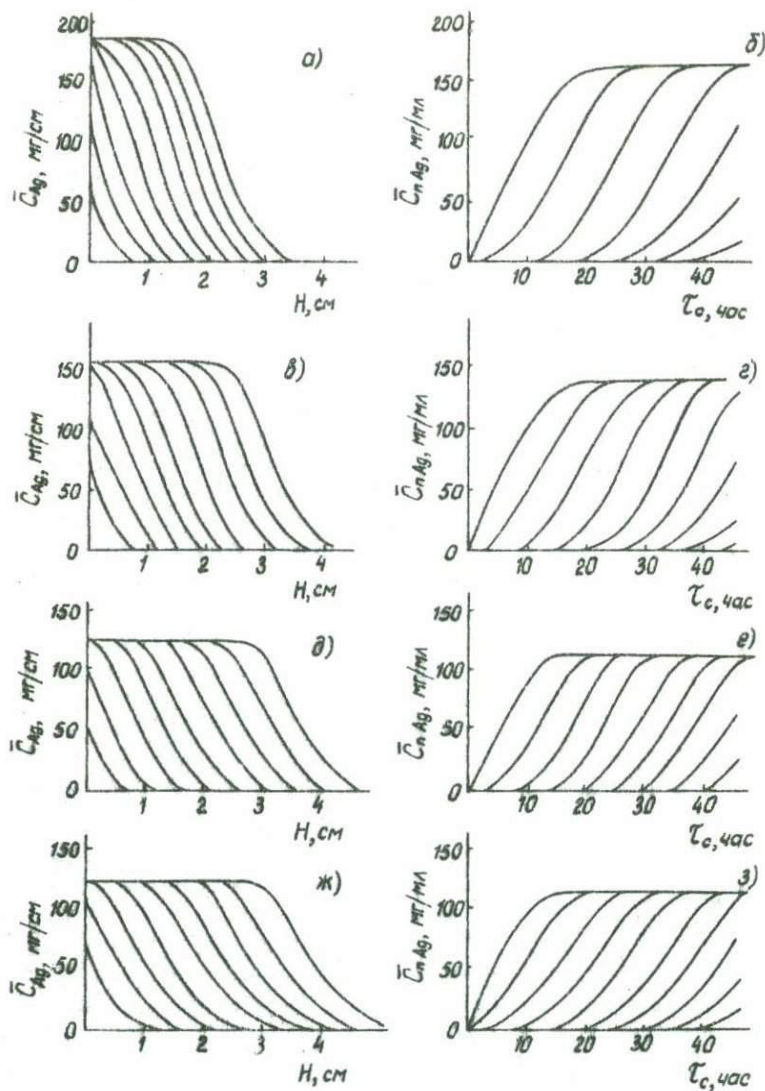
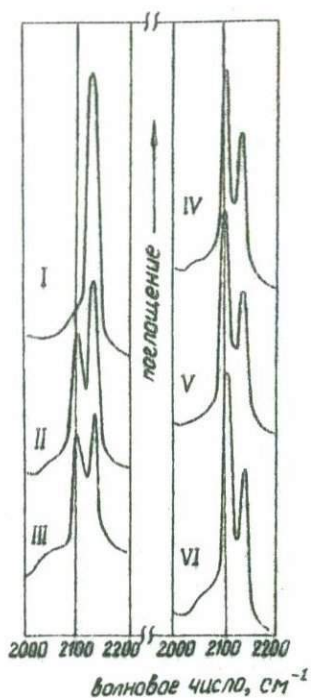


Рис. 2. Динамические (а, в, д, ж) и послойные кинетические (б, г, е, з) кривые сорбции серебра из синтетических цианистых растворов:  
а, б)  $d = 2, 1$ ; в, г)  $d = 3$ ; д, е)  $d = 4$ ; ж, з)  $d = 10$



Р и с. 3. ИК-спектры отработанных слоев ионита при сорбции серебра из синтетических цианистых растворов. I -  $\alpha = 2,1$ ; II -  $\alpha = 3$ ; III -  $\alpha = 4$ ; IV -  $\alpha = 6$ ; V -  $\alpha = 8$ ; VI -  $\alpha = 10$

смотря на возможное присутствие в сорбате с  $\lambda > 4$  и  $[\text{Ag}(\text{CN})_4]^{3-}$ . С ростом величины  $\lambda$  относительный вклад двухзарядного комплекса сначала быстро увеличивается ( $\lambda = 2, 1; 3; 4$ ), а затем увеличение его становится незначительным. Это соответствует сначала сравнительно быстрому уменьшению ( $\lambda = 2, 1; 3; 4$ ), а затем стабилизации ( $\lambda = 4; 6; 8; 10$ ) полного насыщения ионита по серебру Содг (см.рис.2). Очевидно, что уменьшение Содг при увеличении  $\lambda$  связано с эквивалентностью обмена ионов. Соотношения между сорбированными в данных условиях одно- и двухзарядными цианидными комплексами серебра остаются постоянными для отработанных участков сорбционного фильтра, причем во всех случаях эффект самоэлюирования отсутствует. Это свидетельствует о том, что  $[\text{Ag}(\text{CN})_2]^{+}$  и  $[\text{Ag}(\text{CN})_3]^{2-}$  занимают одно положение в ряду сорбируемости, или возможное отличие их по положению в ряду сорбируемости при данных условиях эксперимента не проявляется.

Полученные результаты могут быть использованы при расчетах оптимальных режимов процесса ионообменного извлечения серебра.

И. П. Белобров, Н. П. Зарецкая, Л. С. Левенберг

#### НЕКОТОРЫЕ РЕЗУЛЬТАТЫ ИССЛЕДОВАНИЯ РАЗРЯДА С ПОЛЫМ КАТОДОМ (РПК) ПРИ ОПРЕДЕЛЕНИИ ИЗОТОПОВ

В последние десятилетия возникла существенная необходимость в разработке спектральных методов изотопного анализа. Успешное развитие этой сравнительно новой области спектроскопии в значительной степени определяется наличием достаточно подробных сведений об условиях возбуждения спектральных линий. Обычно применяемый для изотопного анализа разряд с полым катодом является новым и перспективным, но весьма мало изученным источником света для спектрального анализа.

В данной работе при проведении изотопного спектрального анализа

лития в минеральном сырье изучались некоторые параметры разряда с полым катодом. Исследование проводили на типовой установке с интерферометром Фабри-Перо, описанной ранее.<sup>x)</sup> Источником возбуждения спектра служила разборная лампа с полым катодом (размер полости 16x5 мм). Катоды изготавливали из спектрально чистых графитовых стержней диаметром 10 мм. Использовались также электроды, изготовленные из меди и алюминия. Лампа работала в потоке гелия или аргона. В катод лампы в качестве объекта изучения вводили смесь изотопов в виде раствора или соль  $\text{Li}_2\text{CO}_3$  в виде порошка.

При исследовании условий возбуждения в источнике света использовали резонансную линию  $\text{Li I}$  670,7 нм, соответствующую переходу  $2\text{P}_{1/2}, 3/2 - 2\text{S}_{1/2}$ .

Характер разряда и яркость линии в значительной степени определяются материалом, из которого изготовлен катод, поэтому выбор его имеет большое значение. Кроме того, при этом должно быть уделено внимание выбору вида инертного газа, который выполняет функцию носителя разряда, так как свойства рабочего газа определяют характеристики разряда и, следовательно, условия возбуждения.

Были исследованы полые катоды, изготовленные из алюминия, меди и спектрально чистого графита (работа выхода электрона, соответственно 4,20, 4,36 и 4,81 эВ), работающие в атмосфере гелия и аргона. Для этого спектр излучения фотографировали на аэрофотопленку 700 ед. при экспозиции 5 минут на используемом в установке спектрографе ДС-8. Съемку проводили при токе разряда через полый катод порядка 40 мА и при напряжении питания 720 в. Одновременно отмечалось по масляному манометру давление рабочего газа в лампе, которое в каждом случае устанавливалось минимально необходимым для зажигания разряда. В катод помещалась навеска порошка  $\text{Li}_2\text{CO}_3$ . После стандартной обработки пленки на спектрограммах фотометрировали линию лития. Полученные данные приведены в таблице.

Из этой таблицы видно, что наиболее интенсивные линии возбуждаются в полом катоде из графита, причем изменение вида рабочего газа практически не влияет на почернение линии. Медный катод в атмосфере

<sup>x)</sup> И.П. Белобров, Н.П. Зарецкая. Установка для спектрального анализа изотопов. Сб. Исследования в области физических и химических методов анализа минерального сырья. Вып. 3, Алма-Ата, 1973, стр. 198.

Таблица

Зависимость яркости линии лития от материала полого катода для различных инертных газов

№	Спектр	Рабочий газ	Давление газа (мм рт.ст.)	$S_{\lambda}$
I	C	He	9,5	-
2	C + Li	He	9,5	1,45
3	Al	He	62	-
4	Al + $^{7}Li$	He	62	0,12
5	Cu	He	68	-
6	Cu + Li	He	51	1,20
7	C	Ar	17	-
8	C + Li	Ar	14	1,46
9	Al	Ar	0	-
10	Al + Li	Ar	0,5	0,34
II	Cu	Ar	3	-
12	Cu + Li	Ar	6,5	0,24

аргона почти как и алюминиевый в атмосфере гелия дает довольно слабые линии, тогда как в атмосфере гелия яркость значительно повышается. Следует отметить, что разряд в аргоне во всех случаях горит при значительно меньшем давлении, чем в гелии. Исследование позволяет сделать вывод, что при изотопном анализе целесообразно использовать графитовые катоды.

Одним из необходимых условий при проведении анализа изотопного состава по атомным спектрам является то, чтобы использование компоненты сверхтонкой структуры были достаточно узкими. Контур линии для полого катода определяется главным образом дощадовским уширением.<sup>X)</sup>

$$8\nu = 0,71 \cdot 10^{-6} \nu \sqrt{\frac{T}{M}} \text{ см}^{-1} \quad (I)$$

Здесь  $T$  - газовая температура источника,  $M$  - молекулярный вес элемента. Из формулы (I) видно, что ширина линий зависит от температуры катода и, следовательно, от тока. Нами была исследована зависимость ширины компоненты изотопа литий-7 от силы тока разряда. Результаты представлены на рис. I, из которого видно, что с увеличением силы тока

<sup>X)</sup> Толанский С. Спектроскопия высокой разрешающей силы. М., ИЛ, 1960.

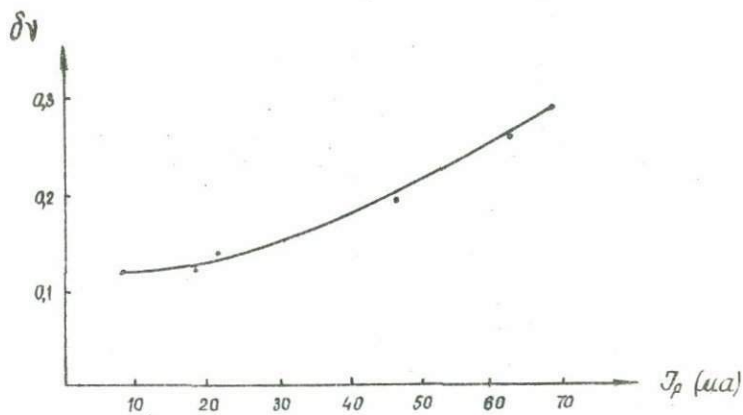
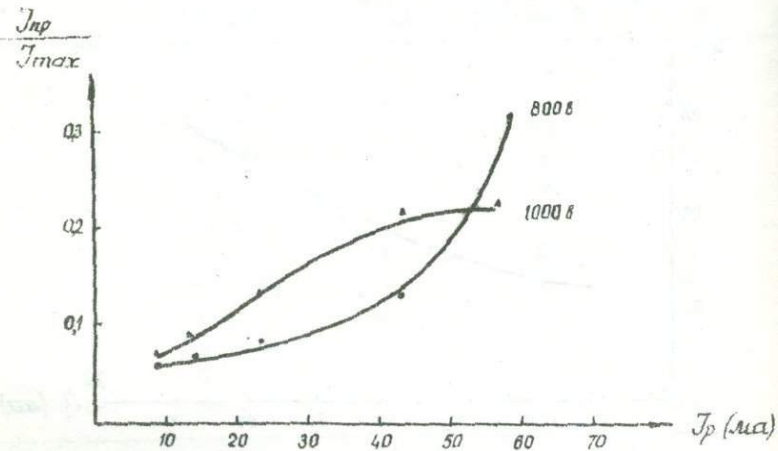


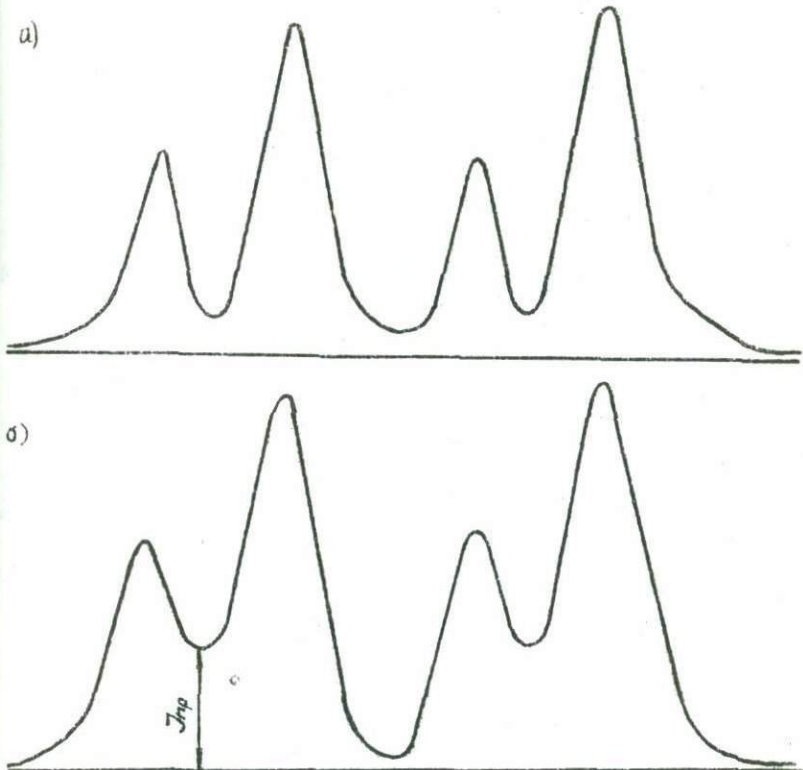
Рис. I. Зависимость ширины компоненты изотопа литий-7 от силы тока разряда в полом катоде

разряда в соответствии с приведенной формулой возрастает ширина компоненты сверхтонкой структуры (с.т.с.). Практическим следствием этого является то, что из-за возрастающего переложения компонент увеличивается интенсивность в минимуме интерференционной картины и ухудшается разрешение. Мы исследовали экспериментально изменение соотношения интенсивностей провала интерференционной картины и компоненты  $A_1$ . Результаты приведены на рис.2, из которого видно, что с увеличением силы тока это соотношение увеличивается. Для более надежного измерения концентраций изотопов следует работать в условиях, где переложение компонент наименьшее, то есть при минимальной силе тока. На рис.3 приведены регистрограммы изотопической структуры лития при естественном соотношении изотопов для силы тока 8 ма (рис.3а) и 25 ма (рис.3б).



Р и с. 2. Зависимость соотношения интенсивностей минимума интерференционной картины и компоненты изотопа литий-7 от силы тока разряда.

При спектральном анализе изотопного состава элементов заключение о концентрации того или иного изотопа производится на основании измерения интенсивности соответствующей компоненты изотопической структуры спектральных линий. Следовательно, особенно важно, чтобы не возникало искажения в распределении интенсивностей в интерференционной картине. Поэтому необходимо изучать процессы, происходящие в источнике света и влияющие на интенсивность компонент. Одним из таких эффектов является самопоглощение. В нашей работе изучалось влияние его на контур спектральной линии. Получено, что в результате в структуре с.т.с. наблюдается полное перераспределение интенсивности: вместо триплета, связанного с изотопической структурой, появляется пять компонент. Этот эффект значительно зависит от условий возбуждения, а также от материала катода. При использовании алюминиевого катода самопоглощение не наблюдалось во всем диапазоне разрядных токов, тогда как для медного по-



Р и с. 3. Регистрограммы интерференционной картины изотопов при естественном содержании для различных токов: а) 8 ма; б) 25 ма

лого катода при выбранной навеске пробы практически не удалось реализовать условий, в которых самопоглощение отсутствовало бы.

Таким образом, проведенное исследование параметров РИК позволило выяснить некоторые закономерности, существенно важные для проведения анализа изотопного состава элементов спектральным методом.

Б.М.Ахметов

## ПРОХОЖДЕНИЕ ЧАСТИЦЫ МИНЕРАЛА СКВОЗЬ ПЛАЗМЕННОЕ ОБЛАКО

Движение частицы в поле сил тяжести при наличии сил сопротивления выражается следующим уравнением:

$$m \frac{dV}{dt} = mg - F, \quad (1)$$

где  $m$  - масса частицы,

$g$  - ускорение свободного падения,

$F$  - силы сопротивления.

Если рассматривать свободное падение частицы в плазменном облаке, то на нее будут действовать следующие силы: сила тяжести ( $mg$ ), выталкивающая сила Архимеда ( $F_A$ ) и сила сопротивления Стокса ( $F_C$ ).

Выталкивающая сила, действующая на частицу, равна:

$$F_A = \frac{\pi \cdot r^3}{4} (\rho_0 - \rho_t) g = \frac{m(\rho_0 - \rho_t)}{\rho_4} g, \quad (2)$$

где  $\rho_0$  - плотность воздуха при  $273^{\circ}\text{K}$ ,

$\rho_t$  - плотность воздуха при плазменной температуре.

Сила сопротивления описывается выражением:

$$F_C = \theta \cdot \pi \cdot r \cdot \eta \cdot V, \quad (3)$$

где  $r$  - радиус частицы,

$\eta$  - вязкость воздуха при плазменной температуре,

$V$  - скорость движения частицы.

Уравнение (1) с учетом (2) и (3) запишем в виде:

$$m \frac{dV}{dt} = mg - m(\rho_0 - \rho_t) \frac{g}{\rho_4} - 6 \pi \eta r V$$

$$\text{или } m \frac{dV}{dt} = mg \left[ 1 - \frac{\rho_0 - \rho_t}{\rho_4} \right] - 6 \pi \eta r V, \quad (4)$$

а уравнение (4) представим так:

$$\frac{dV}{dt} = A - \frac{B}{r} V, \text{ где } A = \left[ 1 - \frac{\rho_0 - \rho_t}{\rho_4} \right] g; B = \frac{18}{4} \cdot \frac{\eta}{\rho_4} r \quad (5)$$

Интегрирование уравнения (5) приводит к решению:

$$V = [A(1 - e^{-\frac{B}{2}(t-t_0)}) + \frac{B \cdot V_0}{2} e^{-\frac{B}{2}(t-t_0)}] \frac{\tau^2}{8} \quad (6)$$

Таким образом, скорость движения частицы в нагретом облаке описывается формулой (6). Пусть начальные условия таковы:  $V_0 = 0$ ;  $t_0 = 0$ .

Скорость переменного движения является производной от пройденного пути по времени:  $\frac{dH}{dt} = V$

(7)

На основании найденного закона для скорости движения частицы (6) входим интеграл по пути и времени в уравнении (7):

$$\text{или } \int_{0}^{H} dH = \int_{0}^{t} A(1 - e^{-\frac{B}{2}t}) \cdot \frac{\tau^2}{8} dt \\ \Delta H = A \cdot \frac{\tau^2}{8} \cdot \Delta t - A \cdot \frac{\tau^4}{B^2} \cdot e^{-\frac{B}{2}t} (1 - e^{-\frac{B}{2}\Delta t}), \quad (8)$$

где  $\Delta H = H_i - H$ ;  $\Delta t = t_i - t$

Здесь:  $\Delta H$  – путь, проходимый частицей сквозь плазму,  $\Delta t$  – время прохождения частицей этого пути.

Рассмотрение процесса испарения частицы показывает, что время полного испарения определяется формулой:

$$t_0 \approx \frac{\tau_0 \cdot \rho_4 \cdot Q}{2 \cdot \lambda \cdot T_n}, \quad (9)$$

где  $\tau_0$  – первоначальный радиус частицы,

$\rho_4$  – плотность вещества частицы,

$Q$  – удельная энергия испарения вещества частицы,

$\lambda$  – теплопроводность вещества,

$T_n$  – температура среды.

При полном испарении частицы, проходящей плазменное облако диаметром  $\Delta H$ ,  $\Delta t$  в формуле (8), очевидно, должно быть равно  $t_0$ , и (6), с учетом последнего выражения, примет вид:

$$\Delta H = A \cdot \frac{\tau^2}{8} \cdot \frac{\tau_0^2 \cdot \rho_4 \cdot Q}{2 \cdot \lambda \cdot T_n} - A \cdot \frac{\tau^4}{B^2} \cdot e^{-\frac{B}{2} \cdot \frac{\tau_0^2 \cdot \rho_4 \cdot Q}{2 \cdot \lambda \cdot T_n}} \left( 1 - e^{-\frac{B}{2} \cdot \frac{\tau^2 \cdot \rho_4 \cdot Q}{2 \cdot \lambda \cdot T_n}} \right) \quad (10)$$

В целях упрощения задачи заменим переменную  $\tau$ , меняющуюся в процессе испарения от  $\tau_0$  до 0, средним значением за время испарения  $\tau = \frac{\tau_0}{2}$ . Тогда:

$$\Delta H \approx A \cdot \frac{\tau_0^4}{8 \cdot B} \cdot \frac{\rho_4 \cdot Q}{\lambda \cdot T_n} - A \cdot \frac{\tau_0^4}{16 \cdot B^2} \cdot e^{-\frac{B}{2} \cdot \frac{\rho_4 \cdot Q}{\lambda \cdot T_n}} \left( 1 - e^{-\frac{B}{2} \cdot \frac{\rho_4 \cdot Q}{\lambda \cdot T_n}} \right) \quad (II)$$

Учитывая то, что второе слагаемое в (II) много меньше первого, выражение это можно записать так:

$$\Delta H \approx A \cdot \frac{t_0^4}{8 \cdot 8} \cdot \frac{\rho_4 \cdot Q}{\lambda \cdot T_n}, \quad (12)$$

откуда

$$t_0^4 \approx \frac{8 \cdot 8}{A} \cdot \frac{\lambda \cdot T_n}{\rho_4 \cdot Q} \Delta H$$

или

$$t_0^4 \approx \frac{144 \cdot \eta \cdot \lambda \cdot T_n \cdot \Delta H}{[\rho_4 - (\rho_o - \rho_T)] \cdot g \cdot \rho_4 \cdot Q}$$

Таким образом, полученная формула показывает явную зависимость процесса испарения от физических свойств вещества частицы и параметров плавленного облака. Следует отметить, что минералы с различными физическими свойствами имеют практически одинаковый радиус полного испарения. Расчеты, проведенные по данной формуле, показывают, что для большинства типов пород минералов, поступающих на анализ в спектральную лабораторию КазИМСа, радиус полного испарения колеблется в пределах 50-150 микрон, что соответствует истерости 200-100 меш. Так как проба поступает различного состава, то для получения достоверных результатов необходимо, чтобы дисперсность пробы была не менее 200 меш.

А.А.Петров, Б.В.Пилат .

### СТРУКТУРНЫЕ ИЗМЕНЕНИЯ ЖИДКОЙ ФАЗЫ ПРИ АДСОРБИИ ПЕТЕРОПОЛЯРНЫХ СОБИРАТЕЛЕЙ НА СУЛЬФИДАХ, ИЗМЕРЕНИЯ МЕТОДОМ ЯДЕРНОГО МАГНИТНОГО РЕЗОНАНСА (ЯМР)

В работах Б.В.Дерягина было экспериментально доказано, что явления на границе раздела твердой и жидкой фаз следует рассматривать в трехмерном аспекте, учитывая объемный характер действия поверхностных сил. Как показали исследования Глембоцкого [3, 4], наблюдаемое при флотации различие в действии сульфидильных собирателей нормального и изостроения объясняется изменениями в объемной упорядоченности гид-

ративных слоев на поверхности сульфидных частиц. В ряде работ отмечена перспективность применения метода ЯМР для исследования состояния воды в минеральных дисперсных системах [5, 6, 12]. С помощью этого метода была получена важная информация о диффузии молекул воды в гидратных слоях, фазовых переходах, об активированных центрах адсорбции [12, 13].

Ядерный магнитный резонанс является одним из радиоспектроскопических методов, связанных с квантованием энергии атомных ядер в сильных магнитных полях, а также с возбуждением переходов между возникающими зеемановскими энергетическими подуровнями путем наложения переменного электромагнитного поля. Поглощение радиочастотной энергии этого поля системой магнитных дипольных моментов исследуемого вещества детектируется на радиоспектрометре как сигнал ЯМР. Величина параметров ЯМР (ширины резонансного сигнала и второго момента) зависит от интенсивности процессов ядерной магнитной релаксации, приводящих систему моментов к энергетическому равновесию. Для воды, адсорбированной на твердой поверхности, основными механизмами ядерной релаксации являются трансляционное и вращательное движения молекул воды в гидратных слоях. Гетерогенность поверхности минералов обуславливает активированный характер диффузии молекул воды в гидратной оболочке частиц, которое подчиняется уравнению Френкеля [7] :

$$\tau = \tau_c \exp\left(\frac{E}{kT}\right),$$

где  $\tau$  - время пребывания молекул воды из адсорбционном центре,

$\tau_c$  - период колебаний молекул воды около положения равновесия,

$E$  - высота потенциального барьера, отделяющего два соседних центра адсорбции,

$k$  - постоянная Больцмана,

$T$  - абсолютная температура.

Как показали исследования Резинга и Томпсона [14], время совпадает по физическому смыслу и порядку величины со временем ЯМР корреляции  $\tau_c$ , которое может быть определено по известной величине ширины сигнала ЯМР  $\Delta H$ . С усилением гидратации твердой поверхности уменьшается подвижность молекул воды в гидратных слоях, что соответствует увеличению времени корреляции  $\tau_c$ . Поскольку между величинами  $\tau_c$  и  $\Delta H$  существует прямая пропорциональная зависимость, гидрофильным поверхностям отвечают более широкие сигналы ЯМР, чем гидрофобным, что согласуется с полученными в данной работе результатами.

В настоящей работе методом ЯМР на протоках исследовались структурные изменения водной фазы в дисперсных сульфидных системах при ад-

сорбции на поверхности минеральных частиц бутилового ксантогената и нового реагента-собирателя ИР-70.

Измерения проводились на серийном радиоспектрометре ЯМР для широких линий РЯ 230I на частоте 39 МГц при температуре 25°C. Гидратация поверхности сульфидных минералов сфалерита, халькопирита, пирита и галенита оценивалась по ширине сигнала ЯМР от протонов воды. Методика приготовления образцов была следующая: навеска минерала 7 г с крупностью частиц -75 +100 мк агитировалась с различными количествами флотореагентов при отношении T:Ж:I:10 в течение 3 минут. После агитации лишняя вода отделялась фильтрацией, а осадок переводился в пробирку для измерений на приборе. Экспериментальная проверка влияния парамагнитных примесей, аналогичная работе [6] показала, что имеющееся количество примесей не изменяет ширину сигналов ЯМР.

По экспериментальным зависимостям (рис.1 и 2) можно проследить изменения гидратации сульфидных минералов при различных расходах анионного собирателя бутилового ксантогената и катионного собирателя ИР-70. Подробная информация о флотореагенте ИР-70, относящегося к классу сложных аминов, дана в работе [8]. Адсорбция ионов ксантогената на поверхности сульфидов приводит к образованию химически связанного слоя невыщелачиваемого ксантогената, на котором соадсорбируется диксантогенид [9], следствием чего является постепенное деструктурирование гидратных слоев и увеличение подвижности молекул воды в поле поверхностных сил. Важной особенностью полученных результатов является рост гидратации сульфидов при повышенных расходах ксантогената, который можно объяснить началом физической адсорбции ионов ксантогената на диксантогениде с направлением солидоильных групп в водную fazу. По этой причине мы наблюдаем заметное увеличение гидратации сульфидов. Начало физической адсорбции ксантогената на диксантогениде может служить критерием для выбора оптимальных концентраций флотореагента при флотации сульфидных минералов.

При использовании катионного собирателя ИР-70 для большинства исследуемых сульфидов, за исключением сфалерита, гидратация изменяется незначительно, что свидетельствует о физическом характере адсорбции реагента. Экстремальный ход зависимости для сфалерита указывает, по-видимому, на наличие хемосорбции ИР-70. По данным Дуденкова, в щелочной среде на поверхности сульфидов вместе с катионом амина соадсорбируется и молекулярный амин, образуя комплексное соединение [10]. В нашем случае этот механизм применим только к сфалериту. Вероятно, при избытке ИР-70 идет дополнительная адсорбция катионов на молеку-

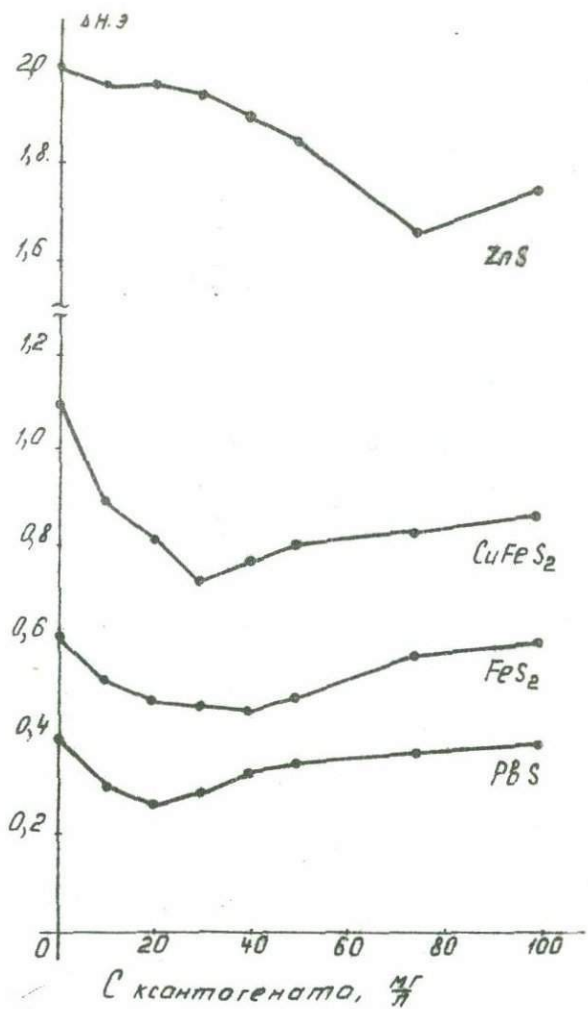
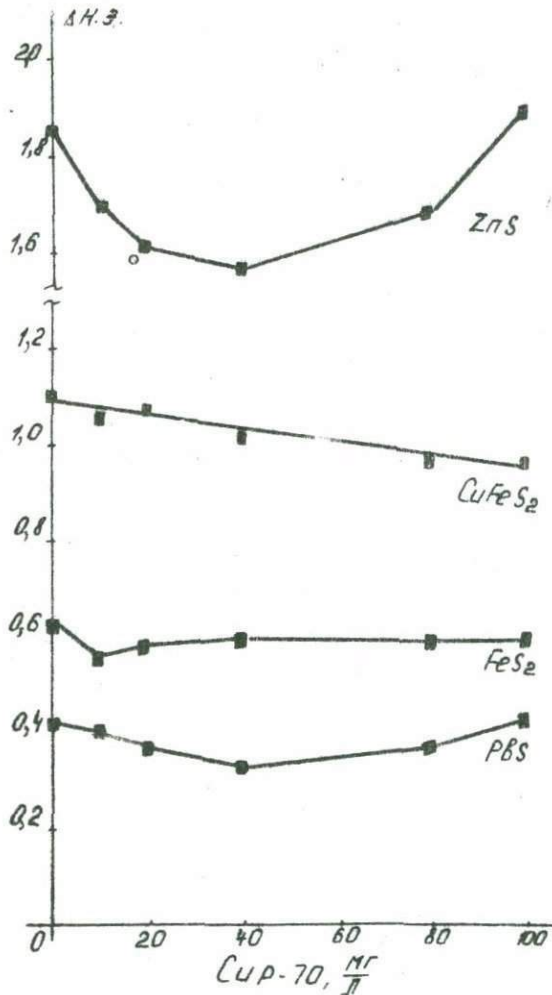


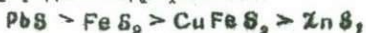
Рис. I. Зависимость гидратации сульфидов от расхода бутилового ксантогената



Р и с. 2. Зависимость гидратации сульфидов от расхода ИР-70

лярной пленке реагента, приводящая к повышению гидратации частиц.

Сравнение ширины сигнала ЯМР для водной фазы на поверхности сульфидных минералов в безреагентном режиме  $\Delta H_{\text{ZnS}} = 2\text{e}$ ,  $\Delta H_{\text{CuFeS}_2} = 1,1\text{e}$ ,  $\Delta H_{\text{FeS}_2} = 0,6\text{e}$ ,  $\Delta H_{\text{PbS}} = 0,4\text{e}$  с шириной сигнала ЯМР бидистилированной воды  $\Delta H_{\text{H}_2\text{O}} = 0,16\text{e}$  выявляет наличие объемной структурной упорядоченности поверхностной воды при заполнениях, значительно превышающих монослойные. При этом подвижность молекул воды в гидратных слоях существенно меньше таковой в бидистилляте. Например, для сфalerита это различие достигает одного порядка по величине. Используя значения  $\Delta H_{\text{Mes}}$ , можно расположить сульфидные минералы в следующий ряд по возрастанию природной гидрофобности:



представляющий несомненный интерес в связи с имеющимися разногласиями по этому вопросу в литературе по флотации [II].

По полученным результатам можно предложить следующую модель гидратации сульфидных минералов. Под влиянием поля поверхностных сил изменяется структура и ориентация прилегающего гидратного слоя, который, перестраивая систему водородных связей и дипольных моментов молекул соседнего с ним следующего слоя воды, в свою очередь изменяет его структуру. Такой "эстафетный" процесс начинается на поверхностных активных центрах, которыми могут быть различные функциональные группы, например, гидроксили, и может продолжаться на расстояние порядка нескольких микрон.

## ЛИТЕРАТУРА

1. Б.В.Дерягин. Сб. Исследования в области поверхностных сил. М., "Наука", 1964.

2. Б.В.Дерягин, Н.В.Чуряев. Новые свойства жидкостей. М., "Наука", 1971.

3. В.А.Глембецкий, А.Е.Колчеманова. Устойчивость и методы разрушения адсорбционных слоев при флотации. М., "Наука", 1967.

4. В.А.Глембецкий. Физико-химия флотационных процессов. М., "Недра", 1972.

3. Н.А.Абрамов, Л.А.Байдаков, Л.П.Страхов.  
Коллоидн.ж., 34, 3, 1972.
6. М.А.Эйгелес, Б.М.Моисеев и др. Докл. АН СССР, 185, 1101, 1969.
7. Я.И.Френкель. Статистическая физика. М.-Л., АН СССР, 1948.
8. Б.В.Левинский, Д.И.Коган и др. Цветная металлургия, № II, 16, 1972.
9. М.С.Прасад, С.Р.Рао. Обогащение полезных ископаемых. Экспресс-информация, № 40, 1970.
10. С.В.Луденков, Л.Я.Шубов и др. Основы теории и практика применения флотационных реагентов. М., "Недра", 1969.
11. С.И.Митрофанов. Селективная флотация. М., "Недра", 1967.
12. W. Drost-Hansen, Ind. Eng. Chem, 61, 10, 1969.
13. H.A. Resing. J. Chem. Phys, 43, 669, 1965.
14. H.A. Resing, J.K. Thomson, J.J. Krebs, J. Phys, Chem, 68, 1621, 1964

Л.А.Мандибура, Б.М.Ахметов

### ВЛИЯНИЕ ПРИМЕСИ НА ИНТЕНСИВНОСТЬ ИЗЛУЧЕНИЯ СПЕКТРАЛЬНОЙ ЛИНИИ АНАЛИЗИРУЕМОГО ЭЛЕМЕНТА

Интенсивность излучения спектральной линии элемента из единицы объема плазмы определяется формулой:

$$J = c \cdot \gamma \cdot n \cdot \epsilon^{-\frac{E}{kT}} \quad (I)$$

где  $c, \gamma, \epsilon$  - параметры, которые для плазмотрона могут считаться постоянными;

$n$  - концентрация излучающего элемента;

$E$  - энергия возбуждения спектральной линии;

$T$  - температура излучающего облака;  
 $k$  - постоянная Больцмана.

Температура системы частиц характеризует среднюю энергию движения их. Средняя энергия частицы (заряда) в поле находится так:

$$W = \lambda \cdot e \cdot E_0, \quad (2)$$

где  $\lambda$  - длина свободного пробега;

$E_0$  - напряженность электрического поля;

$e$  - заряд частицы.

Тогда температура плазмы, находящейся во внешнем электрическом поле:

$$T = \frac{2}{3} \cdot \frac{\lambda \cdot e \cdot E_0}{R} \cdot n_e \quad (3)$$

где  $n_e$  - концентрация электронов;

$R$  - постоянная.

Напряженность электрического поля в плазменной струе плазмотрона описывается формулой<sup>x)</sup>:

$$E_0 = K^t \cdot p^n \cdot i^m, \quad (4)$$

где  $K, p, m$  - постоянные;

$i$  - сила тока разряда в амперах;

$p$  - давление в атм.

Значения постоянных  $K, p, m$  для плазмотрона конструкции КазИМСа определены Худайбердиевым.<sup>xx)</sup>

Концентрация электронов связана с параметрами плазмы соотношением:

$$n_e = 1,6 \cdot 10^4 \sqrt{\frac{g_p}{g_q}} \cdot p^{\frac{1}{2}} \cdot T^{\frac{1}{4}} \cdot e^{-\frac{eU_i}{2kT}} \quad (5)$$

где  $U_i$  - потенциал ионизации элемента;

$g_p, g_q$  - статистические веса атома и электрона соответственно.

Подставляя (4) и (5) в (3) получим:

$$T = \frac{2}{3} \cdot \frac{\lambda \cdot e}{R} \cdot K^t \cdot p^n \cdot i^m \cdot 1,6 \cdot 10^4 \sqrt{\frac{g_p}{g_q}} \cdot p^{\frac{1}{2}} \cdot T^{\frac{1}{4}} \cdot e^{-\frac{eU_i}{2kT}}$$

или  $T = C \cdot T^{\frac{1}{4}} \cdot e^{-\frac{eU_i}{2kT}},$

(6)

$$\text{где } C = \frac{2}{3} \cdot \frac{\lambda \cdot e}{R} \cdot K^t \cdot p^{n+\frac{1}{2}} \cdot i^m \cdot 1,6 \cdot 10^4 \sqrt{\frac{g_p}{g_q}}$$

Логарифмирование и разложение в ряд уравнения (6) приводит к решению:

$$T = A \cdot U_i, \quad (7)$$

X) Грановский В.Л. Электрический ток в газе. Установившийся ток. М., "Наука", 1971, с.221.

xx) Худайбердиев К.К. Сибирское УШ совещание по спектроскопии. Иркутск, 1972, с.190.

где  $A = \text{const}$

Интенсивность излучения спектральной линии иона равна:

$$J_i = c \cdot \gamma \cdot n_a \cdot x_a \cdot e^{-\frac{U_i}{kT}} \cdot T, \quad (8)$$

где  $x_a$  – степень ионизации элемента;

$n_a$  – концентрация атомов анализируемого элемента.

Степень ионизации элемента при введении примеси в плазму выражается формулой:

$$\frac{x_a}{1-x_a} \cdot \frac{x_{\text{рез}}}{1-x_{\text{рез}}} = 3,16 \cdot 10^{-\frac{3}{4}} \cdot T^{\frac{1}{4}} \cdot e^{-\frac{U_a}{kT}}, \quad (9)$$

где  $x_{\text{рез}}$  – результирующая степень ионизации;

$U_a$  – потенциал ионизации анализируемого элемента.

Введем понятие среднего значения степени ионизации ( $\bar{x}_a$ ), которое определяется соотношением:  $\bar{x}_a = \sqrt{x_a \cdot x_{\text{рез}}}$

Тогда (9) можно представить с некоторым приближением в виде:

$$\bar{x}_a \approx \sqrt{3,16 \cdot 10^{-\frac{3}{4}} \cdot T^{\frac{1}{4}} \cdot e^{-\frac{U_a}{2kT}}} \quad (10)$$

Формула (8) с учетом (7) и (10) примет вид:  $J_i = c \cdot \gamma \cdot n_a \cdot \sqrt{3,16 \cdot 10^{-\frac{3}{4}}} \cdot A^{\frac{1}{4}} \cdot U_i^{\frac{1}{4}} \cdot T \cdot e^{-\frac{U_i}{2kA}} \cdot e^{-\frac{E}{k \cdot A \cdot U_i}}$

$$\text{или } J_i = \mathcal{D} \cdot U_i^{\frac{1}{4}} \cdot \exp\left(-\frac{\alpha + \beta}{U_i}\right) \quad (11)$$

$$\text{где } \mathcal{D} = c \cdot \gamma \cdot n_a \cdot \sqrt{3,16 \cdot 10^{-\frac{3}{4}}} \cdot A^{\frac{1}{4}} \cdot T; \quad \alpha = \frac{U_a}{2kA}; \quad \beta = \frac{E}{k \cdot A}$$

Пусть элемент находится в плазме без примесей, тогда интенсивности излучения ионной линии

$$J_i = \mathcal{D} \cdot U_i^{\frac{1}{4}} \cdot \exp\left(-\frac{\alpha + \beta}{U_i}\right) \quad (12)$$

Если в плазму вводятся примеси, то интенсивность излучения ионной линии анализируемого элемента изменяется:

$$J_{i,\text{рез}} = \mathcal{D} \cdot U_{i,\text{рез}}^{\frac{1}{4}} \cdot \exp\left(-\frac{\alpha + \beta}{U_{i,\text{рез}}}\right), \quad (13)$$

$$\text{где } U_{i,\text{рез}} = k \cdot T \cdot \ln\left(\frac{N_1}{N_o} e^{-\frac{U_1}{kT}} + \frac{N_2}{N_o} e^{-\frac{U_2}{kT}} + \dots + \frac{N_n}{N_o} e^{-\frac{U_n}{kT}}\right)$$

Рассмотрим отношение интенсивности ионной линии в "чистой" плазме и в плазме с примесью:

$$\frac{J_i}{J_{i\text{pl}}^0} = \frac{U_i^{\frac{5}{4}}}{U_{i\text{pl}}^{\frac{5}{4}}} \cdot \exp \left[ (\alpha + \beta) \frac{-U_{i\text{pl}} + U_i}{U_i \cdot U_{i\text{pl}}} \right].$$

Отсюда

$$J_{i\text{pl}}^0 = J_i \frac{U_i^{\frac{5}{4}}}{U_i^{\frac{5}{4}}} \cdot \exp \left[ (\alpha + \beta) \frac{U_{i\text{pl}} - U_i}{U_i \cdot U_{i\text{pl}}} \right].$$

Таким образом, при введении в плазму элементов с потенциалом ионизации более низким, чем потенциал ионизации анализируемого элемента, происходит спад интенсивности излучения ионной линии этого элемента. Коэффициент изменения интенсивности определяется потенциалом ионизации и количеством вводимого элемента.

О.В.Эстерле, О.В.Козлов

### КАРМАНИЙ ЛЮМИНОСКОП

Среди причин, вызывающих люминесценцию минералов, основными являются наличие в кристаллической решетке примесей элементов редких земель, ионов  $Mn^+$ ,  $Cr^+$ ,  $(UO_2)^+$ , а также дефекты решетки (Василькова и др., 1969).

При минералогических исследованиях наибольшее применение находит фотолюминесценция (облучение ультрафиолетовым светом), термolumинесценция (свечение при нагревании) и катодолюминесценция (свечение при бомбардировке поверхности минерала электронами). Люминесценция применяется в основном при диагностике и полукачественном фазовом анализе, а также при решении вопросов генезиса руд (Комовский и др., 1954).

С точки зрения приборного оформления наиболее доступно использование метода фотолюминесценции, который применяется при диагностике шеелитов, корунда, алмаза, минералов урана, битумов при поиске нефти и т.д. (Василькова и др., 1969).

При разработке малогабаритного источника ультрафиолетового света

для возбуждения фотолюминесценции легко ломинесцирующих минералов наиболее подходящей является ртутно-кварцевая лампа в тлеющем режиме (Королев, 1973) как с точки зрения экономичности, так и по габаритам. Соперничать с этим источником может лишь искровой разряд в воздухе, однако по соображениям техники безопасности от него приходится отказаться. Безэлектродные высокочастотные лампы имеют сложный, дорогой и тяжелый источник питания (Верников и др., 1973).

Основными элементами переносного источника ультрафиолетового света, определяющими его размер и вес, являются ртутно-кварцевая лампа и батарея питания. Применение серийных ламп типа ПРК, Д-220, Д-375 и т.д. не позволяет сделать прибор меньше чем 210 x 96 x 40 мм и легче 900 г (Королев, 1973). Для полевого прибора индивидуального пользования такой вес и габариты являются значительными.

Использование ртутно-кварцевой лампы, извлеченной из серийной люминесцентной осветительной лампы типа ДРЛ-125 или РОЛАМ (польского производства), позволяет значительно сократить габариты (135 x 95 x 25 мм), вес (350 г) и потребляемую энергию прибора.

Для повышения надежности работы прибора в условиях жаркого среднеазиатского лета германьевый транзистор П201Э заменен кремниевым типа МПП13А, имеющим также и меньшие габариты.

Всесторонние испытания прибора дали хорошие результаты.

Ш.Ш.Садыков, Р.Н.Ким

### ОПРЕДЕЛЕНИЕ ЦИНКА, МЕДИ И КАДМИЯ МЕТОДОМ АТОМНОЙ ФЛУОРЕСЦЕНЦИИ

В 1964 году появились первые работы Дж. Вайнфорднера [1, 2] по исследованию атомной флуоресценции. В основу этого метода положено следующее физическое явление: атомы, поглощая свет определенных длин волн, возбуждаются, переходят с низких энергетических уровней на более высокие, а через некоторое время возвращаются на низкие энергетические уровни, излучая в некоторых случаях свет. Этот физический про-

цесс называется оптической флуоресценцией. Интенсивность флуоресценции зависит от величины светового потока, а также от степени взаимодействия атомов с этим потоком: если свет плохо поглощается атомами, то и процесс этот будет выражен слабо. Для исследования атомной флуоресценции ряд авторов использует приборы разных модификаций: фотометр постоянного тока, бездисперсионный фотометр и др. Для определения цинка, меди и кадмия методом атомной флуоресценции нами был сконструирован фотометр переменного тока, отличительной особенностью которого является то, что с его помощью можно отделить эмиссионное излучение и снизить шумы фотоумножителя. Фотометр (рис. I) собран на основе кварцевого монохроматора ЗМР-3, источником света служили высокочастотные безэлектродные лампы, регистрирующая система состояла из фотоумножителя, селективного усилия-

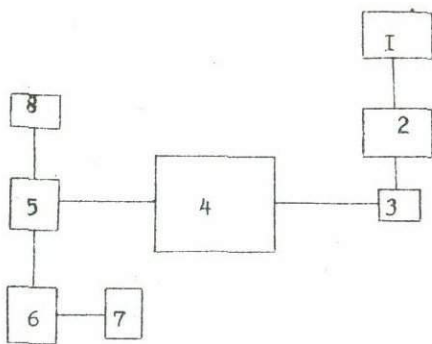


Рис. I. Схема экспериментальной установки: 1 - генератор сигналов; 2 - высокочастотный генератор; 3 - атомизатор; 4 - монохроматор; 5 - фотоумножитель; 6 - селективный усилитель; 7 - электронный самописец; 8 - источник питания ФЭУ

теля и самописца ЭПП-09. Атомизация элементов производилась горелкой предварительного смешивания газов. Распыление раствора в пламени производилось угольковым распылителем. В наших экспериментах в качестве горючих газов применялась смесь – пропан–бутан с воздухом. Эталонные растворы цинка, меди и кадмия приготавливались путем растворения химически

чистых металлов в азотной кислоте с дальнейшим разбавлением в бидистиллированной воде. Градуировочные графики строили в координатах  $I_f$  от С, где  $I_f$  - интенсивность флуоресцентного сигнала в относительных единицах, а С - концентрация определяемого элемента в мкг/мл. Как видно из рис. 2, градуировочные линии прямолинейны до концентрации 7,5 мкг/мл.

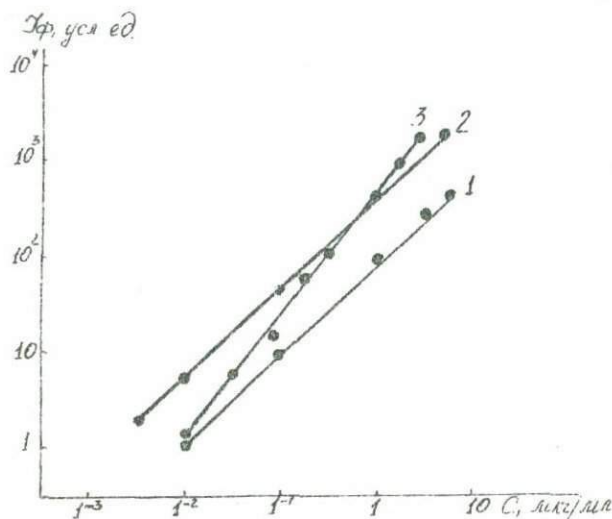


Рис. 2. Зависимость концентрации "С" меди 1, цинка 2, кадмия 3 от интенсивности флуоресценции

что имеет важное значение при проведении аналитических работ. Результаты эксперимента были сравнены с результатами, полученными на атомно-флуоресцентном фотометре постоянного тока (таблица).

Таблица

Элемент	Атомно-флуоресцентный фотометр постоянного тока, мкг/мл	Атомно-флуоресцентный фотометр переменного тока, мкг/мл [4]
Медь	0,015	0,01
Цинк	0,01	0,006
Кадмий	-	0,01

Для повышения чувствительности атомно-абсорбционного анализа предложен импульсный метод испарения проб [3]. Данный метод мы решили использовать при определении кадмия методом атомной флуоресценции. Конструкция импульсного атомизатора весьма проста (рис. 3): графитовый стержень, изготовленный из спектрального угля марки С-З, вводился в

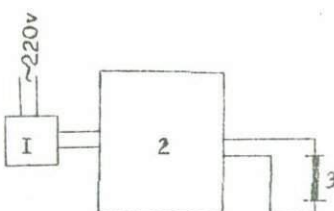
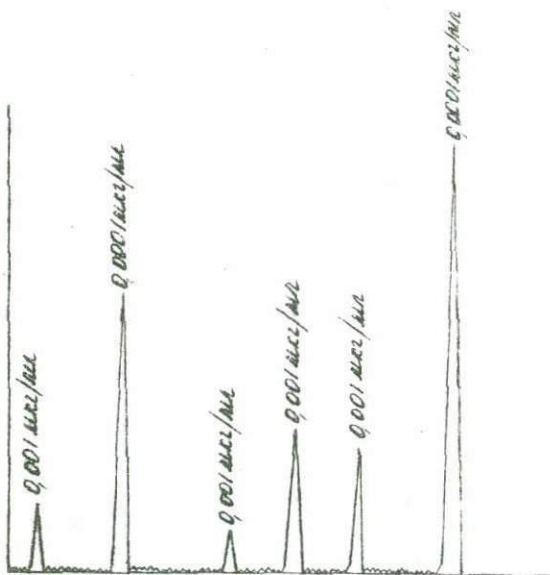


Рис. 3. I - автотрансформатор, 2 - понижающий трансформатор, 3 - угольный электрод

пламя с помощью специального держателя. Стержень нагревался переменным током от понижающего трансформатора мощностью 0,7 квт. Размеры стержня: длина - 100 мм, диаметр - 6 мм, диаметр канала для пробы - 3,2 мм. Анализ проводился следующим образом: стержень вставлялся в зажимы держателя и обжигался от примесей в тех же условиях, в которых проводились измерения, далее стержень после охлаждения обрабатывался раствором полистирола в бензole (0,2%), затем пипеткой наносилась капля пробы, которая просушивалась при пропускании через стержень тока. Свет от источника фокусировался над каналом с пробой. Минимальная концентрация, обнаруженная данным методом, была равна 0,0001 мкг/мл кадмия. На рис. 4 представлена регистрограмма определения кадмия. Пики для соответствующих концентраций (0,001 и 0,0001 мкг/мл) не одинаковы. Это обусловлено, вероятно, тем, что мы пользовались разными стержнями, обладающими не одинаковыми электрическими свойствами.

Таким образом, результаты эксперимента показали возможность применения атомно-флуоресцентного фотометра переменного тока с угольным распылителем и атомизатором "пламя-печь" в аналитической практике.



Р и с. 4. Регистрограмма измерения флуоресценции кадмия атомизатором  
"печь-пламя"

#### ЛИТЕРАТУРА

1. Winefordner J.D, Vickers T.J., Anal. Chem, 36, 161, 1964
2. Winefordner J.D, Staab R.A., Anal. Chem, 36, 165, 1964
3. Борзов В.П., Львов Б.В., Плющ Г.В. ЖС, II, 217, 1969.
4. Бетин Ю.П., Верховский Б.И. и др. Тр. ВНИИ. Цветмет-автоматика, вып. 2, 84, 1971.

ЗАВИСИМОСТЬ ИНТЕНСИВНОСТИ ИЗЛУЧЕНИЯ  
СПЕКТРАЛЬНОЙ ЛИНИИ ОТ ДИСПЕРСНОСТИ  
АНАЛИЗИРУЕМОЙ ПРОБЫ

Интенсивность излучения спектральной линии нейтрального атома при условии полной диссоциации соединений, вносимых в разряд, и отсутствии самопоглощения определяется выражением:

$$J = c \cdot \gamma \cdot \tau \cdot n_e (1-x) \cdot e^{-\frac{E}{kT}} \quad (1)$$

где  $c$  - постоянная,

$\gamma$  - коэффициент использования паров.

$\tau$  - время пребывания атома в зоне разряда.

$n_e$  - количество атомов, поступающих в единицу объема разряда.

$x$  - степень ионизации атомов.

$E$  - энергия возбуждения спектральной линии.

$T$  - температура разряда.

$k$  - постоянная Больцмана.

В выражении (1) постоянными будут величины:  $c$ ,  $\gamma$ ,  $E$ ,  $k$ . Общее излучение атомов анализируемого элемента в зоне разряда в течение времени  $\Delta t$  находим так:

$$\Delta J_{\Sigma} = c \cdot \gamma \cdot \tau \cdot N \cdot (1-x) \cdot e^{-\frac{E}{kT}} \cdot \Delta t, \quad (2)$$

Здесь  $N$  - общее число атомов анализируемого элемента в зоне разряда.

Количество атомов анализируемого элемента пропорционально массе вещества, испарившейся с частицы породы за время  $\Delta t$ :

$$N = \alpha \cdot \beta \cdot \Delta m, \quad (3)$$

где  $\alpha$  - концентрация анализируемого элемента в веществе пробы,

$\beta$  - коэффициент перехода от концентрации анализируемого элемента в веществе пробы к концентрации этого элемента в разряде,

$\Delta m$  - масса испарившегося вещества с частицы пробы.

Известно, что время пребывания атома в плазменном облаке определяется радиусом облака ( $R$ ) и коэффициентом диффузии ( $D$ ) (Русанов, 1969):

$$T = \frac{R^2}{(2.4)^2 D} \quad (4)$$

Радиус разряда определяется, как показал А.К.Русанов, соотношением:

$$R^2 = m \cdot i^2 \quad (5)$$

где  $i$  — меняется от 1,7 (при высоких значениях потенциала ионизации дугового газа) до 1,0 (при низких значениях),

$m$  — постоянная,

$i$  — сила тока в разряде.

Коэффициент диффузии при данной температуре ( $T$ ) связан с коэффициентом диффузии ( $D_0$ ) при нормальных условиях (1 атм., 273°К) соотношением (Львов, 1966):

$$D = D_0 \left( \frac{T}{T_0} \right)^n \cdot \left( \frac{\rho_0}{\rho} \right), \quad (6)$$

где  $n$  принимает значения от 1,5 до 2,0 для различных газов.

Зависимость давления от температуры следует известному закону:

$$\rho = \rho_0 (1 + \alpha \cdot T) \quad (7)$$

Температура плазменного облака пропорциональна эффективному ионизационному потенциалу плазмы (Мандибура, Ахметов, 1975)

$$T = A \cdot U_{\text{эфф}} \quad (8)$$

Изменение радиуса при испарении небольших частиц подчиняется соотношению, полученному экспериментально Срезневским:

$$R^2 = R_0^2 - K \cdot t, \quad (9)$$

$$K = \frac{\lambda \cdot Q}{\rho_0 \cdot Q}$$

где

$R_0$  — начальный радиус частицы,

$\lambda$  — коэффициент теплопроводности газа,

$T_0$  — температура среды (°К),

$T_{cT}$  — стационарная температура поверхности частицы,

$\rho_0$  — плотность частицы,

$Q$  — скрытая теплота испарения.

Из формулы (9) можно перейти к закону испарения вещества частицы:

$$m_0 - m = \Delta m = m_0 \left[ 1 - \left( 1 - \frac{K}{R_0^2} t \right)^{\frac{1}{2}} \right] \quad (10)$$

Степень ионизации  $\bar{x}$  при введении в плазменное облако элементов с различными потенциалами ионизации выражим в (2) через среднее значение степени ионизации элемента  $\bar{x}$ :

$$\bar{x} = \sqrt{3.16 \cdot 10^{-7} \cdot T^{\frac{5}{4}}} \cdot e^{-\frac{U}{2kT}}, \quad (11)$$

где  $U$  – потенциал ионизации анализируемого элемента. Таким образом, выражение (2), с учетом (3), (4), (5), (6), (7), (8), (10) и (11), можно представить в виде:

$$\Delta J_{\Sigma} = c \cdot \gamma \cdot \frac{m \cdot i \cdot t}{(2A)^{\frac{5}{2}} D_0 \cdot T_0^n} \cdot \frac{(1 + \lambda^{\frac{1}{2}} A \cdot U_{\text{зпф}})}{(A \cdot U_{\text{зпф}})^n} \cdot \lambda \cdot \beta \cdot \frac{4}{3} \pi \cdot \rho_4 \cdot [1 - \sqrt{3,16 \cdot 10^{-7}} (A \cdot U_{\text{зпф}})^{\frac{5}{4}}]$$

или  $\Delta J_{\Sigma} = L \cdot U \cdot \tau_0^3 [1 - (1 - \frac{\lambda}{\tau_0^2} t)^{\frac{3}{2}}] \Delta t$   
 $\Delta J_{\Sigma} = L \cdot U \cdot \tau_0^3 [1 - (1 - \frac{\lambda}{\tau_0^2} t)^{\frac{3}{2}}] \Delta t$ , (12)

где  $L = c \cdot \gamma \cdot \frac{m \cdot i \cdot t}{(2A)^{\frac{5}{2}} D_0 \cdot T_0^n} \cdot \lambda \cdot \beta \cdot \frac{4}{3} \pi \cdot \rho_4$

$$U = \frac{(1 + \lambda^{\frac{1}{2}} A \cdot U_{\text{зпф}})}{(A \cdot U_{\text{зпф}})^n} [1 - \sqrt{3,16 \cdot 10^{-7}} (A \cdot U_{\text{зпф}})^{\frac{5}{4}}] \cdot e^{-\frac{U}{2\kappa \cdot A \cdot U_{\text{зпф}}}} \cdot e^{-\frac{E}{\kappa \cdot A \cdot U_{\text{зпф}}}}$$

Проинтегрируем выражение (12) по времени:

$$\int_0^t \Delta J_{\Sigma} dt = L \cdot U \cdot \tau_0^3 \int_0^t [1 - (1 - \frac{\lambda}{\tau_0^2} t)^{\frac{3}{2}}] dt$$

$$J_{\Sigma} = L \cdot U \cdot \tau_0^3 \left\{ t + \frac{2}{5} \cdot \frac{\tau_0^2}{\lambda} [(1 - \frac{\lambda}{\tau_0^2} t)^{\frac{5}{2}} - 1] \right\}$$
 (13)

Полученное выражение имеет следующий физический смысл: это интегральная энергия, излучаемая атомами анализируемого элемента, испарявшимися с одной частицы пробы в течение времени  $t$  и находившимися в излучающем облаке. В формуле (13) время пребывания частицы в разряде ( $t$ ) должно быть функцией радиуса частицы, если только на нее действуют силы сопротивления при движении в плазменном облаке. В работе Б.М.Ахметова<sup>x)</sup> при рассмотрении движения частицы с учетом сил сопротивления было показано, что движение (при нулевых начальных условиях) подчиняется закону:

$$V = \frac{4}{18} \cdot \frac{\rho_4}{\eta} \cdot \left[ t - \frac{\rho_0 - \rho_t}{\rho_4} \right] \cdot g \cdot \tau_0^2 (1 - e^{-\frac{18}{4} \cdot \frac{\eta}{\tau_0^2} t})$$

или  $V \approx \frac{4}{18} \cdot \frac{\rho_4}{\eta} [\rho_4 - (\rho_0 - \rho_t)] \cdot \tau_0^2$  (14)

Время пролета частицы пробы сквозь плазменное облако:

$$t = \frac{2R}{V}$$

или, с учетом (5) и (14):  $t = 36 \sqrt{m \cdot i \cdot l} \cdot \frac{\eta}{4g[\rho_4 - (\rho_0 + \rho_t)]}$ . (15)

<sup>x)</sup> Данный сборник, стр. 126

или  $t = \frac{\Pi}{\eta} \cdot t_0$ ,

$$\text{где } \Pi = \theta \sqrt{m \cdot i \cdot t} \cdot \frac{\eta}{[\rho_q - (\rho_e - \rho_r)] \cdot g}$$

Таким образом, суммарное излучение атомов анализируемого элемента, испаряющихся с одной частицы пробы за время прохождения ее сквозь разряд:

$$J_{\Sigma} = L \cdot U \cdot \Pi \cdot r_0 \left\{ 1 + \frac{2}{5} \frac{r_0^4}{k\pi} \left[ \left( 1 - \frac{k\Pi}{r_0^4} \right)^{\frac{5}{2}} - 1 \right] \right\}$$

Предположим, что в пробе массой  $\Delta M$  все частицы имеют сферическую форму радиусом  $r_0$ , тогда количество частиц в этой навеске  $\chi = \Delta M / \frac{4}{3} \pi r_0^3$ . Полученное выше выражение определяет полную полезную информацию, излучаемую при испарении одной частицы пробы. Аналитика интересует обычно информация, которую можно получить из навески пробы  $\Delta M$ . Для этого, очевидно, полученное выражение необходимо умножить на  $\chi$ :

$$J_{\Sigma} = L \cdot U \cdot \Pi \cdot r_0 \left\{ 1 + \frac{2}{5} \frac{r_0^4}{k\pi} \left[ \left( 1 - \frac{k\Pi}{r_0^4} \right)^{\frac{5}{2}} - 1 \right] \right\} \cdot \frac{\Delta M}{\frac{4}{3} \pi r_0^3 \rho_q} \quad (16)$$

$$J_{\Sigma} = \frac{3}{4} L \cdot \frac{U \cdot \Pi \cdot \Delta M}{\pi \cdot \rho_q} \cdot \frac{1}{r_0^2} \left\{ 1 + \frac{2}{5} \frac{r_0^4}{k\pi} \left[ \left( 1 - \frac{k\Pi}{r_0^4} \right)^{\frac{5}{2}} - 1 \right] \right\}$$

$$\text{или } J_{\Sigma} = L_0 \cdot U \cdot \left\{ 1 + \frac{2}{5} \frac{r_0^4}{k\pi} \left[ \left( 1 - \frac{k\Pi}{r_0^4} \right)^{\frac{5}{2}} - 1 \right] \right\} \frac{1}{r_0^2},$$

$$\text{где } L_0 = \frac{3L \cdot \Pi \cdot \Delta M}{4\pi \cdot \rho_q}$$

$$\text{или, с некоторым приближением } J_{\Sigma} \approx L_0 \cdot U \cdot \frac{1}{r_0^2}$$

Как видно из полученного соотношения между радиусом и полной полезной информацией, получаемой из пробы навески  $\Delta M$ , с изменением радиуса частицы интенсивность изменяется обратно пропорционально квадрату радиуса. Это соотношение, полученное теоретическим путем находится в соответствии с широко известным эффектом уменьшения интенсивности излучения спектральной линии при увеличении размеров частиц анализируемой пробы. При полуколичественном эмиссионном спектральном анализе навеска пробы и стандарта берется одинаковой —  $\Delta M$ . Допустим, частицы пробы имеют радиус  $r_1$ , тогда в массе  $\Delta M$  количество таких частиц равно  $\chi_1$ ; если частицы стандарта имеют радиус  $r_2$ , то количество их в навеске  $\Delta M$  будет  $\chi_2$ .

$$\Delta M \approx \frac{4}{3} \pi r_1^3 \rho_q \chi_1 = \frac{4}{3} \pi r_2^3 \rho_q \chi_2,$$

$$\frac{r_1^3}{r_2^3} = \frac{\chi_2}{\chi_1}$$

Суммарная энергия, излученная спектральной линией анализируемого элемента, находящегося в навеске пробы  $\Delta M$ :

$$^1 J_{\Sigma} = L \cdot \Pi \cdot U \cdot \tau_1 \left\{ 1 + \frac{2}{5} \frac{\tau_1^4}{K\Pi} \left[ \left( 1 - \frac{K\Pi}{\tau_1^4} \right)^{\frac{5}{2}} - 1 \right] \right\} \chi_1 \quad (18)$$

и в стандарте:

$$^2 J_{\Sigma} = L \cdot \Pi \cdot U \cdot \tau_2 \left\{ 1 + \frac{2}{5} \frac{\tau_2^4}{K\Pi} \left[ \left( 1 - \frac{K\Pi}{\tau_2^4} \right)^{\frac{5}{2}} - 1 \right] \right\} \chi_2 \quad (19)$$

Возьмем соотношение (18) и (19):

$$\frac{^1 J_{\Sigma}}{^2 J_{\Sigma}} = \frac{\left\{ 1 + \frac{2}{5} \frac{\tau_1^4}{K\Pi} \left[ \left( 1 - \frac{K\Pi}{\tau_1^4} \right)^{\frac{5}{2}} - 1 \right] \right\} \chi_1 \cdot \tau_1}{\left\{ 1 + \frac{2}{5} \frac{\tau_2^4}{K\Pi} \left[ \left( 1 - \frac{K\Pi}{\tau_2^4} \right)^{\frac{5}{2}} - 1 \right] \right\} \chi_2 \cdot \tau_2}$$

или  $\frac{^1 J_{\Sigma}}{^2 J_{\Sigma}} \approx \frac{\tau_1 \cdot \chi_1}{\tau_2 \cdot \chi_2}$

Учитывая для полученного соотношения выражение (17), имеем:

$$\frac{^1 J_{\Sigma}}{^2 J_{\Sigma}} \approx \frac{\tau_2^2}{\tau_1^2} \quad \text{или} \quad ^1 J_{\Sigma} \approx \frac{\tau_2^2}{\tau_1^2} \cdot ^2 J_{\Sigma} \quad (20)$$

$$\text{Если } \frac{\tau_2}{\tau_1} = \sigma, \quad \text{то} \quad ^1 J_{\Sigma} \approx ^2 J_{\Sigma} \cdot \sigma^2 \quad (21)$$

Полученное соотношение (21) позволяет сделать выводы:

- при изменении размеров частиц одной навески пробы общая полезная информация, получаемая от всей навески, изменяется пропорционально отношению квадратов радиусов этих частиц;

- ошибка анализа для пробы неоднородной дисперсности растет согласно квадратичного закона.

Для объяснения результата (20) необходимо учесть тот факт, что при увеличении радиуса частицы вещество пробы не успевает полностью испариться в зоне разряда, соответственно и излучаемая энергия для частиц большего радиуса меньше, чем для частиц малого радиуса, которые испаряются в зоне разряда практически полностью.

Л.К.Симонова, И.Г.Шарыгина.

## ПРИМЕНЕНИЕ В КАЧЕСТВЕ ФЛОТОРЕАГЕНТОВ-СОБИРАТЕЛЕЙ СОЕДИНЕНИЙ НА ОСНОВЕ КРЕМНИЯ

В основе процесса извлечения минералов цветных металлов из перерабатываемых руд лежит флотация. Проведение флотационного процесса возможно лишь при условии использования эффективных поверхностно-активных веществ (ПАВ) флотационных реагентов различного технологического назначения. Особо важная роль принадлежит собирателям и пенообразователям. Первые в подавляющем большинстве являются ионогенными ПАВ, избирательно адсорбирующимися на границе "минерал-вода" и придающими гидрофобные свойства поверхности минералов, что обеспечивает прикрепление последних к пузырькам воздуха и вынос в пену.

Несмотря на огромные масштабы применения флотационных процессов в практике, ассортимент применяемых ПАВ ограничен. На сегодняшний день важнейшими собирателями, применяемыми при флотации руд цветных металлов, являются группы ксантогенатов, аэрофлотов и жирных кислот.

Ограниченный ассортимент веществ, использованных в качестве коллекторов, вызывает необходимость расширения поиска в этой отрасли с целью изыскания новых ПАВ, относящихся к различным классам органической химии. Пробование их представляет значительный интерес.

Настоящая работа проведена с целью изучения возможности применения кремнийорганических веществ в качестве реагентов-собирателей, в настоящее время не напечатанных распространения в практике предприятий цветной металлургии, но с каждым годом все более широко применяемых в различных областях народного хозяйства. Расширение ассортимента флотореагентов за счет кремнийорганических продуктов возможно благодаря тому, что с каждым годом увеличивается количество их наименований и объем выпускаемой отечественными заводами продукции.

Соединения на основе кремния отличаются большой химической активностью образующихся при диссоциации в водных растворах анионов в

виде цепочки: кремний-кислород-алкильная (или кремний-кислород-ариловая) группа. Учитывая это, В.А.Глембоцкий и другие предложил использовать их в качестве флотационных реагентов-собирателей.<sup>x)</sup>

В данной работе представлены результаты по изучению возможности применения полиэтилгидридсилоксана. Эта гидрофобизирующая кремнийорганическая жидкость, выпускаемая заводами под маркой ПЖ-94 (ГОСТ 10834-64), бесцветная и вязкая, в чистом виде почти без запаха, хорошо растворима в неполярных растворителях, нейтральна, не обладает корродирующими действиями, не выделяет вредных паров и газов, физиологически безвредна. Применение ПЖ-94 для обработки частиц руды и минералов возможно лишь в виде водной эмульсии, для приготовления которой наиболее эффективным оказалось использование ультразвука при частоте 16 мгц с помощью прибора УЗДИ-1. Образующиеся в воде шарики (глубулы полиэтилгидридсилоксана) имеют размер 2-5 мк.

Исследования проводились на пробах золотомильковой руды Тарорского (Таджикская ССР) месторождения, а также на чистых минералах, входящих в состав этой руды. Качество и состав используемых проб контролировались химическим и спектральным анализами. Класс крупности проб составлял 100-144 мк, при этом продукты предварительно отмывались от шламов и хранились под слоем дистиллированной воды, освобожденной от растворенных в ней газов путем вакуумирования.

Для установления влияния полиэтилгидридсилоксана на изменение свойств поверхности рудных частиц был использован процесс флокуляции, который представляет собой явление агрегации зерен в суспензии, протекающее в результате повышения гидрофобности их поверхности. Количественной характеристикой этого процесса является величина сил взаимного сцепления зерен, которая контролируется по способности разрушения узкого столба зерен на приборе ВМШ-2 по методике, разработанной в институтах КазИМС и Казмеханобр. Исследования проводились на сульфидных минералах меди, свинца, цинка, железа, а также на пробах золотомильковой руды Тарорского месторождения по нижеследующей методике.

Приготовленную заранее водную суспензию пробы минерала или руды (соотношение твердого к жидкому Т:Ж = 1:8) заливали в специальную трубку, из которой откачивался воздух. Смесь перемешивали с помощью специального устройства, позволяющего врацать трубку вокруг горизонтальной оси. После вибрационного формирования осадка трубку переворачивали и устанавливали вертикально и по секундомеру определяли время разрушения

<sup>x)</sup> В.А.Глембоцкий, А.П.Пикнат-Ордынская, А.К.Жданов. Способ флотации руд. Авт.свидетельство СССР, № 108484, 1956.

столба при "положении вибрации". Замеры осуществлялись в присутствии различных количеств ПЖ-94, вводимых в виде водной эмульсии. Полученная характеристика об изменении степени флокуляции в зависимости от концентрации полиэтилгидридилоксана представлена на рис. I.

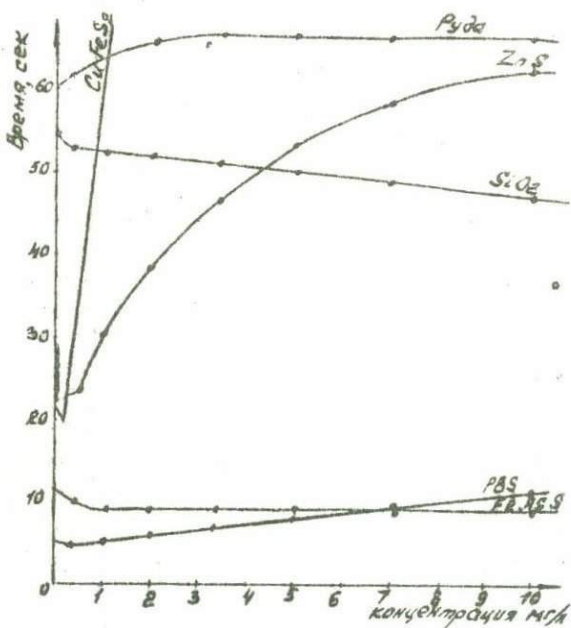


Рис. I. Влияние расхода ПЖ-94 на степень флокуляции

Агрегация минеральных частиц в присутствии полиэтилгидридилоксана свидетельствует о том, что происходит увеличение гидрофобности поверхности, на которой адсорбируется реагент.

Одна из важнейших физико-химических характеристик состояния поверхности - ее гидрофобность - характеризует изменение флотационных свойств рудных минералов. Для подтверждения этого были использованы микрофлотация и беспененная флотация.

Опыты по микрофлотации осуществляли на специальной машине с импеллерной мешалкой емкостью камеры 17 мл; навеска твердого продукта 2 г, Т:И = 1:8. В качестве вспенивателя использовали сосновое масло

(расход 50 г/т).

Изучение влияния ПЖ-94 на флотируемость минералов с помощью метода микрофлотации позволило отметить более высокую эффективность воздействия этого реагента на пирит в сравнении с арсенопиритом. Как известно, эта пара минералов (пирит и арсенопирит) является наиболее трудно разделимой. С увеличением расхода реагента (г/т) повышается флотируемость минералов, но в различной степени (рис. 2а).

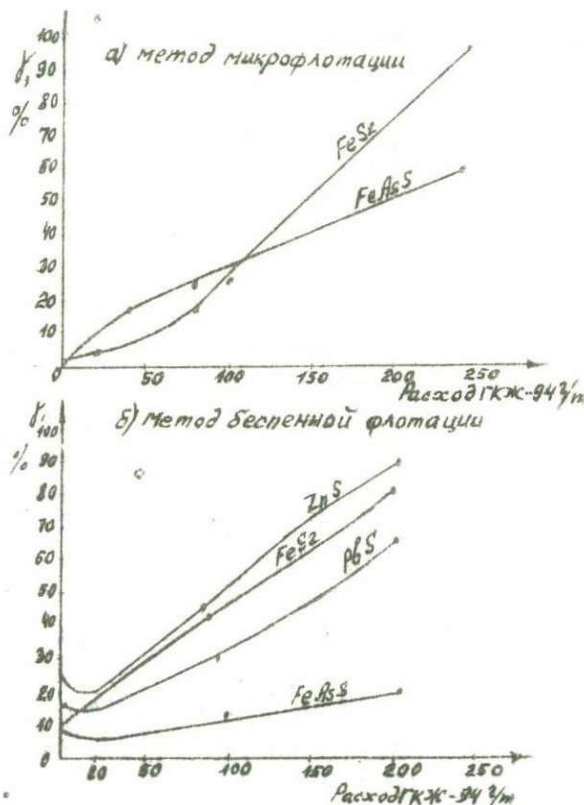


Рис. 2. Зависимость флотируемости сульфидов цветных металлов от расхода ПЖ-94

данные микрофлотации и флокуляции подтвердились при исследовании степени гидрофобизации поверхности сульфидов цветных металлов методом беспенной флотации. Это исследование проводилось на трубке Халимонда, установленной на магнитной мешалке со скоростью перемешивания, подобранный таким образом, чтобы магнитный элемент поднимал минерал на высоту нижнего шлифа трубки. Подача воздуха осуществлялась за счет давления водного столба, количество которого регулировалось переходными кранами и каниллярами с расходом 3 см<sup>3</sup>/мин. Навески проб минерала составляли 0,5 г. Зависимость флотируемости сфalerита, пирита, галенита и арсенопирита от расхода ГЮМ-94 представлена на рис. 2б. По результатам опытов беспенной флотации можно сделать вывод о том, что полиэтилгидриксилоксии обладает свойствами сорбатора. Наиболее положительные данные получены при флотации сфалерита и пирита.

Г.И.Небережнюк, В.И.Гайдина, Б.А.Каримов,  
Г.С.Бергер, Л.М.Киселев

### ФЛОТАЦИОННОЕ ОБОГАЩЕНИЕ БЕДНЫХ ЦЕЗИЕВЫХ РУД

В редкометальных пегматитах цезий находится в основном в форме поллуксита, и часть его рассеяна в других минералах. Промышленный интерес представляет поллуксит и имеющие пегматиты цезийсодержащие кварц-биотитовые и биотит-амфиболовые сланцы, в которых цезий связан с биотитом.

Нами проводились исследования по редкометальным цезийсодержащим пегматитам, в результате которых разработаны технологические схемы с учетом комплексного использования сырья. Для руд изучаемых пегматитов характерно большое разнообразие минералов редких элементов.

Технология обогащения цезийсодержащих минералов связана с технологией обогащения руды в целом с учетом комплексного использования всех полезных компонентов руды. Поллукитовые руды изучаемых нами месторождений, содержащие 1% окиси цезия, рассматриваются как бедные по сравнению с аналогичными месторождениями поллукитовых руд за рубежом.

Пегматиты этих месторождений залегают в осадочно-метаморфических

ких образованиях (кварц-биотитовых и кварц-амфиболовых сланцах) и характеризуется наличием поллукита в виде мелкосернистых агрегатов. Наличие вмещающих пород в технологической пробе (до 10%) обуславливает необходимость предварительной выборки из руды сланцев (сырья для получения солей цезия из биотита) и улучшает технологию флотационного обогащения. Отсортированная руда, представлена главным образом полевым шпатом и кварцем, в меньших количествах присутствуют минералы группы пироксенов, слюда (мусковит и биотит до 2-3%) и до 1% поллукита.

Разработанная технологическая схема обогащения для редкометальной руды, проверенная в полупромышленных условиях, предусматривает в голове процесса выборку сланцев, гравитационное обогащение танталита и кассiterита с последующей доводкой их магнитной сепарацией. Хвосты гравитации после сгущения обрабатываются едким натрием для активации минералов группы пироксенов и очистки их поверхности от тонких шламов. Кроме того, едкий натрий связывает ионы кальция, магния, железа и др., предотвращая активацию ими минералов вмещающих пород. С целью снижения солей жесткости в пульпе и удаления тонких шламов по схеме предусматривается обесшламливание по классу -10-15 мкр. Наличие в руде пироксена до 10% не позволяет получить поллукитовые концентраты без предварительного удаления его из-за близости флотационных свойств в кислой среде. Флотация вышеназванного минерала проводится в щелочной среде, созданной едким и сернистым натрием анионным собирателем с подогревом пульпы при  $\text{Ж:Т:И:Н} = 1:1$  до  $70-75^{\circ}\text{C}$ .

Присутствие в руде до 3% мусковита и цезийсодержащего биотита вызывает необходимость проведения слюдяной флотации с целью получения из слюдяных концентратов солей цезия и кондиционных полевошпатовых продуктов. Хвосты слюдяной флотации после нейтрализации щелочной среды отмыккой направляются на обработку фтористоводородной кислотой и последующую флотацию АНП полевых шпатов и поллукитов. Камерный продукт является кварцевым концентратом. Полученный коллективный поллукит-полевошпатовый концентрат подвергался селекции с применением в качестве депрессора серной кислоты. При этом лучшие показатели были получены при проведении дополнительной перечистки после отмыкки серной кислоты и флотации поллукита в присутствии плавиковой кислоты (50 мг/л) катионным собирателем. В условиях непрерывного процесса на опытно-промышленной фабрике получен поллукитовый концентрат, содержащий 5,04% окиси цезия при извлечении 24,49% от руды или 41% от содержания окиси цезия, связанного с поллукитом.

Таблица

Баланс распределения окиси лития /1/, окиси рубидия /2/,  
окиси цезия /3/ в хвостах технологической пробы

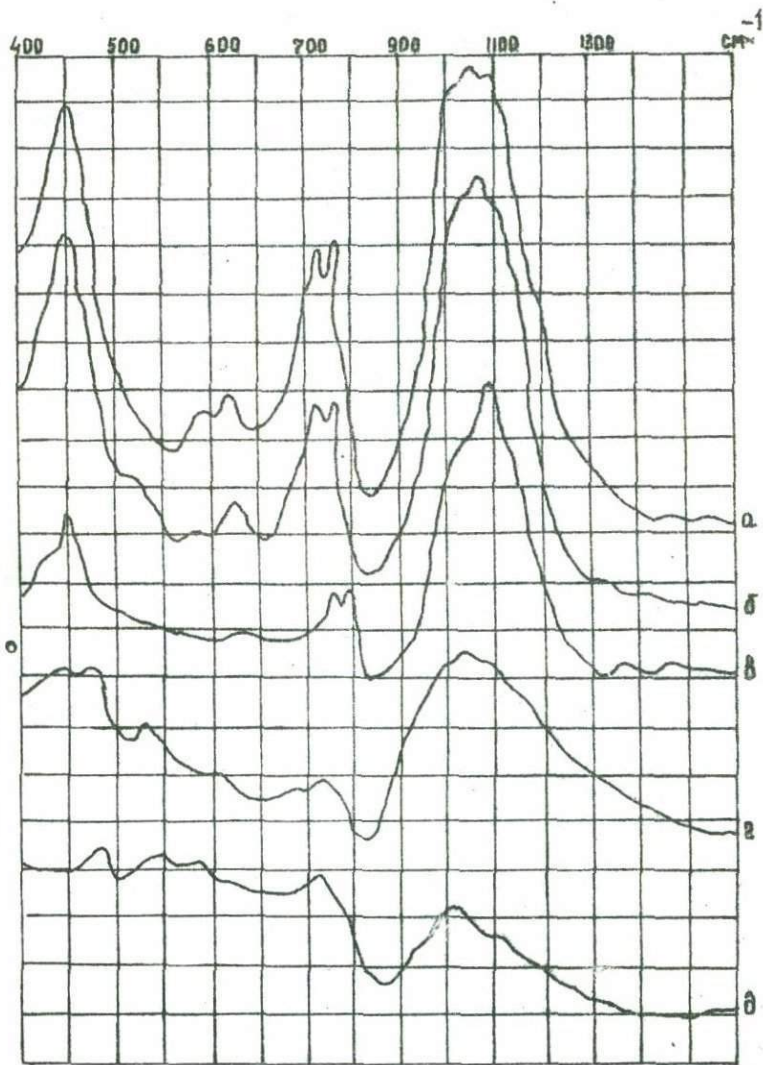
Минералы	Содержание минерала в пробе, %			Содержание в минерале, %			Содержание в пробе за счет минерала, %		
	1	2	3		фактическое		1	2	3
Поллиудит	1,0	0,187	0,375	30,0	0,002	0,003	0,30	0,21	1,04
Кварц	27,0	0,041	0,023	0,039	0,011	0,006	0,01	1,13	2,14
Альбит	33,0	0,1	0,2	0,210	0,033	0,066	0,069	3,41	23,50
Микроклин	13,0	0,05	1,262	0,287	0,006	0,164	0,037	0,63	58,36
Минералы группы пироксенов	12,0	7,5	0,009	0,07	0,9	0,001	0,008	92,90	0,36
Биотит	2,0	0,787	1,250	4,187	0,016	0,025	0,084	1,62	8,90
Мусковит	1,9	0,074	0,877	0,176	0,001	0,016	0,002	0,10	5,70

Содержание в пробе по минералогическим подсчетам

0,969 0,284 0,51

Содержание в пробе по результатам химического анализа

1,04 0,25 0,5



Р и с. I. ИК-спектры полудицита, обработанного растворами плавиковой кислоты, %: а - 0,05; б - 0,1; в - 0,5; г - 1; д - 5

Баланс распределения редких элементов в руде показал, что поллутит является основным цезийсодержащим минералом: с ним связано около 60% окиси цезия. А с биотитом, вошедшим в пробу с классом -25+0 мм после рудосортировки, -16% (табл.); остальная его часть рассеяна в породообразующих минералах. Следовательно теоретическое извлечение поллутита составляет только 60%.

Характер и степень замещения поллутита альбитом, слюдами и сподуменом наблюдали при микроскопическом контроле процесса обогащения, а также с помощью катодно-люминесцентной установки, где отчетливо видно замещение поллутита сподуменом по ярко-красному свечению названного минерала. Замещение поллутита, несомненно, оказывает влияние на его флотационные свойства, чем и объясняется наличие сильно замещенных его зерен в пироксеновом, полевошпатовом и кварцевом продуктах.

Анализ разработанной схемы обогащения поллутитовых руд и изучение флотационных особенностей и физико-химических свойств поллутита методами ИК-спектроскопии, а также химическим, радиоспектральным и потенциометрическим методами показали, что расходы плавиковой кислоты и катионного собираителя для исследованного типа руд являются оптимальными. На рис. I приведены ИК-спектры поллутита, обработанного растворами плавиковой кислоты различной концентрации. При обработке поллутита плавиковой кислотой концентрации от 0,05 до 0,5% на его поверхности не наблюдается изменений по данным ИК-спектров в области поглощения  $\text{Me-O}$  ( $500-650 \text{ см}^{-1}$ ),  $\text{Si}-\text{O-Al}$  ( $900-1100 \text{ см}^{-1}$ ) /рис. I/. Однако в 0,5% растворе плавиковой кислоты интенсивность характеристических полос ослабевает (рис. Iв). Увеличение концентрации до 1% приводит к уменьшению интенсивности полос поглощения ( $550-650 \text{ см}^{-1}$ ) и к уширению полосы ( $1086 \text{ см}^{-1}$ ) (рис. Ig). Эти изменения поллутита характеризуются удалением с поверхностного слоя щелочных металлов ( $\text{Cs}, \text{Na}$ ), вхождением воды, протон которой компенсирует нарушение связи. Дальнейшее увеличение концентрации плавиковой кислоты до 5% приводит к разрушению структуры минерала (рис. Id).

Проведенные исследования позволяют сделать заключение о принципиальной возможности рентабельного обогащения бедных поллутитовых руд при комплексном их использовании.

В.С.Коган, В.С.Киселева, Л.И.Лавриненко

## ИССЛЕДОВАНИЕ ВЗАИМОДЕЙСТВИЯ ПОЛЛУДИТА С ОСНОВНЫМИ ОКИСЛАМИ

### Сообщение I

#### Дериватографическое исследование взаимодействия поллудита с углекислым натрием

Для интенсификации процесса спекания алюмосиликатных шихт обычно вводят в них небольшие добавки минерализаторов.

В настоящем сообщении содержатся результаты исследования влияния добавок фтористого натрия на фазовый состав продуктов взаимодействия поллудита с содой и предложен механизм интенсифицирующего действия минерализаторов при вскрытии поллудита. В работе использован поллудит следующего химического состава, вес.%:  $\text{Cs}_2\text{O}$  - 27,6;  $\text{Li}_2\text{O}$  - 1,7;  $\text{Na}_2\text{O}$  - 2,8;  $\text{Rb}_2\text{O}$  - 0,25;  $\text{K}_2\text{O}$  - 0,15;  $\text{SiO}_2$  - 17,4;  $\text{Al}_2\text{O}_3$  - 17,2;  $\text{Fe}_2\text{O}_3$  - 0,400;  $\text{H}_2\text{O}$  - 2,5. Карбонат натрия и фтористый натрий использовали марки "Ч". Указанные вещества, измельченные до крупности  $-0,15+0,106$  мм, тщательно смешивались в мольном отношении = 5:1. Фтористый натрий вводили из расчета 4% от веса шихты.

Шихту помещали в алундовых тиглях в силитовую печь марки КО-І4 при комнатной температуре; подъем температуры происходил со скоростью 15 град/мин. По достижении заданной точки экспозиция составляла 60-240 мин.

На рис.1, 2 представлены результаты комплексного дифференциального анализа поллудита и шихт.

Кривая нагревания поллудита хорошо иллюстрирует процесс термического обезвоживания минерала рядом ступенчатых эндотермических эффектов в области 100-370°C. Широкий глубокий эффект с пиком при температуре кипения

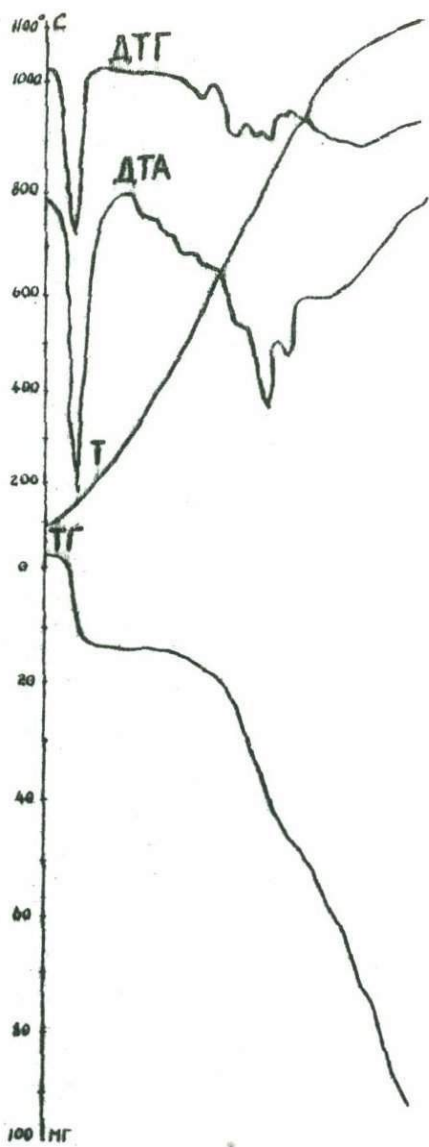
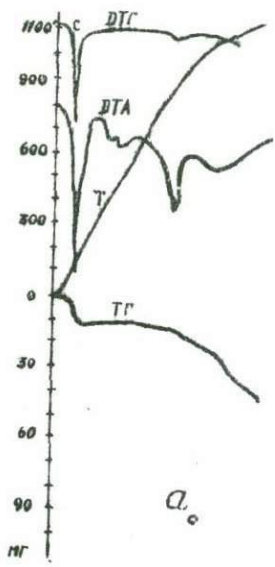
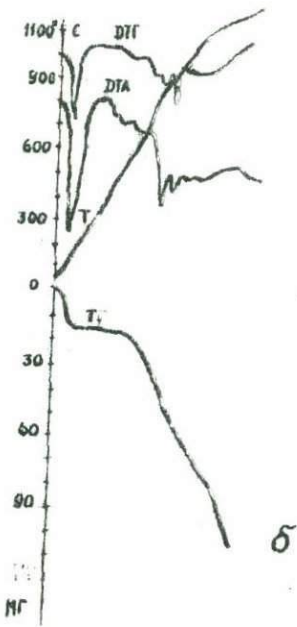


Рис. I. Дериватограмма исходного поллюнита



$\alpha_{\circ}$



$\delta$

Рис. 2. Дериватограммы смеси поллюита с содой:  
а - без минерализатора; б - в присутствии минерализатора

Таблица

Результаты рентгенографического исследования  
продуктов спекания поллюдита с содой при 800°C  
с выдержкой в течение 2 часов

Поллюдит	Продукт спекания		$\text{Na}_2\text{CO}_3$		Метаполлюдит		Анальцим		
	d/n	z	d/n	z	d/n	z	d/n	z	
1	2	3	4	5	6	7	8	9	10
158			5,3	2	5,3	2		6,87	5
	3,74	2						5,61	15
	3,62	3	3,65	0,5			3,65	0,5	4,86
	3,38	10	3,41	4,0			3,41	4,0	3,67
			2,96	4,0			2,96	4,0	3,43
			2,91	3,0			2,91	3,0	100
	2,89	9	2,85	4,0			2,85	4,0	2,925
			2,76	10	2,76	10		2,801	80
			2,68	6	2,68	6			2,693
	2,64	2	2,63	1	2,63	1			50
159			2,55	2	2,55	2			
			2,47	2			2,47	2,0	2,505
			2,45	1			2,45	1,0	2,426
	2,40	1							50
			2,37	8	2,37	8			
	2,21	5	2,23	1					5
			2,18	2	2,18	2			
			2,06	1	2,06	1			
								2,115	5

	1	2	3	4	5	6	7	8	9	10
	1	2	3	4	5	6	7	8	9	10
			2,01	4	2,01	4			2,0	10
									1,940	5
									1,900	50
1,849	5	1,861	I						1,833	5
		1,779	0,5		1,779	0,5			1,743	60
1,732	7	1,740	0,5				1,740	0,5	1,716	30
1,71	I	1,716	0,5				1,716	0,5	1,689	40
		1,665	I,0		1,665	I			1,664	10
		1,611	2,0		1,611	2		1,527	1,0	1,618
I,529	2	I,527	I,0						I,596	30
I,407	2								I,498	20
I,301	4									

воды однозначно связан с потерей поллудита адсорбированной влаги. В области температур 426–870°C из поллудита удаляется "связанная" вода.

На дифференциальной кривой нагревания смеси поллудита с содой (см.рис.2а) разложению минерала с выделением "связанной" воды соответствует ряд эндотермических эффектов в области 370–765°C. Термическая диссоциация соды сопровождается двумя глубокими эндотермическими максимумами при 815 и 870°C. Эндотермический эффект в более низкотемпературной области обусловлен, видимо, диссоциацией карбоната вследствие взаимодействия его с минералом. Часть соды, не вступившая в реакцию, диссоциирует с эндотермическим эффектом в области 840–890°C с максимумами при 870°C. Выше этой температуры наблюдается ряд эффектов, сопровождающих образование алюмосиликата натрия с ником при 910°C, а также оплавление шихты при 1000°C.

Наличие минерализатора значительно уширяет низкотемпературный эффект диссоциации соды (см.рис.2б) за счет сдвига его начала (судя по кривой ТГ) в область 665°C вместо 740–765°C при отсутствии минерализатора.

Как принято считать, поллудит является промежуточным звеном изоморфного ряда, конечными членами которого являются безводный поллиудит (не найденный в природе) и анальцим, в котором цезий изоморфно замещен на  $\text{Na}^+$  +  $\text{H}_2\text{O}$ .

В таблице представлены дифракционные характеристики анализируемых нами фаз, а также взяты для сравнения дифрактограммы исходного поллудита и анальцима.

Как показал рентгенометрический анализ, в продукте спекания, помимо незначительного количества неразложившейся соды, обнаруживается появление новой фазы, названной нами "метаполлудитом", поскольку линии, характеризующие ее межплоскостные расстояния, лежат между значениями собственно исходного поллудита и анальцима.

Высказанное выше позволяет предположить, что новообразование является изоморфной смесью поллудита и анальцима, причем цезий-ион в нем значительно замещен ионом натрия.

В.С.Коган

ИССЛЕДОВАНИЕ ВЗАЙМОДЕЙСТВИЯ ПОЛЛУЦИТА  
С ОСНОВНЫМИ ОКИСЛАМИ

Сообщение II

Взаимодействие поллудита с углекислыми солями  
натрия и кальция

С технологической точки зрения большой интерес представляет разложение поллудита спеканием с углекислыми солями кальция и натрия.

В задачу данной работы входило исследование взаимодействия поллудита с углекислыми солями и изучение влияния температуры процесса и присутствия минерализатора на кинетику разложения минерала.

Методика опытов. Поллудит, углекислый кальций и углекислый натрий предварительно измельчали до однородной крупности -0,1+0,16 мм и смешивали из расчета мольных отношений  $\frac{[CaO]}{[SiO_2]} = 2:1$ ;  $\frac{[Na_2O]}{[Cs_n]} = 5:1$ , где

$Cs_n$  определяется содержанием цезия в исходном поллудите. Фтористый натрий вводили в количестве 0,4% от веса шихты. Спекание проводили в селитовой печи марки КО-14 в интервале температур 650-870°, вискоэрозия при каждой заданной температуре изменялась от 10 до 360 минут. Все продукты спекания подвергали водному выщелачиванию при строго равных условиях: температура раствора - 98° ( $\pm 0,5$ ), продолжительность выщелачивания 180 минут.

Для математического описания кинетики взаимодействия твердых веществ наиболее приемлемыми являются зависимости, найденные для гетерогенных топохимических реакций. Экспериментальные данные такого рода реакций в большинстве случаев хорошо отражаются уравнением Ерофеева-Колмогорова:

$$d = 1 - e^{-Kt^n} \quad (I)$$

где  $\Delta$  - количество вещества, вступившего в реакцию,

$t$  - время,

$K \cdot P$  - постоянные.

Полученные экспериментальные данные (рис. I, 2), как показали расчёты, хорошо описываются уравнением (I) в интервале 20-90% вскрытия

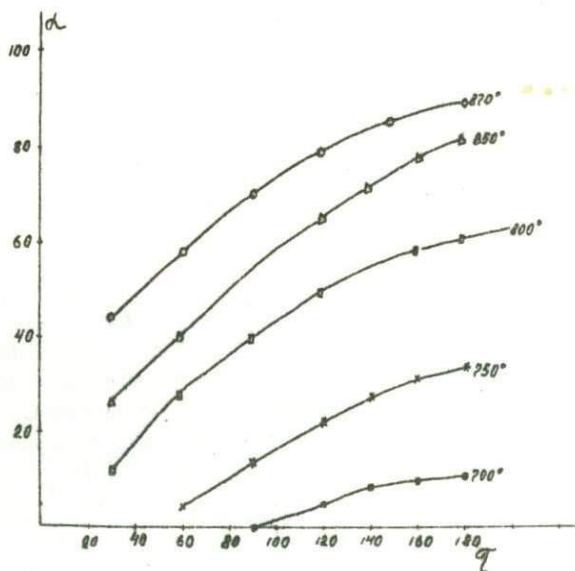


Рис. I. Разложение поллюцита спеканием с содой и известняком в присутствии минерализатора

поллюцита. Истинная константа скорости суммарной реакции рассчитывалась по формуле Саковича:

$$K = PK^{\frac{1}{n}} \quad (2)$$

Вычисленные константы скорости суммарной реакции вскрытия поллюцита в присутствии минерализатора и без него удовлетворяют закону Аррениуса (рис. 3, 4, 5).

Определение кажущейся энергией активации процесса выполнялось графическим способом, как произведение тангенса угла наклона прямой, по-

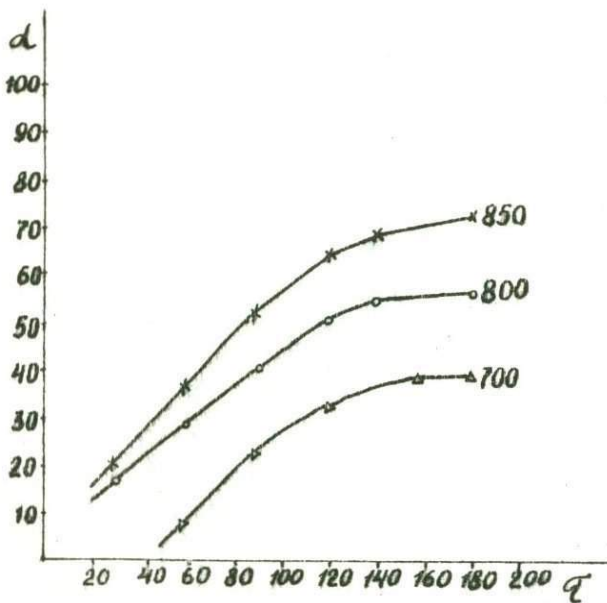
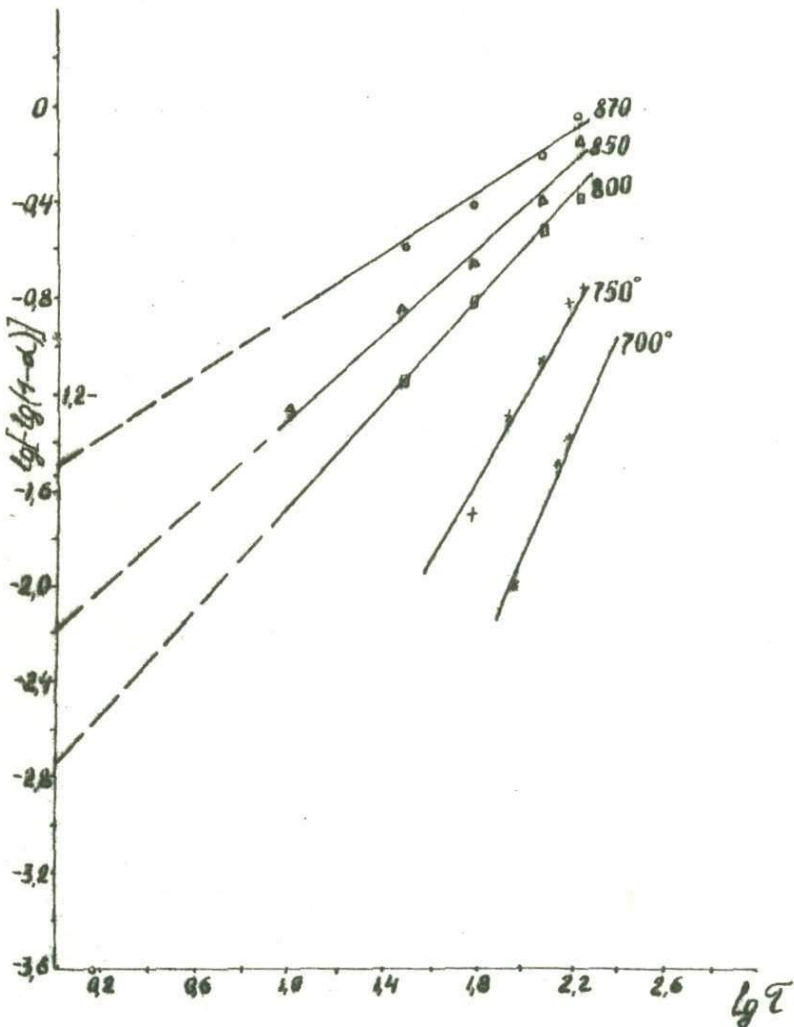
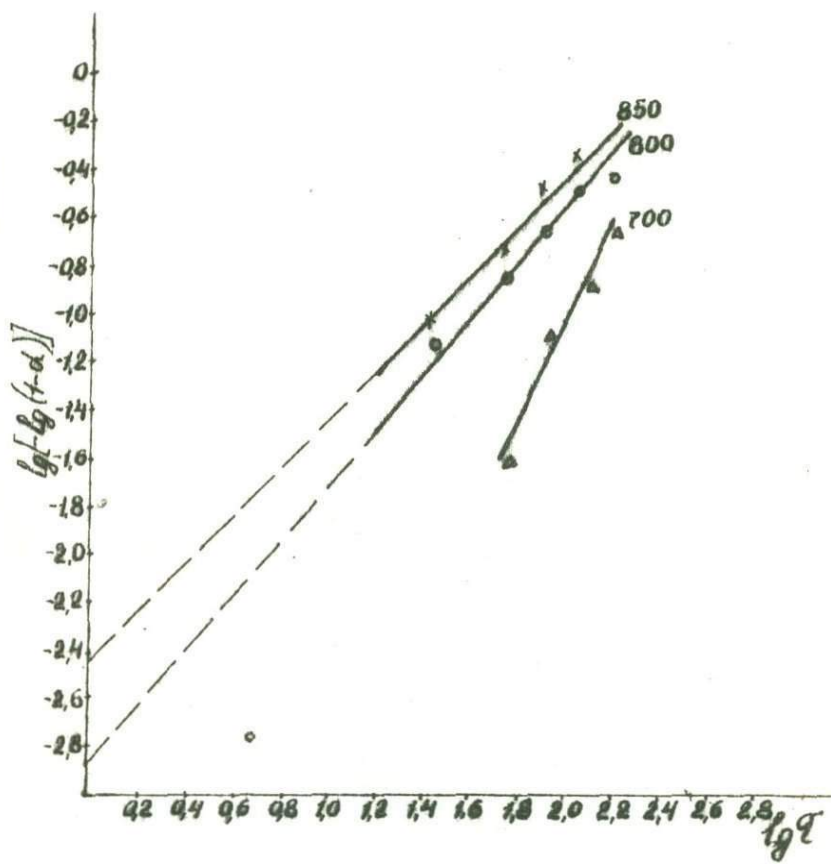


Рис. 2. Разложение поллутида спеканием с содой и известняком

строенной в координатах  $\lg K - \frac{1}{T}$ , на универсальную газовую постоянную. Величина Е не зависит от значения константы скорости суммарной реакции, а определяется лишь углом наклона прямой  $\lg K - \frac{1}{T}$ . Поэтому для качественной оценки влияния добавки минерализатора на кинетику суммарной реакции вскрытия минерала в качестве  $\Delta$  можно принять степень вскрытия минерала, которая прямо пропорционально зависит от степени образования продуктов замещения поллутида. Степень вскрытия минерала определялась полнотой перехода цезия в раствор в результате водного выщелачивания продуктов спекания, полученных в соответствующих изотермических условиях. Каждая энергия активации суммарного процесса без участия минерализатора составляет 16,76 ккал/моль. Добавка фторида натрия в количестве 0,4% от веса шихты ускоряет реакцию взаимодействия компонентов исследуемой смеси и снижает величину Е до 6,8 ккал/моль.



Р и с. 3. Результаты обработки экспериментальных данных, приведенных на рис. I, по уравнению Ерофеева-Колмогорова



Р и с. 4. Результаты обработки экспериментальных данных, приведенных на рис. 2, по уравнению Брофеева-Колмогорова

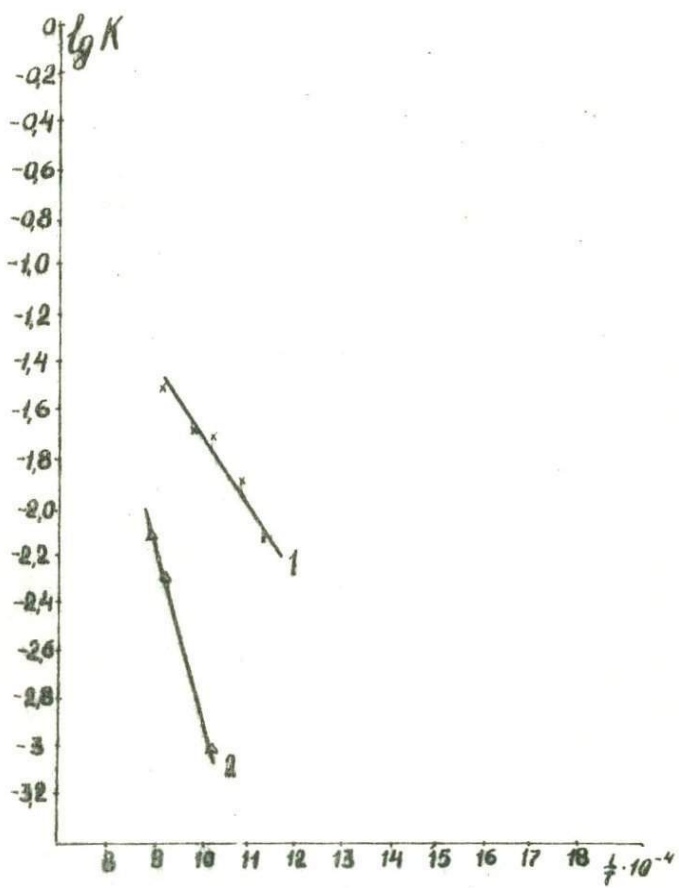


Рис. 5. Зависимость логарифма константы скорости от "обратной" температуры

И.М. Городецкий

## О ГИДРАВЛИЧЕСКОМ РАСЧЕТЕ ДВОЙНЫХ КОЛОНКОВЫХ НАБОРОВ ТИПА ДКНТ-ВП

Одной из основных задач гидравлического расчета двойных колонковых наборов типа ДКНТ-ВП [5] является определение площадей сечений элементов буровой коронки, создающих гидравлические сопротивления в процессе бурения. Необходимыми данными при гидравлическом расчете являются  $Q$ ,  $Q_0$ ,  $Q_H$  и  $\Delta P_H$ .

Сначала определяют объемный расход жидкости  $Q_0$  в обратном потоке, который может быть рассчитан по формуле (I), исходя из условия предотвращения от вымывания из керноприемной трубы частиц кернового материала с условным диаметром  $d_n > 0,1$  см [1, 4]:

$$Q_0 = 0,047 d_t^2 K \sqrt{d_n \left( \frac{T_p}{T_{\text{ж}} - 1} \right)} \text{ л/мин}, \quad (I)$$

где  $d_t$  — внутренний диаметр керноприемной трубы, см;

$T_p$  — удельный вес породы, Г/см<sup>3</sup>;

$T_{\text{ж}}$  — удельный вес промывочной жидкости, Г/см<sup>3</sup>;

$K$  — коэффициент, зависящий от формы частиц твердого тела.

Объемный расход жидкости  $Q_H$  в наружном потоке рассчитывается по значениям количества промывочной жидкости на 1 см диаметра коронки, рекомендуемым С.А. Волковым и А.С. Волковым при твердосплавном бурении [3].

Общий расход жидкости  $Q$  определяется как сумма расчетных значений  $Q_0$  и  $Q_H$ .

По данным исследований Б.И. Воздвиженского и С.А. Волкова [2], гидравлические сопротивления в керноприемной трубе при заклинивании керна резко возрастают и могут достичь 3–5 атм. Исходя из вышеизложенного, условимся для нашего случая, что при  $Q_0 = 0$ , когда  $Q_H$  станет равным  $Q$ , потери давления  $\Delta P_H$  для наружного потока должны составлять не менее 5 атм.

Учитывая, что потери давления, возникающие на пути движения на-

ружного потока  $Q_H$ , складываются из потерь по длине  $\Delta P_{dl}$  и местных  $\Delta P_M$ , потери давления на коронке составят:

$$\Delta P_M = 5 \text{ атм} - \Delta P_{dl} \quad (2)$$

Потери давления в кольцевом зазоре между стенками скважины и колонковым набором могут быть рассчитаны по формуле Дарси-Вейсбаха [2]:

$$\Delta P_{dl} = 82,6 \lambda \frac{\gamma_m L Q_H^2}{(\text{Дскв}-\text{Дн})^3 (\text{Дскв}+\text{Дн})^2} \text{ атм}, \quad (3)$$

где  $L$  - длина колонкового набора, м;

$\text{Дн}$  - наружный диаметр колонковой трубы, см;

$\text{Дскв}$  - диаметр скважины, см;

$\lambda$  - коэффициент гидравлических сопротивлений по длине [6].

В формуле (3)  $Q_H$  дано в л/сек.

После нахождения исходных данных рассчитывают площадь сечения промывочных отверстий в буровой коронке по формуле

$$f_{ot} = 0,71 \frac{Q_{ot}}{\mu_{ot}} \sqrt{\frac{\gamma_m}{\Delta P_{ot}}} \text{ см}^2, \quad (4)$$

где  $f_{ot}$  - площадь сечения промывочных отверстий, см<sup>2</sup>;

$Q_{ot}$  - расход промывочной жидкости через отверстия, л/сек;

$\Delta P_{ot}$  - потери давления при протекании промывочной жидкости через отверстия, атм;

$\mu_{ot}$  - коэффициент расхода для промывочных отверстий.

По данным наших исследований, коэффициент расхода  $\mu_{ot}$  для отверстий буровых коронок типа КГД-2 можно принять в среднем равным 0,64. Диаметр промывочных отверстий при количестве  $n$  в буровой коронке находится по формуле:

$$d_{ot} = 1,13 \sqrt{\frac{f_{ot}}{n}} \text{ см} \quad (5)$$

Вышеизложенная методика гидравлического расчета применима для всех диаметров двойных колонковых наборов типа ЛКНТ-ВЛ.

## ЛИТЕРАТУРА

I. Воздвиженский Б.И., Васильев М.Г. Буро-вая механика. М., Госгеолтехиздат, 1954.

2. Воздвижинский Б.И., Волков С.А. Разведочное колонковое бурение. М., Геостройтехиздат, 1957.
3. Волков С.А., Волков А.С. Справочник по разведочному бурению. М., Гостоптехиздат, 1963.
4. Гребенюк А.А., Моисеев Г.Г., Городецкий И.И. Методическое руководство по получению керна в различных геологических условиях. ОГИ КазИМСа, Алма-Ата, 1972.
5. Гребенюк А.А., Городецкий И.И. Исследование и разработка двойных колонковых наборов с напорным восходящим потоком жидкости в керноприемной трубе. Сб. Техника и технология разведочного бурения. ОГИ КазИМСа, Алма-Ата, 1974.
6. Миттельман Б.И. Справочник по гидравлическим расчетам в бурении. М., Гостоптехиздат, 1963.

Л.Н.Брюкова

УСЛОВИЯ ФОРМИРОВАНИЯ ДАЕК И ИХ РОЛЬ  
В ЛОКАЛИЗАЦИИ ОРУДИЕНИЙ (НА ПРИМЕРЕ  
АККУДУСКОГО РУДНОГО ПОЛЯ)

Аккудуское рудное поле расположено в восточной части Западно-Балхашского (Моинтинского) синклиниория в области сочленения Жасского (Бектаутинского) глубинного разлома с Керегетасской интрузивно-tektonической зоной северо-восточного простирания и крупным меридиональным разломом. Особенностью строения рудного поля является площадное развитие гранитоидов средне-верхнекаменноугольного и пермского возраста. В центральной части поля встречаются андезитовые порфириты калмакамельской свиты ( $C_2 Kl$ ) в виде ксенолитов различной формы.

Установлено, что южный блок аляскитовых гранитов пермского возраста описываемой площади является приподнятым. Вертикальная амплитуда перемещения определяется в 200–300 м. Широкое и повсеместное развитие среди гранитоидов карбона рудного поля даек и жильных тел, производных пермской интрузии, свидетельствует о наличии на глубине пермского plutона, апикальная поверхность которого осложнена блоками перемещениями и куполами.

Наиболее опущенным блоком рудного поля является участок Западный Аккудук, о чем свидетельствуют обилие ксенолитов вмещающей кровли; пестрота фациального состава и структур гранитоидов карбона и высокая степень их меланократовости; наличие останцов покровных пород керегетасской свиты; развитие жильных гранит-порфиров перми с гранофировыми, сферолитовыми, фельзитовыми и криптокристаллическими структурами базиса, а в ряде случаев и флюидальной текстурой, отирующими в более эродированных (южной и восточной) частях рудного поля.

В эндо- и экзоконтакте пермских гранитоидов рудного поля широко развиты пологозалегающие жильные тела аплитов, аляскитовых и лейко-кратовых гранит-порфиров, приуроченных к сводовым трещинам.

В менее эродированных (западной и северо-восточной) частях Аккудукского рудного поля среди вмещающих пород встречаются крутопадающие дайки гранит-порфиров, нередко с повышенным содержанием биотита (1-4%), жильные тела аплитов, аляскитовых гранит-порфиров имеют здесь подчиненное значение и указывают на близость к поверхности пермской интрузии.

Таким образом, становление жильного комплекса происходило как по пологим трещинам в субапикальной части пермского plutона, так и по крутопадающим трещинам разрыва вмещающей рамы среди гранитоидов карбона. Среди эфузивов керегетасской свиты (наряду с крутопадающими дайками) формировались жильные тела и малые интрузивы прихотливой распилчатой формы.

В зависимости от глубины эрозионного среза даек, штоков и жильных тел в них фиксируются:

- типичные аплитовые, микрогранитовые структуры базиса (в контурах пермских интрузивов);
- преимущественно гранофировая, с переходами в сферолитовую в гранит-порфирах, интрудирующих меланократовые гранитоиды карбона;
- сферолитовая, фельзитовая и даже флюидальная структуры и текстуры среди наименее эродированных экзоконтактовых фаций пород рудного поля.

В многочисленных зонах брекчирования и трещиноватости гранитоиды карбона, жильные дайки пермского возраста и вмещающие вулканиты подвержены пропилитизации, калишпатизации и серicitизации. Здесь развиты серicitовые апоэфузивные кварциты, грейзеноподобные алюинзвинные вторичные кварциты и кварцевые прожилки с пиритом, молибденитом, редко с халькопиритом и вольфрамитом.

Данные спектрального и петрохимического анализов коренных пород свидетельствуют о тесном парагенезисе промышленных концентраций молибданового оруденения с штокверковыми проявлениями сульфидно-кварцевых прожилков, наложенных на метасоматиты в поздних зонах трещиноватости и катаклаза. Кроме эон гидротермально измененных пород, совпадающих с геофизическими аномалиями и ореолами рассеяния, особого внимания заслуживают участки развития интенсивной трещиноватости, дробления, штокверково-жильного окварцевания, приуроченные к системам крутоопадающих даек гранит-порфиров и фельзит-порфиров экструзивного облика.

## СОДЕРЖАНИЕ

Стр.

1. Клинов А.А. Современные представления о региональном метаморфизме в применении к линейным геотектоногенам .....	3
2. Клинов А.А., Солдатенко А.А. О выходах докембрийского фундамента в Заилийском Алатау .....	9
3. Арыстанов К. Геолого-петрологические особенности верхнегордовиковых гранитоидов и некоторые вопросы металлогении Кастанекского рудного района .....	13
4. Рафаилович М.С. Рудопроявления золота Кастанекского хребта (Заилийский Алатау) .....	15
5. Енилинский Р.Г. Тектоно-магматическое развитие Ульба-Бухтарминского района (Рудный Алтай) .....	19
6. Едовская Н.В., Солтан С.А., Едовский А.Г. Некоторые особенности геологического строения Снегиревского месторождения Быряновского района Рудного Алтая .....	24
7. Ерченков Е.М. Дифференцированные наморские интрузивы габброидов Иртышской зоны смятия – возможные носители скоплений медно-никелевых сульфидных руд .....	26
8. Джукебаев И.К. К вопросу поисков эндогенных месторождений в Арганатинском поднятии Центрального Казахстана .....	28
9. Ерлов А.И. Основные закономерности размещения сурьмяной и золотой минерализации в Жанаи-Чинрауской зоне (Восточный Казахстан) .....	31
10. Казанцев М.М. О связи формы хромитовых тел с их положением в гипербазитовых интрузивах Казахстана .....	33
11. Кузнецов В.И., Козбань Л.П., Пелевина К.А. О железистых кварцитах Бетпак-Далы в Южном Казахстане .....	35
12. Ванчугов А.Г. О природе слабоинтенсивных магнитных аномалий на некоторых железорудных месторождениях Восточного Казахстана .....	38
13. Сокольников О.А. Связь рудолокализующих систем и пострудной текtonики на месторождении Карагайлы-Актас .....	41
14. Сокольников О.А., Бирюлин В.А. Изменчивость оруденения на Карагайлы-Актасском месторождении .....	44

15. Глаголев В.А., Назаров Ю.А. Пластообразная зона дробления в песчаниках таскудукской свиты в районе месторождений Джезказган и Джезды (Центральный Казахстан) .....	46
16. Бирюлин В.А. Определение изменчивости оруденения на месторождении Грековское II .....	49
17. Чернов В.М. О взаимоотношении кварцевохалльного и штокверкового молибденового оруденения в Восточно-Коунрадском гранитном массиве .....	51
18. Николаев Л.Г. О распределении серебра, золота и об их отношении на Золотушинском колчеданно-полиметаллическом месторождении (Рудный Алтай) .....	53
19. Солнцев С.С. К вопросу о формах нахождения гипса в гидротермальноосадочных рудах и их первичных ореолах месторождения Дальневосточный Жайрем .....	58
20. Бурковский С.И. О формах переноса олова в гидротермальных растворах .....	61
21. Кнак Н.С. Перспективы поисков промышленных медных руд в южной части Средне-Орского рудного района .....	65
22. Мусихин В.П., Дербенев В.С., Гладков И.И. Применение аэрометодов в районах Западного Тургая .....	66
23. Алеев М.А. Опыт использования аэрофотоматериалов при поисках циркониево-титановых россыпей в Актюбинском Примуралье .....	68
24. Ахметшина Л.З. Зоны новейшей тектонической активности восточной прибрежной части Прикаспийской впадины и их связь с подсолевым палеозойским структурным планом .....	69
25. Шуликовский А.В., Шуликовская Н.С. О перспективах рудоносности восточного фланга Грековского рудного поля (Рудный Алтай) .....	72
26. Иванов Н.Б. К вопросу о взаимоотношениях биотитизированных и кварц-микроклиновых пород с полиметаллическим оруденением в центральной части Грековского рудного поля .....	74
27. Кошелев В.К. Повышение геолого-экономической эффективности геохимических работ путем применения математических методов и ЭВМ в Кастанском рудном поле (Южный Казахстан) .....	76
28. Рафаилович М.С. Отношение золота к серебру в элювио-делювии как индикатор перспективности ореолов рассеянных золота .....	80
29. Гинатуллин А.М., Толочкин В.В. Меры различия как способ обобщения многомерной информации в геохимии .....	84

30. Берикболов Б.Р. О влиянии геологических и геохимических факторов на возникновение корреляционной связи и использование распределения корреляционных коэффициентов для геолого-геохимических выводов .....	83
31. Кошелев В.К. К вопросу оценки экономической эффективности математических методов при обработке результатов геохимических съемок .....	85
32. Яценко А.Н., Тараков В.В. Некоторые результаты электроразведочных работ методом ПП с аппаратурой МПП-3 при поисках глубокозалегающих рудных тел .....	87
33. Иванов В.В., Дурнов П.М. Ультразвуковой метод активации и контроля параметров тампонажных смесей .....	89
34. Нигай В.Г., Банк В.В. Опыт борьбы с нарушением устойчивости стенок скважин на некоторых месторождениях Казахстана ..	89
35. Лиховцев А.М., Тузов Ю.Г., Попыкин В.П. Результат алмазно-гидроударного бурения скважин малого диаметра .....	92
36. Серебренников И.Д., Бобылев Ф.А. О влиянии гирроскопических сил на характер движения бурового снаряда .....	94
37. Бирманов И.Т., Лукбанов К.Г., Альсентов Б.Д., Улукпанаева К., Кулмураин С.К. Исследования набухаемости глин и предупреждение обуславливаемых ими осложнений в бурении .....	96
38. Бирманов И.Т., Альсентов Б.Д., Лукбанов К.Г., Кулмурзин С.К. Прогнозирование кавернообразования в соленосной толще ..	100
39. Петерс В.И., Коломиец В.И., Иванов В.В. Исследования расширяющихся тампонажных смесей и их влияние на герметизацию заколонкового пространства .....	103
40. Калмыков В.М., Ткачев В.И. Промышленное приготовление тампонажных смесей .....	104
41. Свиридова Л.И., Ненашков Ю.В. К методике определения нормативных сроков буровой разведки месторождений .....	105
42. Зеттерле О.В. Об одновременном определении плотности и магнитной восприимчивости минералов новым методом магнитогидростатического взвешивания .....	111
43. Жданова Т.В., Вагина А.Л., Скакова П.С. Применение рентгенорадиометрического метода и метода ИК-спектроскопии для исследования процесса сорбции серебра .....	113
44. Белобров И.П., Зарецкая Н.П., Левенберг Л.С. Некоторые результаты исследований разряда с полым катодом (РПК) при определении изотопов .....	118

45. Ахметов Б.М. Прохождение частицы минерала сквозь плазменное облако .....	124
46. Петров А.А., Чилат Б.В. Структурные изменения жидкой фазы при адсорбции гетерополярных собирателей на сульфидах, измерения методом ЯМР .....	126
47. Мандибура Л.А., Ахметов Б.М. Влияние примеси на интенсивность излучения спектральной линии анализируемого элемента ....	132
48. Эстерле О.В., Козлов О.В. Карманный люминесцентный спектрометр .....	135
49. Садиков Ш.Ш., Ким Р.Н. Определение цинка, меди и кадмия методом атомной флуоресценции .....	136
50. Ахметов Б.М. Зависимость интенсивности излучения спектральной линии от дисперсности анализируемой пробы .....	141
51. Симонова Л.К., Шарыгина И.Г. Применение в качестве флотореагентов-собирателей соединений на основе кремния .....	146
52. Побережнюк Г.И., Гайдина В.И., Каримов Б.А., Бергер Г.С., Киселев Л.М. Флотационное обогащение бедных цезиевых руд .....	150
53. Коган В.С., Киселева В.С., Лавриненко Л.И. Исследование взаимодействия поллюшита с основными окислами .....	155
54. Коган В.С. исследование взаимодействия поллюшита с основными окислами .....	161
55. Городецкий И.М. О гидравлическом расчете двойных колонковых наборов типа ДКНТ-ВП .....	167
56. Крюкова Л.Н. Условия формирования даек и их роль в локализации оруденения. (на примере Аккудукского рудного поля ) ....	169

ГЕОЛОГИЯ, ТЕХНИКА РАЗВЕДКИ И ТЕХНОЛОГИЧЕСКОЕ  
ИЗУЧЕНИЕ МИНЕРАЛЬНОГО СЫРЬЯ КАЗАХСТАНА  
(Материалы конференции молодых ученых Мингэо  
КазССР, посвященной 30-летию победы советского  
народа в Великой Отечественной войне 1941-  
1945 гг.)

Редактор

Л. Н. Шой

Техн.редактор

С. П. Геллер

---

Подписано к печати 25/XII-1975 УГ № 0016 Формат 60x84 1/16  
Печ.листов II,0. Уч.-изд.листов II,2. Тираж 500 экз. Цена 80 коп.  
Заказ № 5

---

Отпечатано на ротапринте ОНТИ КазИГСа, Алма-Ата, ул. К.Маркса, 105

Цена 80 коп.

